

14100

İSTANBUL TEKNİK ÜNİVERSİTESİ \* FEN BİLİMLERİ ENSTİTÜSÜ

GELİŞTİRİLMİŞ EBERS-MOLL MODELİNİN TRANZİSTORLU GERİLİM  
KUVVETLENDİRİCİLERİNDE MINIMUM DİSTORSİYON ŞARTINA UYGULANMASI

T. G.  
Yükseköğretim Kurulu  
Dokümantasyon Merkezi

DOKTORA TEZİ

Y. Müh. Sadri ÖZCAN

Ana Bilim Dalı: ELEKTRİK-ELEKTRONİK

Programı : ELEKTRONİK VE HABERLEŞME

HAZİRAN 1989

İSTANBUL TEKNİK ÜNİVERSİTESİ \* FEN BİLİMLERİ ENSTİTÜSÜ

GELİŞTİRİLMİŞ EBERS-MOLL MODELİNİN TRANZİSTORLU GERİLİM  
KUVVETLENDİRİCİLERİNDE MİNİMUM DISTORSİYON ŞARTINA UYGULANMASI

DOKTORA TEZİ

Y. Müh. Sadri ÖZCAN

Tezin Enstitüye Verildiği Tarih: 8 Temmuz 1988

Tezin Savunulduğu Tarih : 21 Haziran 1989

Tez Danışmanı : Prof.Dr.Ertuğrul YAZGAN

Diger Juri Üyeleri : Prof.Dr.Duran LEBLEBİÇİ  
Prof.Dr.Cevdet ACAR

HAZİRAN 1989

ÖNSÖZ

Tezimin hazırlanması sırasında çalışmalarımda tezimi yöneten ve bana yol gösteren sayın Prof.Dr.Ertuğrul YAZGAN'a, yayınlarından ve fikirlerinden yararlandığım sayın Prof.Dr.Duran LEBLEBİCİ'ye, yapıcı tenkidleri ile bana yardımcı olan sayın Doç.Dr.Hakan KUNTMAN'a, Y.Doç.Dr.M.Sait TÜRKÖZ'e, Dr.Ali TOKER'e, çalışmalarım sırasında aletlerinden ve laboratuvarından faydalandığım Elektronik Anabilim Dalı yönetici ve elemanlarına teşekkürü bir borç bilirim.

Temmuz 1988

Sadri ÖZCAN

## İÇİNDEKİLER

ÖZET .....	v
SUMMARY .....	vii
BÖLÜM 1. GİRİŞ .....	1
BÖLÜM 2. LİNEER OLMAMA DİSTORSİYONU .....	4
2.1. Harmonik Distorsiyonu .....	4
2.2. Intermodulasyon Distorsiyonu .....	8
BÖLÜM 3. TRANZİSTORLU KUVVETLENDİRİCİLERDE LİNEER OLMAMA DİSTOR- SİYONUNUN KAYNAKLARI .....	10
3.1. Kolektör-Emetör Geriliminin Değişmesi Sonucu Ortaya Çıkan Sonuç .....	10
3.2. Tranzistorun Giriş Eğrisinden İleri Gelen Distorsyon..	13
3.3. Tranzistorun Çıkış Eğrisinden İleri Gelen Lineer Olma- ma Distorsyonu .....	14
3.4. Tranzistorun Gerilim Geçiş Eğrisi .....	16
3.5. Leblebici Modifikasyonu .....	17
3.6. Tranzistorun Dinamik Geçiş Eğrisi .....	18
3.7. Giriş Eğrisi .....	23
3.8. Kaynak Gerilimi-Giriş Akımı Bağıntısı .....	29
BÖLÜM 4. DİRENÇLE YÜKLÜ ORTAK EMETÖRLÜ DEVREDE TOPLAM DİSTORSİYON	31
4.1. Kolektör Akımının İşaret Kaynağı Gerilimine Bağlı Olarak Değişimi .....	31
4.2. İkinci Harmonik Distorsyonunun Minimum Olma Şartı ....	35
4.3. Karşılaştırma .....	42
4.4. Nümerik Analiz ve Hesap Sonuçları .....	44
4.5. Akım Kazancı $\beta_F$ in $I_C$ Kolektör Akımı İle Değişimi ....	45
4.6. Baz-Emetör ( $V_{BE}$ ) Geriliminin Baz Akımı ( $I_B$ ) ye Bağlı Olarak Bulunması .....	47
4.7. Akım Kazancı $\beta_F$ in Kolektör Akımı $I_C$ İle Değişimi- nin Optimum Kaynak Direncini $R_g$ veren (4.11) Bağıntısı- nın Kapsamına Alınması .....	49

4.8. Karşılaştırma ve Sonuç .....	57
<b>BÖLÜM 5. KISA DEVRE AKIM KAZANCININ <math>\beta_F</math> BELİRLENMESİ .....</b>	<b>58</b>
5.1. Kısa Devre Akım Kazancı $\beta_F$ e Etkiyen Faktörler .....	58
5.1.1. Orta ve Küçük Akımlar Bölgesinde $I_B$ Baz Akımının Değişimi .....	59
5.2. Kolektör Akımı ile Baz Akımı Arasındaki Bağıntı .....	62
5.3. Sonuç .....	68
<b>BÖLÜM 6. DENEYSEL GERÇEKLEME .....</b>	<b>70</b>
6.1. Deneysel Sonuç ve Karşılaştırma .....	72
<b>BÖLÜM 7. KISA DEVRE AKIM KAZANCI <math>\beta_F</math> in ORTA VE BÜYÜK AKIMLARDA BELİRLENMESİ .....</b>	<b>73</b>
7.1. Orta ve Büyük Akımlar Bölgesi .....	73
7.2. $C_2$ ve $\theta$ Parametrelerinin Ölçülmesi .....	82
7.2.1. Doğrudan Ölçme Yöntemi .....	82
7.2.2. Doğrudan Olmayan Ölçme Yöntemi .....	83
7.3. Ölçü Sonucu ve Karşılaştırma .....	84
<b>BÖLÜM 8. OPTİMUM KAYNAK DİRENCİNİ VEREN BAĞINTILARIN KISALTILMASI</b> .....	<b>87</b>
8.1. (4.11) Bağıntısının Kisaltılması ve Yaklaşık Bağıntının Çıkarılması .....	87
8.2. $h_{oe}$ Parametresinin $I_C$ Kolektör Akımı ile Değişimi .....	93
8.3. (5.13) Bağıntısının Kisaltılması ve Yaklaşık Bağıntının Çıkarılması .....	94
8.4. (7.13) Bağıntısının Kisaltılması ve Yaklaşık Bağıntının Çıkarılması .....	98
<b>SONUÇLAR VE ÖNERİLER .....</b>	<b>102</b>
<b>KAYNAKLAR .....</b>	<b>104</b>
<b>EKLER</b>	
EK A : Bölüm 6 da yapılan deneyden elde edilen verilerle çizilen Eğriler .....	106
EK B : (4.11) Bağıntısına İlişkin Bilgisayar Programı .....	107
EK C : (5.13) Bağıntısına İlişkin Bilgisayar Programı .....	108
EK D : (7.13) Bağıntısına İlişkin Bilgisayar Programı .....	109
EK E : Bu tezde kullanılan serilerin yakınsaklık şartları .....	110
<b>ÖZGEÇMİŞ .....</b>	<b>130</b>

## NOTASYON LİSTESİ

- $Q$  : Çalışma noktası  
 $G$  : Sabit bir katsayı  
 $i_c$  : Kolektör akımının değişken bileşeni  
 $I_{CQ}$  : Çalışma noktasında kolektör akımı (doğru akım)  
 $I_{BQ}$  : Çalışma noktasında baz akımı (doğru akım)  
 $i_b$  : Baz akımının değişken bileşeni  
 $I_{EQ}$  : Çalışma noktasında emetör akımı (doğru akım)  
 $i_e$  : Emetör akımının değişken bileşeni  
 $G_i$  : ( $i=1\dots n$ ) sabit katsayılar  
 $B_i$  : ( $i=0\dots n$ ) sabit katsayılar  
 $V_2$  : Tranzistorlu bir kuvvetlendiricide çıkış gerilimi  
 $V_1$  : Tranzistorlu bir kuvvetlendiricide giriş gerilimi  
 $v_1$  : Giriş geriliminin değişken bileşeni  
 $i_C$  : Kolektör akımının toplam anı değeri  
 $i_B$  : Baz akımının toplam anı değeri  
 $v_{ml}$  : Giriş işaret genliği  
 $a_i$  : ( $i=1\dots n$ ) kuvvet serisi katsayıları  
 $A_i$  : ( $i=1\dots n$ )  $a_i$  lerle  $V_{ml}$  lerin çarpım ve toplamları sonucu oluşan katsayılar  
 $d_i$  : ( $i=2\dots n$ ) distorsyon katsayıları  
 $I_S$  : Tranzistorun doyma akımı  
 $I_{So}$  :  $V_{CB}=0$  şartı altında tranzistorun doyma akımı  
 $\beta_F$  : Kısa devre akım kazancı  
 $\beta_{Fo}$  :  $V_{CB}=0$  şartı altında tranzistorun kısa devre akım kazancı  
 $M$  : Early olayını temsil eden ve Early gerilimi ile orantılı yeni model parametresi  
 $N$  : Early olayını temsil eden ve elemanın fizигine ilişkin yeni model parametresi  
 $V_{BE}$  : Baz-Emetör gerilimi  
 $V_{CE}$  : Kolektör-Emetör gerilimi  
 $V_T$  : Isıl gerilim ( $V_T = kT/q$ )  
 $\beta_R$  : Tranzistorun geriye doğru kısa devre akım kazancı

- $V_m$  : Değişken işaretin genliği  
 $V_{BEQ}$  : Çalışma noktasında baz-emetör gerilimi  
 $V_{CEQ}$  : Çalışma noktasındaki kolektör-emetör gerilimi (doğru bileşen)  
 $v_{ce}$  : Kolektör-emetör geriliminin değişken bileşeni  
 $v_{be}$  : Baz-emetör geriliminin değişken bileşeni  
 $r_{bb}$  : Baz gövdesi direnci  
 $\alpha_i$  : ( $i=1\dots n$ ) Çalışma noktasında giriş eğrisine ilişkin serinin katsayıları  
 $R_g$  : Sürücü kaynağın iç direnci  
 $v_g$  : Sürücü kaynak gerilimi  
 $R_C$  : Kolektör direnci  
 $R_E$  : Emetör direnci  
 $b_i$  : ( $i=1\dots n$ )  $i_C = f(i_B)$  kuvvet serisinin katsayıları  
 $k_i$  : ( $i=1\dots n$ )  $i_B = f(i_C)$  kuvvet serisinin katsayıları  
 $c_i$  : ( $i=1\dots n$ )  $i_C = f(v_G)$  kuvvet serisinin katsayıları  
 $V_{gm}$  : Sürücü kaynak geriliminin maksimum değeri  
 $n_{EL}$  : Küçük akımlar bölgесine ilişkin ileri yönde emisyon katsayısı  
 $C_2$  : "Sah-Noyce-Schokley" sabiti  
 $\alpha'_i$  : ( $i=1\dots n$ )  $n_{EL}$  sabiti  $v_{be} = f(i_b)$  serisinin katsayıları  
 $V_{CB}$  : Kolektör-baz doğru gerilimi  
 $\lambda_i$  : ( $i=1\dots n$ )  $n_{EL}$  sabitli  $i_b = f(v_{be})$  serisinin katsayıları  
 $R_{g(opt)}$  : Sürücü kaynak direncinin optimum değeri  
 $\beta_F$  d.a. : Kısa devre doğru akım kazancı  
 $k_{ii}$  : ( $i=1\dots n$ )  $i_b = f(i_c)$  serisine ilişkin  $C_2$  parametreli katsayılar  
 $b_{ii}$  : ( $i=1\dots n$ )  $i_c = f(i_b)$  serisine ilişkin  $C_2$  parametreli katsayılar  
 $\theta$  : Büyük akımlar bölgесine ilişkin katsayı  
 $\beta_{F\theta}$  :  $\theta$  parametreli kısa devre doğru akım kazancı  
 $V_{BE}'$  :  $V_{BE}$  de yapılan bir düzeltmeden sonra elde edilen baz emetör gerilimi  
 $\beta_{FMAX}$  : Kısa devre doğru akım kazancının en büyük değeri  
 $\beta_{FLOW}$  : Kısa devre doğru akım kazancının düşük bir değeri  
 $I_{CMAX}$  : Kolektör akımının  $\beta_{FMAX}$  a ilişkin değeri  
 $I_{CMIN}$  : Kolektör akımının  $\beta_{FLOW}$  a ilişkin değeri  
 $BCEC$  :  $1/n_{EL}$  veya  $\ln \beta_F - \ln I_c$  eğrisinin eğiminin 1 den çıkartıldıktan sonra elde edilen değer  
 $w$  : Baz genişliği  
 $w$  : Geçiş bölgesi genişliği

- $\psi_0$  : Jonksiyonda  $V_{CB} = 0$  ikenki potansiyel seddi yüksekliği  
 $m$  : Bir orantı büyülüklüğü  
 $V_A$  : Early gerilimi  
 $h_{oe}$  : Tranzistorun çıkış öziletkenliği ( $N=1$ )  
 $h'_{oe}$  : Tranzistorun çıkış öziletkenliği ( $N=0.3-0.6$ )  
 $h_{oo}$  :  $I_C$  kolektör akımının küçük değerlerinde çıkış öziletkenliğinin asimtotik değeri  
 $g_{oo}$  : Önceki çalışmada [4] tranzistorun çıkış öziletkenliği için kullanılan notasyon  
 $R_{CB}$  : Kolektör ile baz arasındaki kaçak direnç

## ÖZET

Bu çalışmada dirençle yüklü tranzistorlu kuvvetlendiricilerde oluşan harmonik distorsyonunun azaltılması için yapılan çalışmaların yetersiz kalan yanları araştırılmış, tek katlı kuvvetlendiricilerde baskın bileşen olan ikinci harmonik distorsyonunun minimum yapılmasıını sağlayan optimum  $R_g$  sürücü kaynak direncini hesaplamak üzere, akım kazancının akıma bağımlılığı da gözönüne alınarak ve Early olayının fiziksel olarak modellenmesinden hareket edilerek farklı çalışma bölgeleri için yeni analitik bağıntılar çıkartılmıştır.

İlk olarak lineer olmama distorsyonunun tanımı yapılmış ve tranzistorun giriş ve çıkış karakteristiklerinin lineer olmamasının sebepleri incelenmiştir. Önce Leblebici modifikasyonundan yararlanılarak çıkartılan kolektör akımı ile baz akımı arasındaki bağıntı kullanılmış daha sonra da kaynak gerilimi ile giriş akımı arasındaki bağıntı elde edilmiştir.

Ortak emetörlü devrede toplam distorsyon anlatılarak, kolektör akımının işaret kaynağının gerilimine bağlı olarak değişimini veren bağıntı, geliştirilmiş Ebers-Moll modelinde Early olayını temsil eden M ve N fiziksel parametreleri cinsinden elde edilmiştir. Bu bağıntıdan yararlanılarak ikinci harmonik distorsyonunun minimum olma şartı yine aynı fiziksel parametreler cinsinden elde edilmiştir.

Akım kazancı  $\beta_F$  in kolektör akımına bağımlılığının, çıkartılan bağıntıya ne şekilde katılabilceği araştırılmış ve bu özelliğin bağıntı kapsamına alınmasının, EM3 modelinde aynı olayları temsil eden parametrelerin burada da kullanılmasıyla mümkün olabileceği ortaya konulmuştur. Değişim, önce burada belirgin olduğundan orta ve küçük akımlar bölgesinde incelenmiş, bu bölge için farklı model parametresinin kullanıldığı bir bağıntı çıkartılmış ve önerilmiştir. Orta ve küçük akımlar bölgesi için tanımlanan  $C_2$ , Sah-Noyce-Schokley katsayısının elemanın davranışını belirlemek açısından önem taşıdığı gösterilmiş ve bu bölgede kolektör akımı ile baz akımı arasındaki bağıntı tam olarak verilerek, ikinci harmonik distorsyonunun minimum olma şartını veren bağıntı geliştirilmiştir.

Tranzistorlu devreye ilişkin deneysel gerçekleme yapılmış, deneysel sonuçlarla daha önce elde edilen nümerik analiz sonuçları ile teorik sonuçlar birbirleriyle karşılaştırılarak sonuçların uygunluğu incelenmiştir. Büyük akımlarda etkili olan Webster olayının etkisini dikkate almak üzere EM3 modelinin  $\theta$  parametresinden yararlanılmış, çıkarılan analitik ifade kapsamına alınabilmesi amacıyla baz akımı ile kolektör akımı arasındaki bağıntı yeniden düzenlenmiştir.

## SUMMARY

### APPLICATION OF MODIFIED EBERS-MOLL MODEL TO DISTORTION MINIMIZATION IN BIPOLAR TRANSISTOR AMPLIFIERS

The exact treatment of nonlinear harmonic distortion for obtaining analytical expression presents mathematical difficulties. One of the approximate methods for characterization of the nonlinear distortion in low frequency amplifier is to use the Taylor's series expansion of the d.c. transfer characteristic. The others are:

- a. Numerical analysis by introducing nonlinear elements in the equivalent circuit of the active devices,
- b. By using approximate expressions in the system d.c. characterization.

In this dissertation, nonlinear harmonic distortion in low frequency common emitter amplifier has been studied and exact analytical expressions have been obtained between source resistance and second harmonic distortion.

A good agreement was observed between the results of the derived formulas with the results of both full numerical computation and experimental measurements.

As it is well-known that nonlinear distortion is a fundamental parameter in electronic system design, because it limits the accuracy of signal processing. This statement particularly applies to active filters, oscillators and amplifier design.

A single-stage amplifier is a fundamental element in both integrated system design and in multi-stage amplifiers. A transistor is a nonlinear three-terminal electronic device which is used in amplifier design. Because it is a nonlinear device harmonics of the excitation signal appear in the output. In the first publications on the subject by Strutt [1] and Meyer [2], it is pointed out to the important fact that the second harmonic distortion becomes zero for a certain value of the signal source resistance.

Subsequent work has confirmed the above result and some analytical expressions of the said distortion have been obtained. However, because of their complexity they have not found a wide-use. On the other hand experimental results show the important role of second

harmonic distortion for single-stage audio amplifier.

Another means of reducing nonlinear distortion is the application of negative feedback. Various studies on such circuits have been made by Hönicke [5] and in 1968 Lötsch [6] summarized the up-to-date results.

It is possible to reduce the total harmonic distortion at the output of amplifiers by applying negative feed back. However the usable amount of feed back is limited by stability problems, so that the reduction of total harmonic distortion is also limited. Therefore it proves more practical to first design a stage with the lowest possible harmonic distortion and then reduce it further by the application of negative feed back.

In 1975 Leblebici [4] has derived a method for the reduction of the second harmonic distortion which is the biggest term in the total harmonic distortion and established that it is theoretically possible to reduce second harmonic to zero. In the above work it has been assumed that the output curves of a transistor for constant base current have a fixed slope. Since this is not perfectly true the expression derived with this assumption are only approximate and therefore must be improved upon. On the other hand the expressions used for the output conductance was also approximate and contributed to some of the errors in the final result.

Following the above explanations and after reminding some definitions, the mathematical condition for annulation of the second harmonic has been investigated. It has been also shown that the signal source resistance, satisfying the above condition can be precisely calculated for any type of transistor, using its equivalent circuit parameters as derived from its relevant physical parameters.

A new transistor model had to be used for the derivation of the new expressions. With the present nonlinear transistor models in which the last portion of the constant base-current curves are assumed to be linear, a sufficient agreement between the experimental and theoretical results can not be achieved. To obtain this agreement a new modified Ebers-Moll model, as proposed by Leblebici [8] has been used after a brief description of the same which takes into account the Early effect in a more adequate fashion as compared to the previous model [4]. To improve the optimization of the signal source resistance, its expression had to be rearranged to take account not only of collector current ( $I_C$ ) and collector-emitter voltage ( $V_{CE}$ ), but also of the EM3 model parameters such as  $C_2$ ,  $n_{EL}$ ,  $\theta$  and the leakage resistance  $R_{CB}$  of the collector base junction [19], [21].

In section-2 the source of nonlinearity in any bipolar transistor has been explained. It was pointed out that if  $i_C$  vs  $i_B$  is not linear, the relation between  $i_C$  and  $i_B$  can be expressed by power series as shown by eq.(2.2). If the excitation signal consists of one frequency and some mathematical transformations are made, the eq.(2.3) is obtained in which the harmonics can be seen in addition to fundamental and d.c. components. This type of distortion is called "harmonic distortion or amplitude distortion". If the signal consists of two

or more frequencies, besides the terms having frequencies which are multiples of the signal frequencies, other terms also having the sums and differences of the signal frequencies. This type of distortion is called "intermodulation distortion". Also given in this section, with eq.(2.7) is the definition of the second harmonic distortion, in terms of power coefficients.

In section-3 the input and output characteristics of a transistor which is used as an electronic device has been shown to be nonlinear and reasons have been explained. By means of these characteristics the transfer characteristic of a transistor has been obtained and it was shown that both the static and dynamic transfer characteristics are nonlinear. One of the reasons for this is the Early effect which has been well defined in Modified Ebers-Moll model [8]. For many applications this model represents the bipolar transistor accurately, especially for distortion analysis, where nonlinearity of the transistor characteristics are very important.

Instead of the geometrical representation with the Early voltage  $V_A$  by Lindholm and Hamilton [23], Leblebici described the Early effect in a different way where the following assumptions are made :

- a. Emitter efficiency is very high
- b.  $\beta_F \gg 1$
- c. The width of the emitter-base space charge layer can be neglected compared with the width of the base region.
- d. The inverse Early effect can be neglected in the forward active operation region.

Leblebici has defined two new model parameters, called respectively M and N, for a more accurate representation of the Early effect [8] , [12] .

Ebers-Moll expressions are given by the eqs.(3.1) and (3.2), with some approximations these expressions can be simplified as given in expressions (3.3) and (3.4). Both are functions of the collector-emitter voltage  $V_{CE}$ . Using the  $V_{CE}$  voltage swing about the quiescent point and the power series expansion, it can be seen that all harmonics occurs.

Since  $I_B$  is an exponential function of  $V_{BE}$  the input characteristic is also nonlinear. The eq.(3.7) which expresses the transfer characteristic of a transistor in terms of the modified Ebers-Moll model parameters, is derived from the eqs.(3.3) and (3.4). The voltage transfer curve can also be obtained by means of the other characteristics of a transistor and this transfer curve is also nonlinear as shown in fig.3.5. Eq.(3.11) shows that the dynamic current transfer characteristic is obtained only in terms of Modified Ebers-Moll parameters M and N. This is a very important expression, because its Taylor's series expansion enables calculation of all the coefficients in terms of the M,N parameters and the quiescent point coordinates.

The relation between excitation signal voltage and input current is given by eq.(3.26). If the inverse power series is used, input current v.s excitation voltage can be obtained as given in eq.(2.27). Both these expressions include the source resistance  $R_g$ .

In section-4, the total harmonic distortion in a resistance loaded single-stage amplifier has been taken up. If the plots of base current  $i_b$  v.s excitation voltage  $v_g$  and collector current  $i_c$  v.s base current  $i_b$  are given, the relation between collector current  $i_c$  and excitation voltage  $v_g$  can be given by eq.(4.1). The coefficients of  $c_i$ 's in the eq.(4.1) can be obtained in terms of the coefficients of  $b_i$ 's and  $a_i$ 's in the eqs.(3.16) and (3.28) respectively. The second harmonic distortion which is given by eq.(4.3) can be simplified as eq.(4.4) using an adequate approximation. In this section it has been explained that the second harmonic distortion plays a great role in the total harmonic distortion of a single-stage amplifier. This can be easily seen, comparing  $d_2$  with other terms in both the numerical and experimental results.

The expression (4.11) which gives the optimum source resistance  $R_{g(opt)}$  in terms of Modified Ebers-Moll parameters and quiescent operating point, can be obtained by using eqs.(4.6), (4.7), (4.8), (4.9) and (4.10). All the parameters which are required for the expression (4.11) can be measured. It has been proved that M and N parameters are easily calculated [8]. The method of measurements for the  $\beta_F^{FO}$  and  $I_B^{SO}$  are also known [19]. As an example, for the transistor M139T the measurement values are  $\beta_F = 206$ ,  $M = 0.03$ ,  $I_B^{FO} = 0.172 \text{ E-13}$  and  $N = 0.464$ . The base current  $I_B^{FO}$  can be found from eq.(4.14) but it will be more convenient to use the expression (4.16) because it's calculation is based on collector-emitter voltage  $V_{CE}$  at the quiescent point. Compared to eq.(4.14), eq.(4.16) gives the current gain  $\beta_F$  with a greater precision because the latter includes M and N parameters as well as C-E voltage  $V_{CE}$  at the operating point.

The expression (4.11) is very important because it gives the optimum source resistance  $R_{g(opt)}$  in terms of Modified Ebers-Moll parameters M,N and of the quiescent point. When this expression is compared with the expression found in the previous study [4] the following differences are seen:

1. The previous study is unsufficient because of two reasons. Firstly, the Early Effect has been accounted for after an inexact geometric representation. Secondly, the last portion of the constant base-current curves has been taken as a straight line. In fact, these portions are curved.

2. In the same study [4], the current gain  $\beta_F$  is found by using the plot  $\beta_F$  v.s  $I_C$ . This method causes some error. If the current gain  $\beta_F$  for  $V_{CB} = 0$ , which is easily measured, is known [19], the current gain  $\beta_F$  at any quiescent point can be calculated precisely in terms of Modified Ebers-Moll parameters M,N and of the collector-emitter voltage by using eq.(3.17). So, the optimum source resistance at various quiescent points can be calculated easily.

3. Eq.(3.7) shows the relation between collector and base currents [8]. Since the parameters M and N belong to Modified Ebers-Moll model used in the expression (4.11), the optimum source resistance at the desired quiescent point can be found more exactly than with the previous expression.

4. In the previous study the current gain  $\beta_F$  must be determined at two points. This causes errors because these values must be obtained by the plot of  $\beta_F$  v.s  $I_C$ . The output conductance  $g_{oo}$  which is found in this way is therefore relatively incorrect.

5. By means of the expression (4.11) the optimum source resistance  $R_g(\text{opt})$  can be easily calculated for the various currents at the desired quiescent point. Furthermore it is convenient for computer calculation, which is not the case with the previous study [4].

6. As it is shown in Fig. 4.4. and Fig. 4.5 the collector-emitter voltage plays an important role in the amount of second harmonic distortion.

Numerical analysis was carried out using TIME1 and HALSEN programs which have been prepared for the purpose of distortion analysis [13], [14], [25]. At any quiescent point, for example at  $V_{CEO} = 12.5$  V and for various quiescent currents the obtained numeric results are given at Table-4.1 and theoretic results using eq.(4.11), in Table-4.2. When both tables are examined, some differences are noticed between optimum source resistance  $R_g(\text{opt})$  values found for given currents: The values found in Table-4.1 are higher than those of Table-4.2 for decreasing collector current values. For high level currents there is no considerable difference between numeric and theoretical results. But in low-level currents the differences are getting more important.

In section-5 the causes of these differences are investigated. These differences between the numeric and theoretical results stems from very low values of current gain  $\beta_F$  for low-currents. Although the base current has been calculated from expression (3.7), this cannot represent  $\beta_F$  in all current ranges. In other words, expression (3.7) does not represent accurately enough the relation between collector current  $I_C$  and base current  $I_B$ . Generally there are three regions of interest in the variation of  $\beta_F$  with current. A typical variation of  $\beta_F$  with  $I_C$  is shown in Fig. 4.6. Region I is the low-current region in which  $\beta_F$  increases with  $I_C$ . Region II is the mid-current region in which  $\beta_F$  is constant ( $\beta_{FM}$ ). Region III is the high-current region in which  $\beta_F$  drops as the current is increased [19]. The decreases observed in regions I and in the two portions of region III have different causes and are termed "Sah-Noyce-Schokley effect", "Webster effect" and Kirk effect" respectively [15], [16], [17], [18], [24].

Audio amplifiers are generally designed for low-and mid-currents; therefore region I and region II are examined first. In the next sections region III is taken into consideration. For the base current eq.(4.18) can be written as eq.(4.19) which involves both regions I and II while eq.(3.20) is given only for region I. This expression involves two more parameters  $n_{EL}$  and  $C_2$  which belong to EM3, where  $n_{EL}$  is called "the low-current, forward region emission coefficient" and its typical value is 2 and  $C_2$  is called "Sah-Noyce-Schokley coefficient".

Since at the quiescent point  $V_{BE}$  and  $I_C$  is known base-emitter voltage  $V_{BE}$  can be determined by eq.(4.24). Now if the Taylor's series expansion is applied to the eq.(4.25) the power series expr.(4.31) is obtained which relates  $i_b$  to the excitation source signal  $v_g$ . And if similar mathematical operations are made the optimum resistance  $R_g^{(opt)}$  is obtained by eq.(4.38) in terms of the new parameters  $n_{EL}$  and  $C_2$ .

$C_2$  was measured with parameter analyser (HP 4145) and its value was obtained as 180 for the transistor M139T. Using the expr.(4.38) the obtained results are given in Table-4.3 and when compared with the Table-4.2, it is seen that the expr.(4.3) is more exact than the expr.(4.11), but it is not yet sufficient because there still are considerable differences. To find the reason of the differences the current gain  $\beta_F$  has to be considered once again.

The drop in  $\beta_F$  at low-currents(region I) is caused by extra components of  $I_B$  which had been ignored before. For the normal, active region with  $V_{CB} = 0$  there are three extra components which are caused by

- a) the recombination of carriers at the surface,
- b) the recombination of carriers in the emitter-base space-charge layer,
- c) the formation of emitter-base surface channels.

So, dividing eq(5.1) by eq.(5.5), eq.(5.7) will be obtained which gives the exact relation between  $I_C$  and  $I_B$ , in the region I and II. Taylor's series expansion is used for the eq.(5.7) to obtain the coefficients in terms of  $n_{EL}$  and  $C_2$ . If the value of  $b_1/b_2$  given by eq.(5.12) is substitute in expr.(4.37), expr.(5.13) is obtained which enables calculations of the  $R_g^{(opt)}$  value precisely in the region I and II.

After obtaining the analytical expressions, in section-6 experiments were made with the transistor M139T. The circuit diagram is shown in fig.6.1 and the actual set-up in fig.6.2. The results of this experiment are given in the Table-4.5 which gives the experimental results, a good agreement is observed except for one point. In high-current (region III) there is difference between experiment and theoretic results. This stems from the Webster and Kirk effects [17], [24]. So, it is necessary to find a new analytical expression for the regions II and III.

In section-7, it is shown that at high-currents  $I_C$  must be represented with the expr.(7.2) [17].  $\theta$  is the new model parameter of EM3 which is called "High-current coefficient". So, the exact relation between  $I_C$  and  $I_B$  can be obtained with the expr.(7.8). When Taylor's series expansion is used for eq(7.8) about the quiescent point, the relation is obtained between  $i_c$  ve  $i_b$  by eq.(7.12). From the expr.(7.12) the ratio  $b_1/b_2$  can be obtained in terms of  $M, N$  and  $\theta$  parameters and if this ratio is substituted in expr.(4.9), expr.(7.13) will be obtained, giving exactly the optimum source resistance  $R_g^{(opt)}$  for high-currents (region-III). The parameters  $C_2$  and  $\theta$  can be easily measured, with parameter analyser HP 4145, using direct or indirect methods [19]. Comparing the results obtained from expr.(7.13) and

from the experience, a good agreement is observed. In fig-7.4 all results have been plotted.

In last section it has been shown that all expressions can be simplified and that some approximations can be made for most practical cases without introducing appreciable errors.

As a conclusion, new expressions have been developed for a closer calculation of the optimum source resistance which minimizes total harmonic distortion of a single-stage common emitter amplifier where the transistor may be used in the low-mid-and high current ranges.

With a similar approach equivalent formulas can be developed for use with emitter-coupled amplifier stage.

## BÖLÜM 1. GİRİŞ

Lineer olmama (nonlinear) distorsiyonu elektronik devrelerin tasarımında işaret akışının doğruluğu yönünden etkili olan önemli temel parametrelerden biridir.

Lineer olmama distorsyonunun analitik olarak ifade edilmesinde matematiksel güçlüklerle karşılaşılır. Buna karşılık bu amaca uygun çeşitli yaklaşım yöntemleri kullanılabilir. Bunlar,

- a) Aktif elemanın eşdeğer devresinde lineer olmayan elemanların tanımlanması suretiyle nümerik analiz yöntemi,
- b) Doğru akım karakterizasyonu yapılrken yaklaşık bağıntılar dan yararlanma,
- c) Doğru akım transfer fonksiyonunun Taylor serisine açılım yöntemleridir.

Bilindiği gibi, gerek tümdevrelerin gerekse çok katlı kuvvetlendiricilerin tasarılanmasında tek katlı kuvvetlendiriciler kullanılır. O halde lineer olmama distorsiyonu sözkonusu olduğu zaman, incelemeye tek katlı kuvvetlendiricilerden başlamak gereklidir.

Tranzistorlu kuvvetlendiricilerde kullanılan düzenin lineer olmamasından dolayı meydana gelen lineer olmama distorsyonunun azaltılması konusunda çeşitli çalışmalar yapılmış bulunmaktadır. Bu çalışmalarla ilişkin ilk yayınlar 1957 yılında Spescha ve Strutt [1] ile Meyer [2] tarafından yapılmıştır. Bu yayınlar incelendiğinde, çalışmalar kulanılan yolların ayrı olduğu fakat elde edilen sonuçların aynı olduğu görülür. Bu önemli sonuç, sürücü kaynağın iç direncinin belirli bir değeri için kuvvetlendiricinin çıkışından elde edilen işaretteki ikinci harmonik distorsyonunun sıfır olmasıdır.

Daha sonraki yıllarda yapılan çalışmalar da [3] bu önemli sonuç doğrulanmış ancak elde edilen bağıntılarla yapılan hesaplara fazla sayıda parametrenin girmesi ve bunların belirlenmelerinde

güçlüklerle karşılaşmasından dolayı bu sonucun üzerinde pek fazla durulmamıştır. Diğer taraftan dirençle yüklü tranzistorlu gerilm kuvvetlendiricileri üzerinde yapılan distorsiyon ölçmeleri genellikle en büyük harmonik distorsiyonu bileşeninin ikinci harmonik distorsiyonu olduğunu göstermektedir.

Tranzistorlu kuvvetlendiricilerde lineer olmama distorsiyonunu azaltmanın diğer bir yolu da negatif geribeslenmeden yararlanmaktır. Geribeslemenin harmonik distorsiyonu üzerindeki etkisi Hönische [5] tarafından çeşitli devreler için incelenmiştir. Bunun dışında Lötsch [6] tarafından 1968 de yapılan yayında, o tarihe kadar elde edilen sonuçlar derlemiştir.

Geribesleme arttırılarak bir kuvvetlendiricinin çıkışında görülen distorsyonu azaltmak mümkündür. Ancak geribesleme oranının fazlaca artırılması halinde kuvvetlendiricinin frekans karakteristiğinde istenmeyen değişikliklerin ortaya çıkması, hatta bir kararsızlık problemi ile karşılaşılması sözkonusu olabileceğiinden, uygulanacak geribesleme oranının belirli bir değerinin üstüne çıkarılamamasına bir başka deyişle distorsyonun geribesleme yolu ile istenildiği kadar azaltılamamasına sebep olur. Bu durumda izlenecek en akılç yol şudur: Devreyi tasarlarken geribesleme uygulanmadan önce distorsyonunun mümkün olduğu kadar küçük olmasını sağlayacak tarzda gerçekleştirmek, sonra geribeslemeyi uygulayarak distorsyonu daha da azaltmaktadır.

İkinci harmonığın en baskın bileşen olduğu düşünülerek 1975 de Leblebici tarafından, lineer olmama distorsyonunun optimizasyonu için yapılan çalışmada [4], ikinci harmonik distorsyonunu "teorik olarak" sıfır yapan kaynak direnci şartının kullanılması toplam harmonik distorsyonunun önemli ölçüde azalmasına yol açacağı gösterilmiştir. Ancak bu şartı sağlayan bağıntı çıkarılırken çıkış eğrisinde sabit baz akımı doğrularının, belli eğimli düz doğrular şeklinde değiştiği kabul edilmiştir. Halbuki bu doğruların eğrisel oldukları hesaba katılmadığından çıkarılan bağıntının yetersiz kaldığı görülmüştür. Yine aynı bağıntı çıkarılırken çıkış iletkenliği iki terim halinde hesaplandığından, bu bağıntı kullanılarak bulunan değerler presizyonlu değildir.

Bu anlatılanların doğrultusunda hazırlanmış olan bu tezde linear olmama distorsiyonu hakkında kısaca gerekli tanımlar hatırlatıldıktan sonra ilk olarak ikinci harmonik distorsiyonu katsayısını sıfır yapan devre şartları tekrar incelenmiş ve herhangibir tranzistor tipi için ortak emetörlü devrede  $d_2$ 'yi sıfır yapan sürücü kaynak direnç değerinin, tranzistorun verilmiş olan veya ölçü yoluyla bulunan fiziksel parametreleri kullanılarak, çıkartılan bağıntılarla presizyonlu olarak hesaplanabileceği gösterilmiştir. Böyle bağıntıların elde edilmesi için yapılan çalışmada, Early olayını temsil etmek üzere, çıkış özeğrilerini sabit eğimli doğrular biçiminde kabul eden geometrik yaklaşımın yerine, eleman fiziğinden hareketle çıkartılmış olan ve daha gerçekçi sonuç veren Geliştirilmiş Ebers-Moll Modelinden yararlanılmış [8] , bu modelin Early Olayını modelleyen M ve N parametrelerinin kullanılmasıyla sürücü kaynak direncinin optimum değeri için daha doğru sonuç veren bağıntıların elde edilebileceği gösterilmiştir.

Optimum kaynak direncinin hesaplanması, bu büyülüğün kısa devre akım kazancı  $\beta_F$  nin kolektör akımı ile değişiminden ortaya çıkarılarak sözkonusu özelligin bağıntıda yer alması sağlanmıştır. Akım kazancı  $\beta_F$  nin kolektör akımına bağımlılığı  $\beta_F$  nin kolektör akımıyla artma gösterdiği küçük akımlar bölgesi (Sah-Noyce-Schokley) ve azalma gösterdiği büyük akımlar bölgesi için ayrı ayrı incelenmiş, bu bölgelerdeki olayları temsil etmek üzere tanımlanan BJT model parametrelerinden yararlanılarak, sözkonusu değişimin etkisi çıkartılan bağıntı kapsamına alınmıştır.

Geribeslemenin distorsyon açısından devre özellikleri üzerindeki etkisi Leblebici [4] tarafından detaylı olarak incelendiğinden burada sadece sonuçlarına değinmeye yarar vardır. Dirençle yüklü ortak emetörlü bir kuvvetlendiricide devreye geribesleme tipine bağlı olmaksızın, tranzistorun giriş jonksiyonuna seri gelen toplam direncin belirli bir değeri için ikinci harmonik distorsiyonu sıfır olur. Daha açık olarak ifade edilirse, geribeslemesiz devre için bulunmuş olan en uygun sürücü kaynak direnç değeri, devreye geribesleme uygunması halinde de aşağı yukarı aynı kalmaktadır.

## BÖLÜM 2. LINEER OLMAMA DİSTORSİYONU

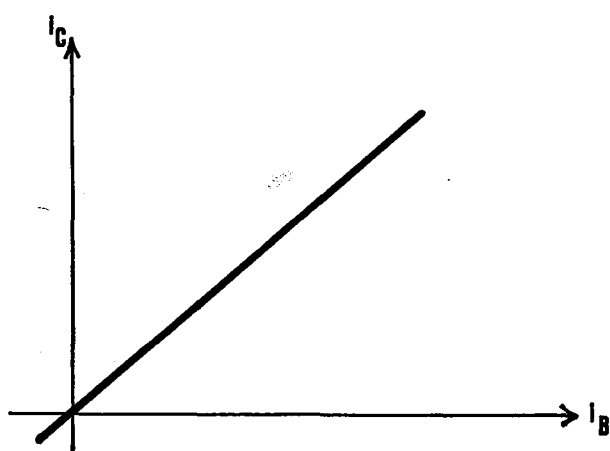
Bir kuvvetlendiricide çıkış büyülüğünün genliğinin giriş büyülüğünün genliğine bağlı olarak değişimini gösteren eğrinin (geçiş eğrisi veya transfer fonksiyonu) doğrusal (lineer) olmaması ile meydana gelen distorsiyona "lineer olmama distorsiyonu" veya "genlik distorsiyonu" denir. Distorsyonun tanımını yaptıktan sonra çıkan sonuçlar aşağıda anlatılmıştır.

### 2.1. Harmonik distorsiyonu

Geçiş eğrisinin lineer olması halinde, giriş ve çıkış akımları arasında

$$i_c = G i_b \quad (2.1)$$

bağıntısı geçerlidir. Burada  $i_c$  çıkış akımı,  $i_b$  giriş akımı,  $G$  bir sabittir. Eğrisi genel olarak Şekil-2.1 deki gibi gösterilebilir.

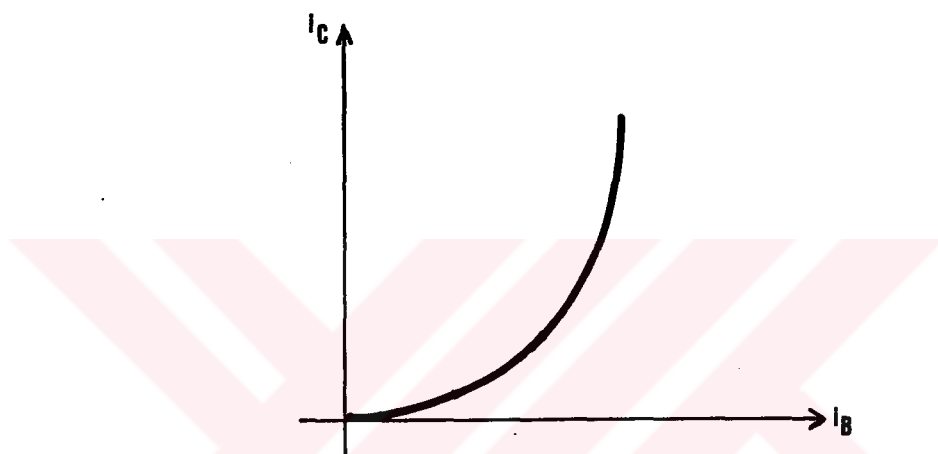


Şekil-2.1 Çıkış akımının giriş akımına bağlı değişimi

Geçiş eğrisi lineer değilse, o zaman (2.1) bağıntısını, G'ler yine bir sabit olmak üzere birer kuvvet serisi ile ifade etmek gerekecektir.

$$i_c = G_1 i_b + G_2 i_b^2 + G_3 i_b^3 + \dots \quad (2.2a)$$

Geçiş eğrisi Şekil-2.2 deki gibi lineer olmayan bir eğridir.



Şekil-2.2 Çıkış akımının giriş akımına bağlı değişimi

Giriş işaretinin dalga şekli  $i_b = I_{bm} \cos \omega t$  ise çeşitli geometrik dönüşümler yapılırsa,

$$i_c = G_1 I_{bm} \cos \omega t + G_2 I_{bm}^2 \cos^2 \omega t + G_3 I_{bm}^3 \cos^3 \omega t + \dots$$

$$\sin^2 \omega t = \frac{1}{2} (1 - \cos 2\omega t)$$

$$\sin^3 \omega t = \frac{1}{4} (3 \sin \omega t - \sin 3\omega t)$$

$$\sin^4 \omega t = \frac{1}{8} (\cos 4\omega t - 4 \cos 2\omega t + 3) \quad (2.2b)$$

$$\cos^2 \omega t = \frac{1}{2} (1 + \cos \omega t)$$

$$\cos^3 \omega t = \frac{1}{4} (3 \cos \omega t + \cos 3\omega t)$$

$$\cos^4 \omega t = \frac{1}{8} (\cos 4\omega t + 4 \cos 2\omega t + 3)$$

$$\cos^5 \omega t = \frac{1}{8} \left( \frac{5}{2} \cos 3\omega t + \frac{1}{2} \cos \omega t + 5 \cos \omega t \right)$$

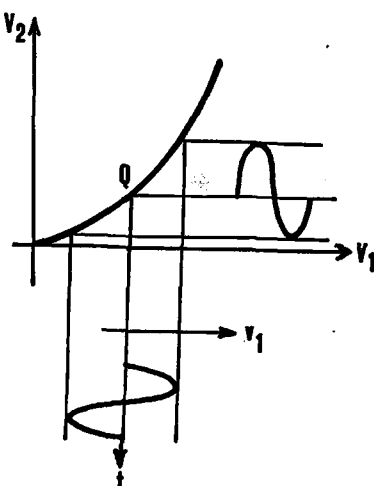
$$2 \sin nx \sin mx = \cos(n-m)x - \cos(n+m)x$$

$$2 \cos nx \cos mx = \cos(n-m)x + \cos(n+m)x$$

$$i_C = I_{CQ} + i_c = I_{CQ} + B_0 + B_1 \cos \omega t + B_2 \cos 2\omega t + B_3 \cos 3\omega t + \dots \quad (2.3)$$

elde edilir. Burada  $(I_{CQ} + B_0)$  terimi akımın toplam doğru akım bileşenini vermektedir.  $B_i$  ler ise ( $i=0 \dots n$ )  $G_i$  ( $i=1 \dots n$ ) sabit katsayıları ile dönüşüm sonucu ortaya çıkan katsayılarından elde edilir.

Göründüğü gibi çıkış işaretinde, giriş işaretti ile aynı biçimde olan  $\omega$  frekanslı bir ana bileşenin yanısıra  $I_{CQ} + B_0$  ile gösterilen bir doğrultma terimi (doğru bileşen) ile frekansları  $\omega$  nin tam katları (harmonikleri) olan birtakım bileşenler meydana gelmiştir. Burada giriş ve çıkış büyüklükleri akımdır. Eğer giriş ve çıkış büyüklükleri gerilim olacak olursa yine aynı sonuç elde edilir. Şekil-2.3 de bu durum görülmektedir.



Şekil-2.3 Çıkış geriliminin giriş gerilimine bağlı değişimi

Şekil-2.3 deki gibi bir eğri,

$$v_2 = a_1 v_1 + a_2 v_1^2 + a_3 v_1^3 + \dots \quad (2.4)$$

gibi sonsuz terimli kuvvet serisi ile ifade edilebilir. Girişe uygun olan gerilim  $v_1 = V_{ml} \cos \omega t$  şeklinde sinüs biçiminde bir gerilim olduğunda, çıkışta elde edilen  $v_2$  gerilimi için (2.3) bağıntısı yardımıyla ve yukarıda verilen trigonometrik işlemler yapılarak,

$$v_2 = a_1 V_{ml} \cos \omega t + a_2 V_{ml}^2 \cos^2 \omega t + a_3 V_{ml}^3 \cos^3 \omega t + \dots \quad (2.5)$$

$$v_2 = \left( \frac{1}{2} a_2 V_{ml}^2 + \frac{3}{8} a_4 V_{ml}^4 + \dots \right) + \left( a_1 V_{ml} + \frac{3}{4} a_3 V_{ml}^3 + \dots \right) \cos \omega t$$

$$+ \left( \frac{1}{2} a_2 V_{ml}^2 + \frac{1}{2} a_4 V_{ml}^4 + \dots \right) \cos 2\omega t$$

$$+ \left( \frac{1}{4} a_3 V_{ml}^3 + \dots \right) \cos 3\omega t$$

elde edilir.

$$A_o = \left( \frac{1}{2} a_2 V_{ml}^2 + \frac{3}{8} a_4 V_{ml}^4 + \dots \right)$$

$$A_1 = \left( a_1 V_{ml} + \frac{3}{4} a_3 V_{ml}^3 + \dots \right)$$

$$A_2 = \left( \frac{1}{2} a_2 V_{ml}^2 + \frac{1}{2} a_4 V_{ml}^4 + \dots \right)$$

$$A_3 = \left( \frac{1}{4} a_3 V_{ml}^3 + \dots \right)$$

olmak üzere  $v_2$  çıkış gerilimi

$$v_2 = A_o + A_1 \cos \omega t + A_2 \cos 2\omega t + A_3 \cos 3\omega t + \dots \quad (2.6)$$

tarzında yazılabilir.  $v_2$  gerilimine ilişkin ikinci harmonik distorsiyonu katsayısı tanım gereğince

$$d_2 = \sqrt{\frac{A_2}{A_1^2 + A_2^2 + A_3^2 + \dots}}$$

dır. Küçük mertebeli distorsyonlar için bağıntı

$$d_2 \cong \frac{A_2}{A_1} = \frac{\left( \frac{1}{2} a_2 v_{m1}^2 + \frac{1}{2} a_4 v_{m1}^4 + \dots \right)}{\left( a_1 v_{m1} + \frac{3}{4} a_3 v_{m1}^3 + \dots \right)} \quad (2.7a)$$

şeklinde basitleştirilebilir. (2.4) bağıntısında eğriliğin küçük olması halinde (2.7a) bağıntısı daha da basitleştirilerek

$$d_2 \cong \frac{1}{2} \frac{a_2}{a_1} v_{m1} \quad (2.7b)$$

yazılabilir. Benzer tarzda daha yüksek mertebeden harmonik distorsyon katsayıları için de

$$d_3 \cong \frac{1}{4} \frac{a_3}{a_1} v_{m1}^2 \quad (2.7c)$$

$$d_4 \cong \frac{1}{8} \frac{a_4}{a_1} v_{m1}^3$$

⋮

bulunur.

## 2.2. İntermodülasyon Distorsiyonu

Bir kuvvetlendiricide geçiş eğrisinin lineer olmamasının diğer önemli bir etkisi daha vardır. Bu etkiyi açıklayabilmek için geçiş eğrisini yine (2.4) deki gibi seri ile ifade edelim ve bu sefer girişe genlikleri ve frekansları başka başka olan birden fazla -örneğin iki tane- sinüs biçimini işaret uygulandığı kabul edilirse,

$$v_{g1} = V_{m1} \cos \omega_1 t + V_{m2} \cos \omega_2 t$$

$v_2$  çıkış işaretinin bileşenleri (2.4) ve (2.2b) bağıntıları yardımıyla hesaplanırsa  $\omega_1$  ve  $\omega_2$  nin tam katlarından başka

$$(\omega_1 - \omega_2), (\omega_1 + \omega_2), (2\omega_1 + \omega_2), (2\omega_1 - \omega_2), (\omega_1 + 2\omega_2), (\omega_1 - 2\omega_2) \dots \dots$$

gibi frekansların da meydana geldiği görülür [6] , [7].

İkinci intermodülasyon distorsyonu  $i_{m2}$ ,  $\omega_1 + \omega_2$  frekans bileşeninin genliğinin,  $\omega_1$  veya  $\omega_2$  frekanslarından birinin genliğine oranı olarak

$$i_{m2} = \frac{a_2}{a_1} V_{ml} \quad (2.8)$$

biçiminde tanımlanır. Bu tanım (2.7b) bağıntısı ile karşılaştırılırsa

$$i_{m2} = 2d_2$$

elde edilir.

Üçüncü intermodülasyon distorsyonu  $i_{m3}$ ,  $2\omega_1 + \omega_2$  ve  $2\omega_2 + \omega_1$  bileşenleri ile ortaya çıkar ve benzer şekilde

$$i_{m3} = \frac{3}{4} \frac{a_3}{a_1} V_{ml}^2$$

biçiminde tanımlanır. Bu tanım (2.7c) bağıntısı ile karşılaştırılırsa

$$i_{m3} = 3d_3$$

elde edilir.

Ister genlik distorsyonu olsun ister intermodülasyon distorsyonu olsun, her ikisinin de çıkış işaretinde görülmesi istenmemektedir. Diğer taraftan  $\omega_1$  ve  $\omega_2$  nin teşkil ettiği toplam ve fark bileşenlerinin katsayıları da  $a_2$ ,  $a_3 \dots$  katsayıları ile orantılı olacağı kolayca görülebilir. Öyleyse distorsyon tamamen ortadan kaldırılmasa bile, yeterli bir mertebe kadar küçültülebilir. Bu da (2.4) bağıntısının katsayılarından bazılarının herhangi bir yoldan küçültülmesi halinde, çıkış işaretinde küçültülen katsayılarla ilişkin harmonik distorsyonu bileşenlerinden başka bazı intermodülasyon bileşenleri de küçülecektir.

BÖLÜM 3. TRANZİSTORLU KUVVETLENDİRİCİLERDE LINEER OLMAMA DISTORSİYO-NUNUN KAYNAKLARI

Bu bölümde, kuvvetlendirici elemanı olarak kullanılan tranzistorun giriş ve çıkış özeğrilerinin lineer olmadığı ve bunun neden böyle olduğu izah edilmiştir. Tranzistorun özeğrileri yardımıyla gerilim geçiş eğrisi çıkartılmış, ayrıca statik ve dinamik geçiş eğrileri çizilerek bunların lineer olmadığı gösterilmiştir. Lineer olmama distorsiyonunun sebeplerinden biri olan Early olayı ve bu olayın Ebers-Moll bağıntılarında temsil edilmesine olanak veren Leblebici modifikasyonu ele alınmıştır.

3.1. Kolektör-Emetör Geriliminin Değişmesi Sonucu Ortaya Çıkan Sonuç

Early olayını da temsil edecek tarzda geliştirilen Ebers-Moll bağıntıları

$$I_B = \frac{I_{SO} \left( 1 + \frac{M}{2} V_{CE}^N \right)}{\beta_{FO} \left( 1 + M V_{CE}^N \right)} \left( e^{\frac{V_{BE}}{V_T}} - 1 \right) + \frac{1}{\beta_R} I_{SO} \left( e^{\frac{V_{CE}}{V_T}} \cdot e^{\frac{V_{BE}}{V_T}} - 1 \right) \quad (3.1)$$

$$I_C = I_{SO} \left( 1 + \frac{M}{2} V_{CE}^N \right) \left( e^{\frac{V_{BE}}{V_T}} - 1 \right) - \frac{\beta_R - 1}{\beta_R} I_{SO} \left( e^{\frac{V_{CE}}{V_T}} \cdot e^{\frac{V_{BE}}{V_T}} - 1 \right) \quad (3.2)$$

şeklindedir [8].

Bu bağıntılar normal kutuplama şartları altında yani  $V_{BE} \gg V_T$ ,  $V_{CE} \gg V_T$  için genellikle  $I_B \gg I_{SO}$  /  $\beta_{FO}$  ve  $I_C \gg I_{SO}$  /  $\beta_R$  olduğu da göz önünde bulundurularak,

$$I_B = \frac{I_{SO} \left(1 + \frac{M}{2} V_{CE}^N\right)}{\beta_{FO} \left(1 + MV_{CE}^N\right)} \cdot e^{\frac{V_{BE}}{V_T}} \quad (3.3)$$

$$I_C = I_{SO} \left(1 + \frac{M}{2} V_{CE}^N\right) \cdot e^{\frac{V_{BE}}{V_T}} \quad (3.4)$$

tarzında basitleştirilebilir [8] .

Görüldüğü gibi (2.3) ve (2.4) ifadelerinden  $V_{CE}^N$  terimi vardır. Q çalışma noktası civarında  $V_{BE}$  baz-emetör gerilimi kadar değiştiğinde  $I_B$  akımı da  $i_b$  kadar,  $V_{CE}$  kolektör emetör gerilimi de  $v_{ce}$  kadar değişecektir. Bir an için sadece kolektör geriliminin Q çalışma noktası civarında  $v_{ce}$  kadar değiştirdiğimizi düşünelim. O zaman  $V_{CEQ}^N$  ifadesi  $(V_{CEQ} + v_{ce})^N$  haline gelecektir. Bunu kuvvet serisine açalım. Serinin yakınsaklık şartı EK:E de verilmiştir.

$$(V_{CEQ} + v_{ce})^N = V_{CEQ}^N + NV_{CEQ}^{N-1} \cdot v_{ce} + \frac{N(N-1)}{2!} (V_{CEQ})^{N-2} \cdot v_{ce}^2 + \frac{N(N-1)(N-2)}{3!} V_{CEQ}^{N-3} v_{ce}^3 \\ + \frac{N(N-1)(N-2)(N-3)}{4!} V_{CEQ}^{N-4} v_{ce}^4 + \frac{N(N-1)(N-2)(N-3)(N-4)}{5!} V_{CEQ}^{N-5} v_{ce}^5 + \dots \quad (3.5)$$

şeklinde terimler bulunur.  $v_{ce}$  nin sinüs biçiminde değiştigini düşünelim.

$v_{ce} = V_m \cos \omega t$  ifadesi (3.5) serisinde yerine konur ve katsayılar

$$P_1 = \frac{N(N-1)}{2!}$$

$$P_2 = \frac{N(N-1)(N-2)}{3!}$$

tarzında kısaltılırsa,

$$(v_{CEQ} + v_{ce})^N = v_{CEQ}^N + NV_{CEQ}^{N-1} v_m \cos \omega t + P_1 v_{CEQ}^{N-2} v_m^2 \cos^2 \omega t + P_2 v_{CEQ}^{N-3} v_m^3 \cos^3 \omega t \\ + P_3 v_{CEQ}^{N-4} v_m^4 \cos^4 \omega t + P_4 v_{CEQ}^{N-5} v_m^5 \cos^5 \omega t + \dots \quad (3.6)$$

bulunur. Gerekli trigonometrik dönüşümler yapılarsa (3.6) ifadesinden

$$(v_{CEQ} + v_{ce})^N = v_{CEQ}^N \left\{ \left\{ 1+2\left(\frac{x}{2}\right)^2 \left[ P_1 + 3P_3 \left(\frac{x}{2}\right)^2 \right] \right\} + \left\{ NX \left[ 1+3P_2 \left(\frac{x}{2}\right)^2 \right] \right\} \cos \omega t \right. \\ \left. + \left\{ 2\left(\frac{x}{2}\right)^2 \left[ P_1 + 4P_3 \left(\frac{x}{2}\right)^2 + 5P_4 \left(\frac{x}{2}\right)^2 \right] \right\} \cos 2\omega t \right. \\ \left. + \left\{ 2 \left( \frac{x}{2} \right)^3 \left[ P_2 + 5P_4 \left( \frac{x}{2} \right)^2 \right] \right\} \cos 3\omega t + 2P_3 \left( \frac{x}{2} \right)^4 \cos 4\omega t + 2P_4 \left( \frac{x}{2} \right)^5 \cos 5\omega t + \dots \right\}$$

bulunur. Burada  $x = v_m / v_{CEQ}$  dir.

$$k_1 = NV_{CEQ}^N X \left[ 1+3P_2 \left( \frac{x}{2} \right)^2 \right]$$

$$k_2 = 2V_{CEQ}^N \left( \frac{x}{2} \right)^2 \left[ P_1 + 4P_3 \left( \frac{x}{2} \right)^2 + 5P_4 \left( \frac{x}{2} \right)^3 \right]$$

$$k_3 = 2V_{CEQ}^N \left( \frac{x}{2} \right)^3 \left[ P_2 + 5P_4 \left( \frac{x}{2} \right)^2 \right]$$

$$k_4 = 2V_{CEQ}^N P_3 \left( \frac{x}{2} \right)^4$$

$$k_5 = 2V_{CEQ}^N P_4 \left( \frac{x}{2} \right)^4$$

.

olmak üzere sadece değişken bileşenler alınır,

$$v_{ce} = k_1 \cos \omega t + k_2 \cos 2\omega t + k_3 \cos 3\omega t + k_4 \cos 4\omega t + k_5 \cos 5\omega t + \dots$$

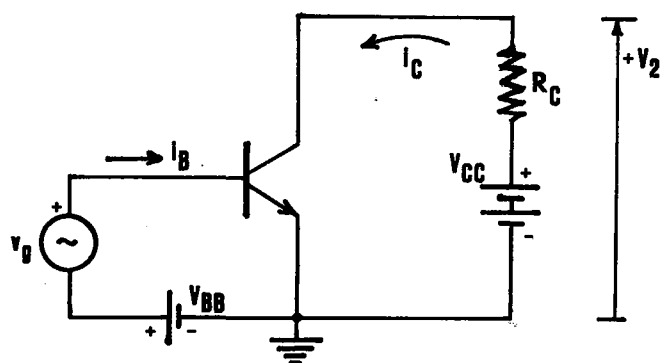
tarzında yazılabilir. Görüldüğü gibi kolektör-emetör geriliminin Q noktası civarında  $v_{ce}$  kadar değiştirilmesi, kolektör geriliminde -yahut çıkış geriliminde- harmonikler oluşturmaktadır.

$$X = \frac{V_{ml}}{V_{CEQ}}$$

olduğuna göre  $k_1, k_2, k_3, \dots$  katsayılarının değeri X oranının değerine bağlıdır. Örneğin  $V_{ml}$  genliği sabit tutulursa, katsayıların değeri Q çalışma noktasının yerine bağlı olacaktır. Yahut Q noktası sabit tutulacak olursa, katsayıların değeri uygulanan işaretin genliğinin büyülüğe bağlı olacaktır. X'in değeri en çok 1 olmak üzere daima 1 den küçüktür.  $0 < X \leq 1$  arasında değer alır.  $X = 1$  olması durumunda katsayılar en büyük değerini alır.

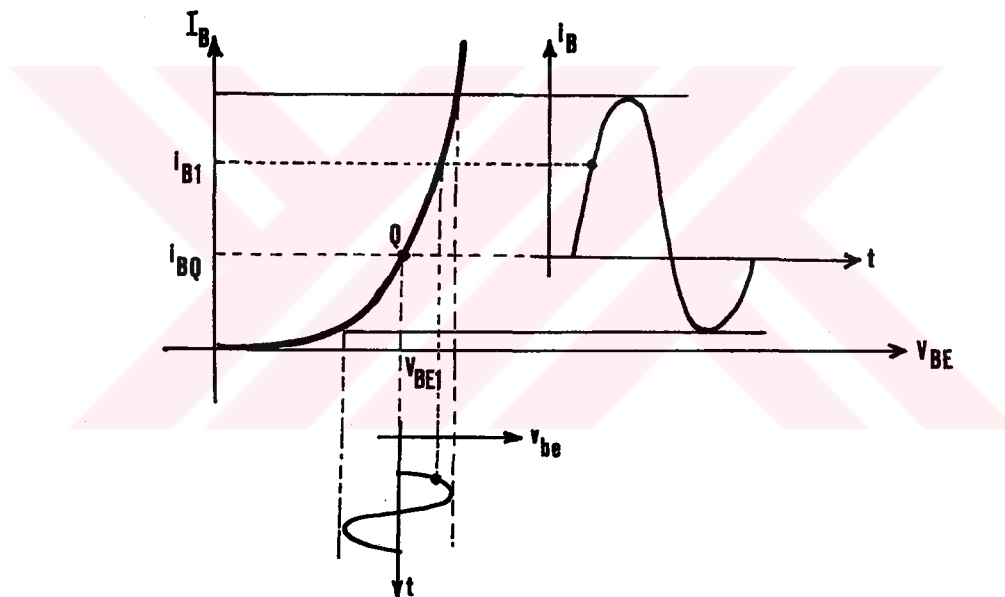
### 3.2. Tranzistorun Giriş Eğrisinden İleri Gelen Distorsiyon

Şekil-3.1 deki basit ortak emetörlü devreyi gözönüne alalım. Devre  $V_{CC}$  ve  $V_{BB}$  kaynakları ile istenilen bir çalışma noktasında bulunacak şekilde kutuplanmıştır. Sukunet halinde yani  $v_g$  değişken gerilim kaynağı kısa devre iken, baz akımı  $I_{BQ}$  kolektör akımı  $I_{CQ}$  olsun.



Şekil-3.1 Emetör montajlı tranzistorlu kuvvetlendirici devresi

$v_g$  değişken gerilim kaynağının değeri sıfırdan itibaren artırılıp belirli bir değere getirildiğinde baz-emetör geriliminin ani değerinin toplamı  $v_{BE} = V_{BE} + v_g$  olur. Tranzistorun giriş karakteristiği Şekil-3.2 deki gibi olduğu bilindiğine göre  $v_{BE}$  nin herhangi bir  $v_{BE1}$  değeri için akacak olan baz akımı ( $i_{B1}$ ) bu karakteristikten bulunabilir. Şekilden de görüldüğü gibi giriş eğrisinin lineer olmamasından ötürü  $i_B$  de meydana gelen değişimlerin  $v_{BE}$  nin değişimleri ile orantılı olmayacağıdır. Bundan dolayı  $v_{BE}$  nin  $V_{BEQ}$  değeri etrafında sinüsoidal olarak değişmesi sonucunda meydana gelecek olan baz akımı değişimi sinüs biçimini olmayacağı, diğer deyişle baz emetör geriliminden akıma geçişte bir lineer olmama distorsiyonu meydana gelecektir.

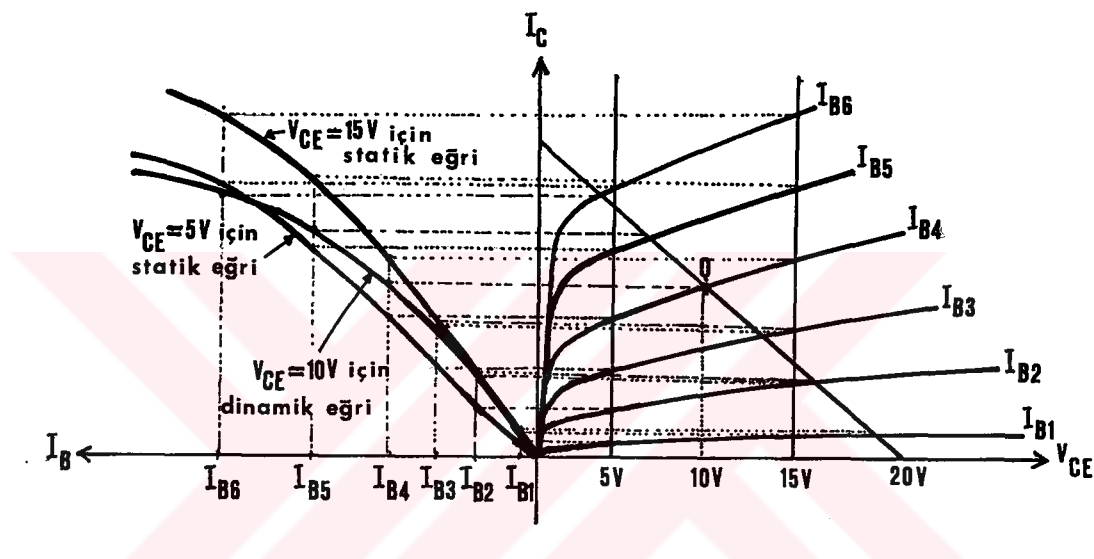


Şekil-3.2 Tranzistorun  $i_B - v_{BE}$  değişimi belli olduğuna göre  $v_{be}$  nin sinüs biçimini olmasına karşılık  $i_B$  nin distorsiyona uğraması

### 3.3. Tranzistorun Çıkış Eğrisinden İleri Gelen Lineer Olmama Distorsiyonu

Tranzistorun baz akımı değiştirildiğinde kolektör akımı değişmektedir. Bu değişimin nasıl olacağı devrenin  $I_C = f(I_B)$  karakteristiği diğer deyişle geçiş eğrisi yardımıyla görülebilir. Şekil-3.3 de görülen çıkış eğrisinde kolektör-emetör gerilimi arttıkça, sabit baz

akımı eğrilerinin eğimleri de artmaktadır.  $V_{CE} = 5V$  ve  $V_{CE} = 15V$  için statik geçiş eğrilerini ve  $R_C$  yük direnci bağlanarak  $V_{CE} = 10V$  için dinamik geçiş eğrisini çizecek olursak, kolektör-emetör geriliminin değeri büyükçe sabit baz akımı eğrilerinin eğimlerinin artmasından dolayı şekildeki gibi eğrisel çıkışları tabiidir. Bu eğriselliğin mertebesi çalışma noktasına bağlıdır. Örneğin  $V_{CE} = 15V$  ile  $V_{CE} = 5V$ 'a ilişkin statik geçiş eğrileri karşılaştırıldığında,  $V_{CE} = 15V$ 'a ilişkili statik eğrisinin eğriselliğinin daha fazla olduğu kolayca görülür.



Şekil-3.3 Tranzistorun çeşitli  $V_{CEQ}$  lara ilişkili transfer karakteristiklerinin biçimini

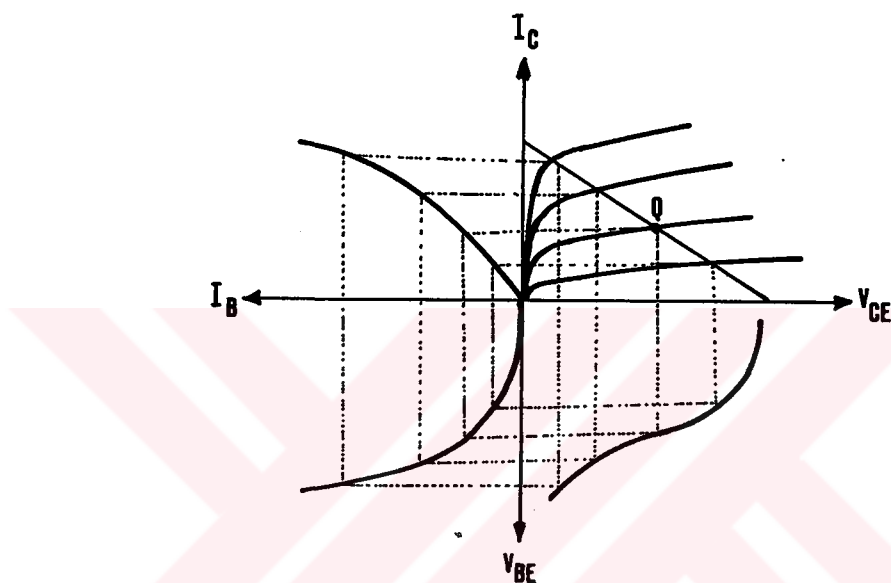
Eğriselliğin mertebesinin değişeceğini söyle de görülebilir. (3.3) ve (3.4) bağıntıları oranlanırsa,

$$I_C = \beta_F (1 + M V_{CEQ}^N) I_B \quad (3.7)$$

elde edilir. Bu bağıntıda üstel olan  $V_{CEQ}^N$  terimi vardır. Kolektör-emetör geriliminin değeri arttıkça,  $I_C$  kolektör akımının bir önceki değere göre daha da büyüyeceği kolayca görülebilir.

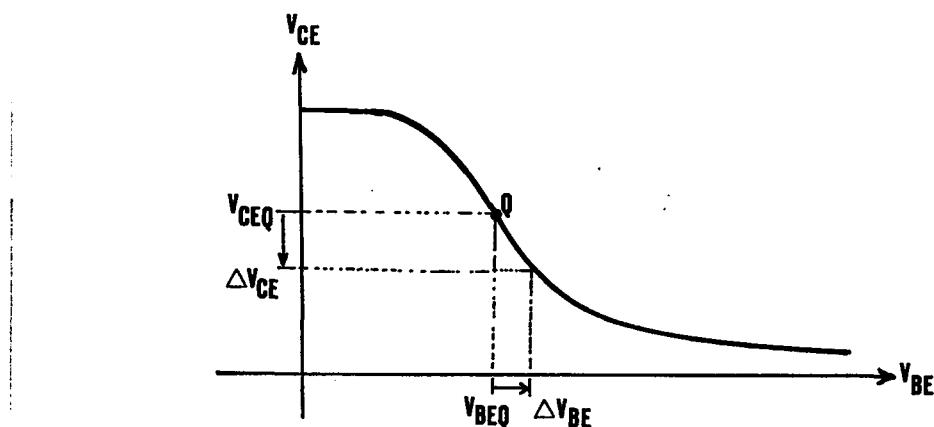
### 3.4. Tranzistorun Gerilim Geçiş Eğrisi

Tranzistorun üç özeğrisininde -ki bunlar giriş özeğrisi, geçiş özeğrisi ve çıkış özeğrisidir-lineer olmadığı yukarıda izah edilmiştir. Bunlardan yararlanarak gerilim geçiş eğrisi çizilirse, bu eğrinin lineer olmadığı görülecektir (Şekil-3.4).



Şekil-3.4 Diğer karakteristikler yardımıyla gerilim geçiş eğrisinin bulunması

Sadece gerilim geçiş eğrisi çizilecek olursa, bu eğrinin



Şekil-3.5 Gerilim geçiş eğrisinin değişimi

şeklinde olduğu görülür. Kolektör-emetör gerilimi Q çalışma noktası civarında  $\Delta V_{CE}$  kadar değiştirilirse, baz-emetör gerilimi de  $\Delta V_{BE}$

kadar değişecektir (Şekil-3.5).

### 3.5. Leblebici Modifikasyonu

"Early olayının" Ebers-Moll modeline eklenmesi, Lindholm-Hamilton modifikasyonunun aksayan yanları da gözönüne alınarak, 1980'de Leblebici tarafından yeniden düzenlenmiştir[8].

Bu düzenlemede Leblebici,

- a) Emetör veriminin çok yüksek olması ( $\gamma = 1$ )
- b) Baz genişliğinin yeteri kadar küçük ( $w < L_n$ ), dolayısıyla  $B_F \gg 1$  olması,
- c) E-B jonksiyonu geçiş bölgesinin baz içindeki bölümünün genişliği,  $W$  baz genişliği yanında ihmali edilebilecek kadar küçük bulunması,
- d) Ters Early olayının ihmali edilebilmesi şartları altında,  $\psi_o = 0$  ikenki potansiyel seddi yüksekliği,  $N$  katkı yoğunluklarının belindiği bir büyülüklük ve  $m$  bir oranti büyülüğü olmak üzere  $w$  geçiş bölgesi genişliğini veren

$$w = m(\psi_o + V_{CE} - V_{BE})^N$$

bağıntısının

$$w = m V_{CE}^N$$

şeklinde basitleştirilebilmesinden hareket ederek  $B_F$  akım kazancının

$$\beta_F = \beta_{FO} \left(1 + \frac{2m}{W_o} V_{CE}^N\right)$$

şeklinde yazılabileceğini göstermiş, bu bağıntıdaki  $2.m/W_o$  katsayıısını kısaca  $M$  parametresiyle ifade etmiş, buna bağlı olarak  $I_s$  doyma akımınınında

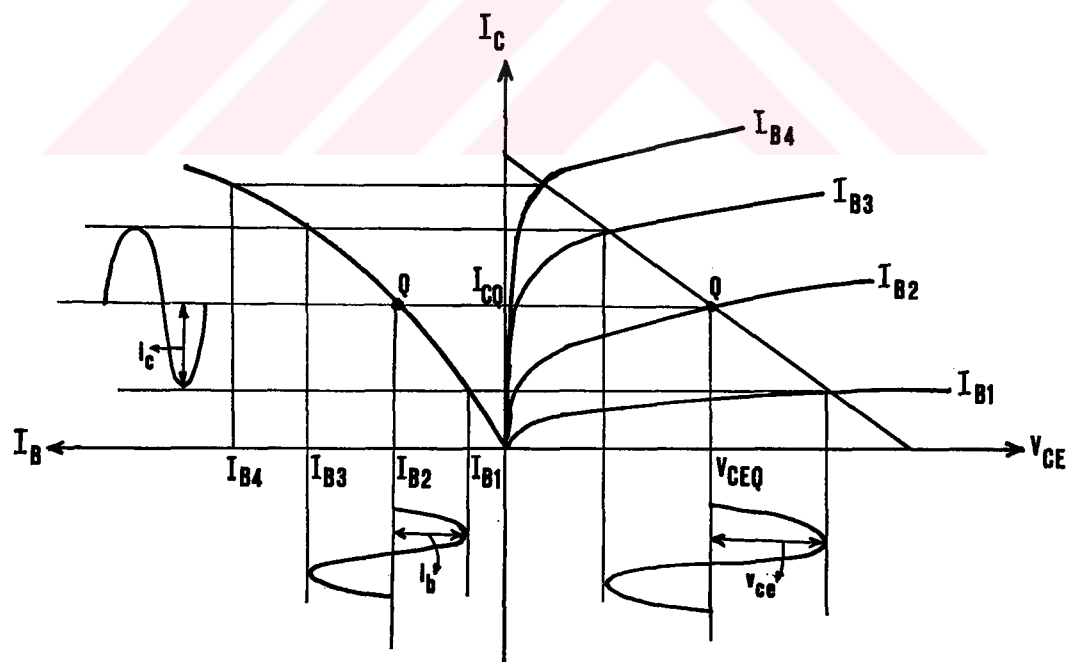
$$I_s = I_{so} \left(1 + \frac{M}{2} V_{CE}^N\right)$$

bağıntısıyla belirlenebileceğini ortaya koymuştur. Bu bağıntılarda  $W_o$ ,  $V_{CE} = 0$  durumuna karşı düşen baz genişliği,  $I_{so}$  ve  $\beta_F$  sırasıyla  $V_{CE} = 0$  durumuna ilişkin doyma akımı ve kısa devre akım kazancıdır.

Görüldüğü gibi Leblebici modifikasyonu Ebers-Moll modelinin temel parametreleri olan  $I_s$  ve  $\beta_F$  in tranzistorun kolektör-emetör gerilimi  $V_{CE}$  ye bağımlılığını gösteren iki yeni parametreyi yani M ve N parametrelerini modelin akım denklemlerine katarak modellemektedir.

### 3.6. Tranzistorun Dinamik Geçiş Eğrisi

Şekil-2.1 de görülen  $R_c$  direnciyle yüklü tranzistorlu kuvvetlendiriciye ilişkin dinamik geçiş eğrisi, çıkış eğrileri yardımıyla Şekil-3.6 daki gibi çizilebilir. Q çalışma noktası civarında kolektör-emetör gerilimini  $v_{ce}$  kadar değişmesi halinde kolektör akımı  $i_c$  kadar, baz akımı da  $i_b$  kadar değişecektir.



Şekil-3.6 Tranzistorun dinamik geçiş eğrisi ve  $i_c$ ,  $i_b$  ve  $v_{ce}$  nin değişimi

Bir a noktası civarında Taylor serisi,

$$f(x) = f(a) + f'(a) \frac{(x-a)}{1!} + f''(a) \frac{(x-a)^2}{2!} + \dots + f^n(a) \frac{(x-a)^n}{n!} + \dots$$

tarzındadır. Burada  $a$  yerine  $x_0$  ve  $(x-a)$  yerine  $h$ , yani  $x = a + h = x_0 + h$  dönüşümü yapılrsa,

$$f(x_0 + h) = f(x_0) + f'(x_0) \frac{h}{1!} + f''(x_0) \frac{h^2}{2!} + \dots + f^n(x_0) \frac{h^n}{n!} + \dots$$

elde edilir. Bu şekilde  $f(x)$  in  $(x_0 + h)$  ya kadar değiştirildiğinde alacağı yeni değeri,  $x$  in artımı olan  $h$  cinsinden bir kuvvet serisine açılmış olur [9].

Diğer taraftan (3.7) bağıntısı yeniden ele alınırsa

$$I_C = \beta_{FO} (1 + M V_{CE}^N) I_B$$

yazılır. Bu bağıntıda  $V_{CE}$  kolektör-emetör geriliminin yerine  $I_C$ ,  $R_C$  ve  $V_{CC}$  cinsinden değeri yazılabilir.

$$V_{CE} = V_{CC} - I_C R_C \quad (3.8)$$

veya

$$V_{CE} = V_{CE} + v_{ce}$$

$$i_C = I_C + i_c$$

olmak üzere

$$v_{CE} = V_{CC} - i_C R_C \quad (3.9)$$

tarzında yazılabilir. (3.8) bağıntısını (3.7) bağıntısında yerine ko-  
nacak olursa

$$I_C = \beta_{FO} \left[ 1 + M (V_{CC} - I_C R_C)^N \right] I_B$$

bulunur. Bu ifadede  $I_B$  yalnız bırakılacak olursa

$$I_B = \frac{I_C}{\beta_{Fo} \left[ 1 + M(v_{CC} - I_C R_C)^N \right]} \quad (3.10)$$

elde edilir. Böylece Early olayını da içine alan  $I_B = I_B(I_C)$  eğrisi -diğer deyişle geçiş eğrisi- elde edilmiş olur. (2.10) bağıntısının paydasında bulunan  $(v_{CC} - I_C R_C)^N$  teriminden dolayı nonlinear olduğu kolayca görülebilir.

Bu bağıntıda  $I_C$  kolektör akımı Q noktası civarında  $i_c$  kadar değiştirilirse,  $I_B$  baz akımı da  $I_B \rightarrow I_{BQ} + i_b$  olur.

$$I_{BQ}(I_{CQ} + i_c) = \frac{I_{CQ} + i_c}{\beta_{Fo} \left\{ 1 + M \left[ v_{CC} - (I_{CQ} + i_c) R_C \right]^N \right\}}$$

veya

$$i_B = \frac{i_c}{\beta_{Fo} \left[ 1 + M(v_{CC} - i_c R_C)^N \right]} \quad (3.11)$$

$I_{CQ} \gg i_c$  olmak şartıyla (3.11) ifadesine Q çalışma noktası civarında Taylor serisine açılım yöntemi uygulanırsa [4], [27], [28],

$$i_B = \frac{I_{CQ}}{\beta_{Fo} (1 + M V_{CEQ}^N)} + \frac{1 + M V_{CEQ}^N (1 + N R_C V_{CEQ}^{-1} I_{CQ})}{\beta_{Fo} (1 + M V_{CEQ}^N)^2} \cdot i_c$$

$$+ \frac{1}{2} \left\{ \frac{-M \cdot N \cdot V_{CEQ}^{N-1} \cdot R_C \left[ (N-1) R_C V_{CEQ}^{-1} I_{CQ} \right] \left[ \beta_{Fo} (1 + M V_{CEQ}^N)^2 \right]}{\beta_{Fo}^2 (1 + M V_{CEQ}^N)^4} \right\}$$

$$+ \frac{\left[ 2\beta_{Fo} MNR_C V_{CEQ}^{N-1} (1+MV_{CEQ}^N) \right] \left[ 1+MV_{CEQ}^N (1+NR_C V_{CEQ}^{-1}) I_{CQ} \right]}{\beta_{Fo}^2 (1+MV_{CEQ}^N)^4} \left\{ i_c^2 \right\}$$

$$+ \frac{1}{6} \left\{ \frac{MNR_C^{N-2} (1+MV_{CEQ}^N)^4}{\beta_{Fo} (1+MV_{CEQ}^N)^8} \left( (N-1) (1+MV_{CEQ}^N) \left[ (N-2) R_C V_{CEQ}^{-1} I_{CQ} - (1+MV_{CEQ}^N) \right] - 2MN V_{CEQ}^N \left[ 1+MV_{CEQ}^N (1+NR_C V_{CEQ}^{-1}) I_{CQ} \right] \right) \right\}$$

$$+ \frac{4M^2 N^2 R_C V_{CEQ}^{2N-2} (1+3MV_{CEQ}^N) (1+MV_{CEQ}^N)}{\beta_{Fo} (1+MV_{CEQ}^N)^8} \left\{ -(N-1) V_{CEQ}^{-1} I_{CQ} R_C (1+MV_{CEQ}^N) + 2 \left[ 1+MV_{CEQ}^N (1+NV_{CEQ}^{-1} R_C I_{CQ}) \right] \right\} \left\{ i_c^3 + \dots \right\}$$

elde edilir. Bu seride katsayılar

$$k_0 = \frac{I_{CQ}}{\beta_{Fo} (1+MV_{CEQ}^N)}$$

$$k_1 = \frac{1+MV_{CEQ}^N (1+NR_C V_{CEQ}^{-1}) I_{CQ}}{\beta_{Fo} (1+MV_{CEQ}^N)^2}$$

$$k_2 = \frac{1}{2} \left\{ \frac{-MN V_{CEQ}^{N-1} R_C \left[ (N-1) R_C V_{CEQ}^{-1} I_{CQ} \right] \left[ \beta_{Fo} (1+MV_{CEQ}^N)^2 \right]}{\beta_{Fo}^2 (1+MV_{CEQ}^N)^4} \right\}$$

$$+ \frac{\left[ 2\beta_{Fo} MNR_C V_{CEQ}^{N-1} (1+MV_{CEQ}^N) \right] \left[ 1+MV_{CEQ}^N (1+NR_C V_{CEQ}^{-1}) I_{CQ} \right]}{\beta_{Fo}^2 (1+MV_{CEQ}^N)^4} \left\{ \right\}$$

$$k_3 = \frac{1}{6} \left\{ \frac{MNR_C^{N-2} (1+MV_{CEQ}^N)^4}{\beta_{Fo} (1+MV_{CEQ}^N)^8} \left( (N-1) (1+MV_{CEQ}^N) \left[ (N-2) R_C V_{CEQ}^{-1} I_{CQ} - (1+MV_{CEQ}^N) \right] - 2MN V_{CEQ}^N \left[ 1+MV_{CEQ}^N (1+NR_C V_{CEQ}^{-1}) I_{CQ} \right] \right) \right\}$$

$$+ \frac{4M^2 N^2 R_C V_{CEQ}^{2N-2} (1+3MV_{CEQ}^N) (1+MV_{CEQ}^N)}{\beta_{Fo} (1+MV_{CEQ}^N)^8} \left\{ -(N-1) V_{CEQ}^{-1} I_{CQ} R_C (1+MV_{CEQ}^N) + 2 \left[ 1+MV_{CEQ}^N (1+NV_{CEQ}^{-1} R_C I_{CQ}) \right] \right\} \left\{ \right\}$$

⋮

ile gösterilirse

$$i_B = k_0 + k_1 i_c + k_2 i_c^2 + k_3 i_c^3 + \dots \quad (3.12)$$

elde edilir. (Bu serinin yakınsaklık şartı EK:E de verilmiştir.)

$i_B = I_{BQ} + i_b$  olduğuna göre baz akımının sadece değişken bileşeni alınırsa

$$i_b = k_1 i_c + k_2 i_c^2 + k_3 i_c^3 + \dots \quad (3.13)$$

bulunur. Yakınsak olmak şartıyla bir kuvvet serisinin tersi alınabilir [10]. Buna göre (2.13) serisinin tersi,

$$i_c = b_1' \frac{y-k_0}{k_1} + b_2' \left( \frac{y-k_0}{k_1} \right)^2 + b_3' \left( \frac{y-k_0}{k_1} \right)^3 + b_4' \left( \frac{y-k_0}{k_1} \right)^4 + \dots + b_{n-1}' \left( \frac{y-k_0}{k_1} \right)^n + \dots \quad (3.14)$$

şeklinde elde edilir. Burada

$$b_1' = 1$$

$$b_2' = - \frac{k_2}{k_1}$$

$$b_3' = - \frac{k_3}{k_1} + 2 \left( \frac{k_2}{k_1} \right)^2$$

.

.

.

dir. O halde (2.14) bağıntısı

$$i_c = b_1' \left( \frac{1}{k_1} \right) i_b + b_2' \left( \frac{1}{k_1} \right)^2 i_b^2 + b_3' \left( \frac{1}{k_1} \right)^3 i_b^3 + b_4' \left( \frac{1}{k_1} \right)^4 i_b^4 + \dots \quad (3.15)$$

tarzında yazılır. Burada

$$b_1 = \frac{1}{k_1}$$

$$b_2 = -\frac{k_2}{k_1} - \frac{1}{k_1^2}$$

$$b_3 = \left( 2 \frac{k_2^2}{k_1^2} - \frac{k_3}{k_1} \right) \frac{1}{k_1^3}$$

.

.

olmak üzere

$$i_c = b_1 i_b + b_2 i_b^2 + b_3 i_b^3 + \dots \quad (3.16)$$

tarzında yazmak faydalıdır. Kolektör akımının değişken bileşenini baz akımının değişken bileşeni cinsinden veren (3.16) kuvvet serisindeki  $b_1, b_2, b_3 \dots$  katsayıları, tranzistorun iç yapısına bağlı olan  $\beta_{FO}, M, N$  fiziksel parametreleri ile hesaplanan  $k_1, k_2, k_3 \dots$  katsayıları cinsinden elde edilmektedir. Böylece Early olayı, kuvvet serisine geometrik bir yaklaşımla değil [4], fakat fiziksel temellerden yola çıkılarak elde edilen M, N parametreleri [8] ile temsil edilmiştir. Diğer tarafından kısa devre akım kazancı

$$\beta_F = \beta_{FO} (1 + MV_{CE}^N) \quad (3.17)$$

olarak verildiğine göre,  $\beta_F$  sabit olarak degilde, Early olayını da içine alan M ve N parametreleri ile ifade edilmektedir.

Yine aynı katsayırlarda bulunan  $V_{CC}$ ,  $R_C$  büyülükleri ile tranzistora ilişkin dış devre şartları ve  $I_{BQ}$  baz akımı ile çalışma noktası belirlenmektedir.

### 3.7. Giriş Eğrisi

Bir yarıiletken diyottan akan akım diyodun uçları arasında uygulanan gerilime bağlı olarak

$$I = I_s \left( e^{\frac{V_{BE}}{V_T}} - 1 \right)$$

bağıntısı ile ifade edilir. Burada  $I_s$  diyodu meydana getiren p ve n yarıiletkenlerinin özelliklerinin belirlediği doyma akımıdır.  $V_T$  ise

$$V_T = \frac{kT}{q}$$

bağıntısı yardımıyla hesaplanır. Burada k Boltzman sabitesi, q elektron yükü, T jonksiyonunun mutlak sıcaklığı ve  $V_{BE}$  diyodun uçlarına uygulanan gerilimdir.

Kolektörüne gerilim uygulanmamış bir tranzistorun bazı ile emetör ucu arasında bir diyod olduğu ve bu uçlara  $V_{BE}$  gerilimi uygulandığında emetör ve baz iletkenlerinden akacak olan akımın yukarıda verilmiş olan bağıntı ile ifade edilebileceği açıktır. Tranzistorun kolektörü ile bazı arasına tıkama yönünde  $V_{CEsat}$  doyma geriliminden daha büyük bir gerilim uygulanırsa emetör akımını meydana getiren taşıyıcıların büyük çoğunluğu kolektör bölgesine geçerek kolektör akımını oluşturur. Bu durumda baz iletkeninden sadece baz bölgesi içinde meydana gelen birleşmelerin doğurduğu bir akım akar ki, bunun değeri emetör akımına göre  $(1+\beta_F)$  defa daha küçüktür. O halde normal şartlar altında çalışan bir tranzistorun baz akımı baz-emetör gerilimine

$$I_B = \frac{I_{so} \left( 1 + \frac{M}{2} V_{CEQ}^N \right)}{\beta_F \left( 1 + M V_{CEQ}^N \right)} \cdot \left( \frac{V_{BEQ}}{e^{\frac{V_T}{V_T}} - 1} \right) + \frac{1}{\beta_R} I_{so} \left( e^{\frac{V_{CEQ}}{V_T}} - 1 \right) \quad (3.18)$$

bağıntısı ile bağlıdır. Bu ifadenin ikinci terimi, birinci terimi yanında çok küçük olduğundan ihmal edilirse,

$$I_B = \frac{I_{so} \left( 1 + \frac{M}{2} V_{CEQ}^N \right)}{\beta_F \left( 1 + M V_{CEQ}^N \right)} \cdot \left( e^{\frac{V_{BEQ}}{V_T}} - 1 \right) \quad (3.19)$$

elde edilir. (3.19) ifadesinde birinci çarpanın pay ve payda birbirine eşit kabul edilebileceğinden geriye bilinen bağıntı elde edilir.

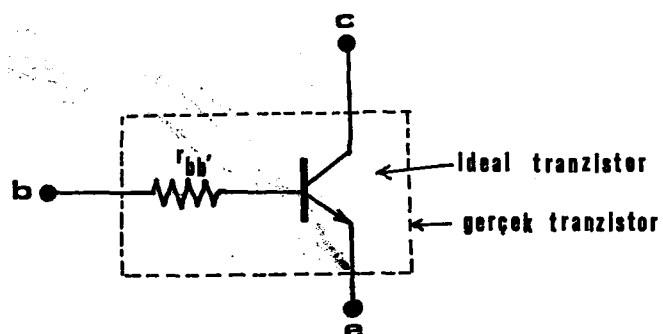
$$I_B = \frac{I_{SO}}{\beta_{FO}} \left( \frac{V_{BEQ}}{V_T} - 1 \right)$$

veya

$$I_B = I_s \cdot e^{\frac{V_{BEQ}}{V_T}} \quad (3.20)$$

elde edilir. Burada  $I_s = I_{SO}/\beta_{FO}$  dır. (3.19) bağıntısının ikinci çarpanı,  $I_B$  baz akımının,  $V_{BE}$  ye göre değişiminin lineer olmadığını ifade eder. Aslında  $I_s$  çarpanının paydasındaki  $\beta_{FO}$  dan dolayı ikinci bir lineer olmama durumu söz konusudur. Ancak  $\beta_{FO}$ ın çalışma noktasında mertebesi çok küçük yada çok büyük olmayan akımlar için geniş bir bölgede pek fazla değişmediği düşünülürse,  $I_B = f(V_{BE})$  nin lineer olmama özelliğinin sadece ikinci çarptan ileri geldiği, başka bir deyişle fonksiyonunun lineer olmama özelliği üzerinde birinci çarpanın etkisinin, ikinci çarpanın etkisi yanında ihmali edilebileceği kabul edilebilir. Diğer yandan  $\beta_F$  nin küçük akımlar ve büyük akımlar için değişimi farklı olduğundan daha sonraki bölümlerde bu olay ayrıca incelenecaktır.

(3.20) bağıntısı ideal bir tranzistor için geçerlidir. Gerçekte bir tranzistorun giriş devresini, bu bağıntı ile ifade edebilecek bir jonsiyonla buna seri bir  $r_{bb'}$  baz gövdesi direncinin toplamı şeklinde göstermek gerekir (Şekil-3.7).



Şekil-3.7 İdeal ve Gerçek tranzistor

Bundan sonraki bağıntılarda  $r_{bb}'$  direnci işaret kaynağını iç direncine yani  $R_g$  ye dahil edilerek hesaba katılmış olacaktır. Bu kabuller altında  $V_{BEQ}$  baz-emetör gerilimi  $v_{be}$  kadar değiştirildiğinde,  $I_{BQ}$  baz akımı da  $i_b$  kadar değişecektir. O halde bağıntı

$$i_B = I_{BQ} + i_b = I_s e^{\frac{1}{V_T}(V_{BEQ} + v_{be})} \quad (3.21)$$

şeklinde yazılabilir. Burada  $i_B$  baz akımının toplam anı değerini,  $I_{BQ}$  sükünət halindeki ( $V_{BE} = V_{BEQ}$ ) baz akımını ve  $i_b$  baz akımının değişken bileşeninin anı değerini göstermektedir. (3.21) bağıntısından

$$I_{BQ} + i_b = I_s e^{\frac{V_{BEQ}}{V_T}} \cdot e^{\frac{v_{be}}{V_T}}$$

$$i_b = I_s e^{\frac{V_{BEQ}}{V_T}} \cdot e^{\frac{v_{be}}{V_T}} - I_{BQ}$$

elde edilir. Diğer taraftan

$$I_{BQ} = I_s e^{\frac{V_{BEQ}}{V_T}}$$

olduğundan  $I_{BQ}$  parantezine alınarak

$$i_b = I_{BQ} e^{\frac{v_{be}}{V_T}} - I_{BQ}$$

$$i_b = I_{BQ} \left( e^{\frac{v_{be}}{V_T}} - 1 \right)$$

elde edilir. İstenilen bağıntı  $v_{be} = f(i_b)$  olduğundan üstel terim yanlış bırakılacak olursa,

$$\frac{v_{be}}{v_T} = \left( 1 + \frac{i_b}{I_{BQ}} \right)$$

bulunur. Bu son elde edilen ifadenin her iki tarafının logaritması alınırsa,

$$v_{be} = v_T \ln \left( 1 + \frac{i_b}{I_{BQ}} \right)$$

elde edilir. Bulunan bağıntı ( $i_b/I_{BQ}$ ) ya göre kuvvet serisine açılabılır: (Serinin yakınsaklık şartı EK:E de verilmiştir).

$$v_{be} = v_T \left[ \frac{i_b}{I_{BQ}} - \frac{1}{2} \left( \frac{i_b}{I_{BQ}} \right)^2 + \frac{1}{3} \left( \frac{i_b}{I_{BQ}} \right)^3 - \dots \right] \quad (3.22)$$

(3.21) ifadesi genel olarak

$$v_{be} = \alpha_1 i_b + \alpha_2 i_b^2 + \alpha_3 i_b^3 + \dots \quad (3.23)$$

$$\alpha_1 = \frac{v_T}{I_{BQ}}$$

$$\alpha_2 = - \frac{v_T}{2 I_{BQ}^2} \quad (3.24)$$

$$\alpha_3 = v_T \frac{1}{3 I_{BQ}^3}$$

.

.

.

.

Aynı sonuçlar (3.21) ifadesini Q çalışma noktası civarında Taylor serisine açmakla da bulunabilir.

$$i_B = I_s' e^{\frac{v_{BE}}{V_T}}$$

$$i_B = I_s' e^{\frac{v_{BE}}{V_T}} \left| + \frac{1}{1!} I_s' \frac{1}{V_T} e^{\frac{v_{BE}}{V_T}} \right| v_{be} + \frac{1}{2!} I_s' \frac{1}{V_T^2} e^{\frac{v_{BE}}{V_T}} \left| v_{be}^2 + \frac{1}{3!} I_s' \frac{1}{V_T^3} e^{\frac{v_{BE}}{V_T}} \right| v_{be}^3 + \dots$$

$$v_{BE} = V_{BEQ}$$

$$v_{BE} = V_{BEQ}$$

$$v_{BE} = V_{BEQ}$$

$$v_{BE} = V_{BEQ}$$

Çalışma noktasında

$$I_{BQ} = I_s' e^{\frac{V_{BEQ}}{V_T}}$$

olduğundan

$$i_b = \frac{I_{BQ}}{V_T} v_{be} + \frac{1}{2!} \frac{I_{BQ}}{V_T^2} v_{be}^2 + \frac{1}{3!} \frac{I_{BQ}}{V_T^3} v_{be}^3 + \dots \quad (3.25)$$

bulunur. Bu serinin yakınsaklık şartı EK:E de verilmiştir. (3.25) serisine ters dönüşüm uygulanırsa,

$$v_{be} = V_T \left( \frac{1}{I_{BQ}} i_b - \frac{1}{2} \frac{1}{I_{BQ}^2} i_b^2 + \frac{1}{3} \frac{1}{I_{BQ}^3} i_b^3 - \dots \right)$$

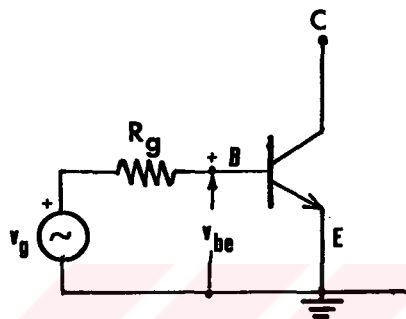
veya katsayılar cinsinden yazılırsa

$$v_{be} = \alpha_1 i_b + \alpha_2 i_b^2 + \alpha_3 i_b^3 + \dots$$

aynı sonuç elde edilir.

### 3.8. Kaynak Gerilimi - Giriş Akımı Bağıntısı

Ortak emetörlü tek tranzistörlü bir kuvvetlendiricinin giriş devresi değişken işaretler bakımından Şekil-3.8 deki gibi gösterilebilir. Tranzistorun baz-emetör jonksiyonundan istenen  $I_{BQ}$  baz sukünnet akımını akıtacak şekilde bir  $V_{BEQ}$  gerilimi ile kutuplandıgı, bu kutuplamayı sağlayan baz bölüğü dirençlerinin paralel eşdeğerinin de tranzistorun giriş direncine göre çok büyük olduğu kabul edilecektir.



Şekil-3.8 Tranzistorlu kuvvetlendiricinin giriş devresi

Giriş direncinin bulunduğu çevreye Kirchoff'un 1. Kanunu uygulanırsa,

$$v_g = i_b R_g + v_{be}$$

bulunur. (3.22) bağıntısı (3.25) bağıntısında yerine konursa,

$$v_g = i_b R_g + (\alpha_1 i_b + \alpha_2 i_b^2 + \alpha_3 i_b^3 + \dots)$$

$$v_g = (R_g + \alpha_1) i_b + \alpha_2 i_b^2 + \alpha_3 i_b^3 + \dots$$

$$v_g = \alpha'_1 i_b + \alpha_2 i_b^2 + \alpha_3 i_b^3 + \dots \quad (3.27)$$

bulunur. Görüldüğü gibi (3.27) bağıntısı  $v_g$  yi  $i_b$  cinsinden ifade eden lineer olmayan bir bağıntıdır. Bunun tersi,  $i_b$  yi  $v_g$  cinsinden ifade eden yani girişe uygulanan  $v_g$  geriliminin sebep olduğu  $i_b$  akımının  $v_g$  ye nasıl bağlı olduğunu gösteren bağıntı da lineer olmayan bir bağıntı olacaktır ve bu da sonsuz terimli bir kuvvet serisi ile (3.28) deki gibi gösterilebilir.

$$i_b = a_1 v_g + a_2 v_g^2 + a_3 v_g^3 + \dots \quad (3.28)$$

Buradaki  $a$  katsayıları (3.27) serisinin katsayıları cinsinden hesap edilirse

$$a_1 = \frac{1}{\alpha_1}$$

$$a_2 = - \frac{\alpha_2}{\alpha_1^2} \frac{1}{\alpha_1^2} \quad (3.29)$$

$$a_3 = \left( 2 \frac{\alpha_2^2}{\alpha_1^3} - \frac{\alpha_3}{\alpha_1^3} \right) \frac{1}{\alpha_1^3}$$

$$a_4 = \left( - \frac{\alpha_4}{\alpha_1^4} + 5 \frac{\alpha_2 \alpha_3}{\alpha_1^4} - 5 \frac{\alpha_2^2}{\alpha_1^4} \right) \frac{1}{\alpha_1^4}$$

.

.

.

bulunur [10].

Tranzistorun sukünət halindeki  $I_{BQ}$  baz akımı bilindiğine göre (3.29) ve (3.27) bağıntıları aracılığı ile (3.28) bağıntısının katsayıları hesap edilebilir. Böylece  $v_g = f(i_b)$  karakteristiği belirlenmiş olur. Diğer deyişle  $v_g$  kaynak geriliminden dolayı  $i_b$  de meydana gelen distorsiyonu bulmak mümkündür.

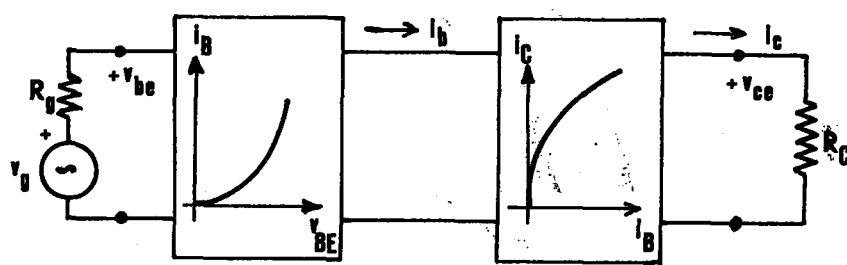
#### BÖLÜM 4. DİRENÇLE YÜKLÜ ORTAK EMETÖRLÜ DEVREDE TOPLAM DISTORSİYON

Bu bölümde yük akımı  $i_c$  ile giriş gerilimi  $v_{be}$  arasındaki bağıntı izah edilecektir. Gerilim geçiş eğrisinin lineer olmamasından dolayı yük akımında meydana gelecek harmonikler bulunacaktır.

##### 4.1. Kolektör Akımının İşaret Kaynağı Gerilimine Bağlı Olarak Değişimi

Dirençle yüklenmiş ortak emetörlü bir kuvvetlendiricide baz akımının değişken bileşeninin işaret gerilimi ile değişiminin (3.28) bağıntısı ile ve kolektör akımının değişken bileşeninin baz akımına bağlı olarak değişimini de (3.16) bağıntısı ile ifade edilebileceği gösterilmiştir. Aslında aranan bağıntı, kolektör akımının değişken bileşeninin, kaynak işaretin gerilime bağlı olarak değişimini veren bağıntıdır.

Şekil olarak gösterecek olursak, yukarıda söylenenler (Şekil-4.1) deki gibi çizilebilir.



Şekil-4.1 Lineer olmama distorsyonunun kaynakları

Macdonald [11] tarafından verilmiş olan sonuçlara göre, bu bağıntının bulunması için art arda bağlanmış iki dört-uçludan her birinin çıkış büyülüğünün giriş büyülüüğü cinsinden ifade eden kuvvet serilerinin bilinmesi gerekmektedir. Buna göre, baz akımı-ışaret kaynağının geriliği bağıntısı (3.28) ile

$$i_b = a_1 v_g + a_2 v_g^2 + a_3 v_g^3 + \dots$$

ve kolektör akımı-baz akımı bağıntısı (3.16) ile

$$i_c = b_1 i_b + b_2 i_b^2 + b_3 i_b^3 + \dots$$

tarzında birer kuvvet serisi ile ifade edildiğine göre,  $i_c$  kolektör akımı da  $v_g$  işaret gerilimine bağlı olarak,

$$i_c = c_1 v_g + c_2 v_g^2 + c_3 v_g^3 + \dots \quad (4.1)$$

gibi bir kuvvet serisi ile ifade edilebilir. (4.1) serisinin  $c$  kat sayılarının değerleri daha önceki serilerin  $a$  ve  $b$  katsayıları cinsinden hesaplanırsa,

$$c_1 = a_1 b_1$$

$$c_2 = a_2 b_1 + a_1^2 b_2 \quad (4.2)$$

$$c_3 = a_3 b_1 + 2a_1 a_2 b_2 + a_1^3 b_3$$

$$c_4 = a_4 b_1 + (a_2^2 + 2a_1 a_3) b_2 + 3a_1 a_2 b_3 + a_1^4 b_4$$

.

.

.

bulunur.  $a$  ve  $b$  katsayıları tranzistorun çalışma noktası ve dış çevre şartları ile belirli olduğuna göre, (4.1) deki serinin terimleri biliniyor demektir. Bunlar bilindiğinde ve  $v_g$  sinüs biçimli gerilim

olduğunda  $i_c$  akımında meydana gelecek harmonik distorsiyonu bölüm-2 de gösterildiği gibi hesaplanabilir.

(2.7) bağıntısına göre  $v_g$  tepe değeri  $V_{gm}$  olan sinüs biçimini bir gerilim ise  $i_c$  akımının ikinci harmonik distorsyon katsayısı

$$d_2 \approx \frac{\left(\frac{1}{2} c_2 + \frac{1}{2} c_4 V_{gm}^2 + \dots\right)}{\left(c_1 + \frac{3}{4} c_3 V_{gm}^2 + \dots\right)} V_{gm} \quad (4.3)$$

dır. Görüldüğü gibi ikinci harmonik distorsyonu  $V_{gm}$  genliğine bağlıdır.  $i_c = i_c(v_g)$  eğrisinin lineerlikten ayrılması azsa

$$c_2 \gg c_4 V_{gm}^2 \gg c_6 V_{gm}^4 \quad \text{ve} \quad c_1 \gg c_3 V_{gm}^2 \gg c_5 V_{gm}^4 \dots$$

alınarak ikinci harmonik distorsyonu için

$$d_2 \approx \frac{1}{2} \frac{c_2}{c_1} V_{gm} = \gamma_1 V_{gm} \quad (4.4)$$

yazılabilir. Açıklama EK:E de verilmiştir. (4.3) den de görüleceği gibi,  $V_{gm}$  genliği ne kadar küçükse (4.4) bağıntısının o kadar doğru olacağı da açıklır. Benzer tarzda daha yüksek mertebeden harmonik distorsyonu katsayıları da hesaplanabilir.

$$d_3 \approx \frac{1}{4} \frac{c_3}{c_1} V_{gm}^2 = \gamma_2 V_{gm}^2$$

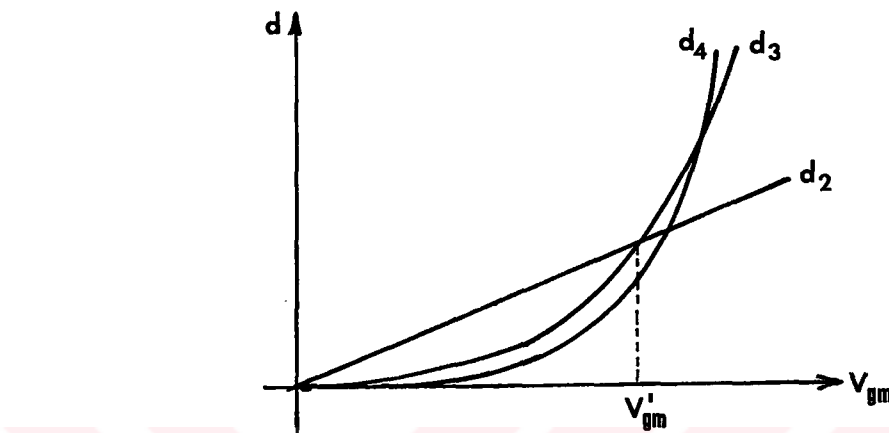
$$d_4 \approx \frac{1}{8} \frac{c_4}{c_1} V_{gm}^3 = \gamma_3 V_{gm}^3$$

.

.

Bulunan bu sonuçlara göre,  $d_2$ 'nin  $V_{gm}$ ,  $d_3$ 'ün  $V_{gm}^2$ ,  $d_4$ 'ün  $V_{gm}^3$  ile oranlı olduğu kolayca görülebilir. Çeşitli harmoniklerin, girişe uygulanış işaretin genliğine bağlı olarak değişimleri çizilecek olursa,

$d_2$ 'nin değişiminin doğrusal, diğerlerinin ise eğrisel olacaklarından  $d_2$  ile  $d_3$  bir  $V_{gm}$  noktasında birbirlerini keseceklerdir.  $d_2$ 'nin  $d_3$ 'e eşit olduğu bu  $V_{gm}$  genliğinden daha küçük genlikler için  $d_3$ ,  $d_2$  nin yanında oldukça küçüktür (Şekil-4.2).



Şekil-4.2 Harmoniklerin giriş işaretinin genliğine bağlı olarak değişimi

Ortak emetörlü tranzistorlu kuvvetlendiriciler üzerinde çeşitli devre şartları altında gerek deneysel ölçmelerden gerekse nümerik analiz yöntemiyle yahut bilgisayardan elde edilen sonuçlardan, genel olarak ikinci harmonik distorsyon miktarı, üçüncü ve daha yüksek mertebeden harmonik distorsyon miktarları yanında çok daha büyük olduğu görülmüştür. Örneğin "M 01" model parametreleri ile tanımlanan tranzistorle tasarlanmış bir kuvvetlendirici için elde edilen bilgisayar sonuçları Tablo-1.1 de verilmiştir. Buna göre  $V_{CEQ} = 12,5$  V ta ikinci harmonik distorsyonu  $d_2 = \% 4,3707718$  olmasına karşılık üçüncü harmonik distorsyonu  $d_3 = \% 0,789347$  dir. Tabloda gösterilmemesine rağmen diğerlerinin daha da küçük miktarlarda olacağı ( $d_4 = \% 0,02939 \dots$  gibi) açıklır. Toplam distorsyon  $d_T = \% 4,3714849$  olduğuna göre burada  $d_2$  nin baskın olduğu görülmektedir. Yine tek katlı tranzistorlu bir kuvvetlendirici üzerinde yapılan çeşitli ölçmelerden örneğin  $I_{CQ} = 12,5$  ta ikinci harmonik distorsyonu  $d_2 = -27$  dB(% 4,46683) ve diğerlerinin  $d_3 = -63$  dB(% 0,7079),  $d_T = -26,86$  dB(% 4,4629) mertebelерinde olduğu gözlenmektedir.

Tablo-1.1 Değişik  $V_{CEQ}$  lardaki distorsiyon miktarları

$I_{CQ}$	$V_{CEQ}$	$d_2(\%)$	$d_3(\%)$	Top.har.dis. (%)
2,5 mA	4 V	1,7886399	0,1630602	1,7966556
	7,5 V	2,8744235	0,0108454	2,87444475
	12,5 V	4,3707718	0,0789347	4,3714849

Bu bulunan sonuçlar gösteriyor ki, devrenin toplam distorsiyonunun azaltılması bakımından asıl üzerinde durulması gereken distorsiyon ikinci harmonik yani  $d_2$  distorsyonudur. Bu yüzden bundan sonra  $d_2$ 'nin minimum yapılması için gerekli şartlar aranacaktır. Gerçekten de, daha sonra görüleceği gibi,  $d_2$  yi minimum yapan devre şartları teorik olarak bulunduktan sonra, bu şartlar altında kurulan devrelerde toplam distorsyonun çok küçük değerlere indiği, hem nümerik analiz ve hem de deney sonuçlarından görülmüştür.

#### 4.2. İkinci Harmonik Distorsyonunun Minimum Olma Şartı

Ortak emetörlü tek tranzistorlu bir kuvvetlendirici  $R_g$  iç dirençli bir  $V_g$  kaynağı ile sürüldüğünde kolektör akımında dolayısıyle çıkış geriliminde harmoniklerin oluşacağı daha önceki bölümlerde analatılmıştır.  $d_2$ 'nin ifadesi kolektör akımının katsayıları cinsinden (4.4) bağıntısı ile verilmiştir. Bu bağıntıdaki  $c_1$  büyülüğu  $i_c = i_c(v_g)$  bağıntısının lineer teriminin katsayısidır ve M ile N model parametrelerini de hesaba katarak, tranzistorun geçiş eğrisinin çalışma noktasındaki eğimini vermektedir. Diğer deyişle, bu noktadaki eğim tranzistorun hem iç yapısı ve hem de dış devre şartları göz önüne alınarak hesaplanmaktadır.  $c_2$  katsayısı da aynı tarzda, tranzistora ve devre şartlarına bağlı bir büyülüktür. (4.4) bağıntısı, eğer devre şartları  $c_2 = 0$  olacak şekilde düzenlenirse çıkış gerilimindeki ikinci harmonik distorsyonunun ortadan kalkacağını göstermektedir.  $c_2$  katsayısının değeri (4.2) den

$$c_2 = a_2 b_1 + a_1^2 b_2$$

dır. (3.28) bağıntılarına göre,

$$a_1 = \frac{1}{\alpha'_1} = \frac{1}{\alpha_1 + R_g}$$

$$a_2 = -\frac{\alpha_2}{\alpha'_1} - \frac{1}{\alpha'_1^2} = -\frac{\alpha_2}{(\alpha_1 + R_g)^3}$$

olduğundan (4.2) bağıntısı,

$$c_2 = -\frac{\alpha_1}{(\alpha_1 + R_g)^3} b_1 + \frac{1}{(\alpha_1 + R_g)^2} b_2 \quad (4.5)$$

şeklinde hesaplanabilir. Buradan  $c_2 = 0$  olmasını sağlayan  $R_g$  değeri çözülebilir.

$$R_g = R_{g(opt)} = \alpha_2 \frac{b_1}{b_2} - \alpha_1 \quad (4.6)$$

Diğer taraftan (3.23) bağıntılarına göre,

$$\alpha'_1 = \frac{V_T}{I_{BQ}}$$

$$\alpha_2 = -V_T \frac{1}{2I_{BQ}^2} = -\frac{V_T}{I_{BQ}} \frac{1}{2I_{BQ}} = -\alpha'_1 \frac{1}{2I_{BQ}}$$

olduğu gözönüne alınarak (4.6) bağıntısı

$$\begin{aligned}
 R_g(\text{opt}) &= -\frac{1}{2} \frac{\alpha_1}{I_{BQ}} \frac{b_1}{b_2} - \alpha_1 \\
 &= -\alpha_1 \left( \frac{1}{2I_{BQ}} \frac{b_1}{b_2} + 1 \right) \quad (4.7)
 \end{aligned}$$

bulunur. (3.16) bağıntısının katsayıları

$$b_1 = \frac{1}{k_1}$$

$$b_2 = -\frac{k_2}{k_1} - \frac{1}{k_1^2}$$

$$b_2 = \left( 2 \frac{k_2^2}{k_1^2} - \frac{k_3}{k_1} \right) \frac{1}{k_1^3}$$

⋮  
⋮  
⋮

olduğuna göre  $b_1/b_2$  oranı, bu katsayılar cinsinden hesaplanırsa

$$\frac{b_1}{b_2} = -\frac{k_1^2}{k_2} \quad (4.8)$$

bulunur. (4.7) bağıntısında  $b_1/b_2$  yerine (4.8) deki değeri yerine konursa,

$$R_g(\text{opt}) = \alpha_1 \left( \frac{1}{2I_{BQ}} \frac{k_1^2}{k_2} - 1 \right) \quad (4.9)$$

bulunur. (4.9) bağıntısında  $k_1$ ,  $k_2$  ve  $\alpha_1$  nin değerleri (3.12) bağıntısının katsayılarından ve (3.24) bağıntılarından yararlanılarak

yerine konursa,

$$V_{CEQ} = (V_{CC} - I_{CQ} R_C)$$

ve

$$\alpha_1 = \frac{V_T}{I_{BQ}}$$

olmak üzere

$$k_1^2 = \left[ \frac{1 + MV_{CEQ}^N (1 + NR_C V_{CEQ}^{-1} I_{CQ})}{\beta_{FO} (1 + MV_{CEQ}^N)^2} \right]^2$$

$$k_2^2 = \frac{1}{2!} \frac{-MNV_{CEQ}^{N-1} R_C \left[ (N-1) R_C V_{CEQ}^{-1} I_{CQ} \right] \left[ \beta_{FO} (1 + MV_{CEQ}^N)^2 \right] + \left[ 2 \beta_{FO} MNR_C V_{CEQ}^{-1} (1 + MV_{CEQ}^N) \right] \left[ 1 + MV_{CEQ}^N (1 + NR_C V_{CEQ}^{-1} I_{CQ}) \right]}{\beta_{FO}^2 (1 + MV_{CEQ}^N)^4}$$

dır. Buna göre  $b_1/b_2$  oranı, yukarıdaki  $k_1$ ,  $k_2$  katsayıları cinsinden teşkil edilirse,

$$\frac{b_1}{b_2} = \frac{2 \left[ 1 + MV_{CEQ}^N (1 + NR_C V_{CEQ}^{-1} I_{CQ}) \right]^2}{(1 + MV_{CEQ}^N) \beta_{FO} MNR_C V_{CEQ}^{N-1} \left\{ -(N-1) R_C V_{CEQ}^{-1} I_{CQ} (1 + MV_{CEQ}^N) + 2 \left[ 1 + MV_{CEQ}^N (1 + R_C N V_{CEQ}^{-1} I_{CQ}) \right] \right\}} \quad (4.10)$$

bulunur. Bu değer (4.8) ifadesi gözönüne alınarak, (4.9) bağıntısında yerine konursa,

$$R_g(\text{opt}) = \frac{V_T}{I_{BQ}} \left\{ \frac{1}{I_{BQ}} \frac{\left[ 1 + MV_{CEQ}^N (1 + NR_C V_{CEQ}^{-1} I_{CQ}) \right]^2}{(1 + MV_{CEQ}^N) \beta_{FO} MNR_C V_{CEQ}^{N-1} \left\{ -(N-1) R_C V_{CEQ}^{-1} I_{CQ} (1 + MV_{CEQ}^N) + 2 \left[ 1 + MV_{CEQ}^N (1 + R_C N V_{CEQ}^{-1} I_{CQ}) \right] \right\}} - 1 \right\} \quad (4.11)$$

bulunur. (4.11) bağıntısından da görüleceği gibi, bir tranzistora ait  $M, N, \beta_{FO}$  parametreleri, dolayısıyle  $I_{SO}$  doyma akımı da bilindiği ve bir tranzistorla gerçekleştirilen devreye ait şartlar yani  $V_{CEQ}$ ,

$I_{CQ}$  dolayısıyle  $I_{BQ}$  bilindiğine göre bu şartları sağlayan  $R_C$  yük direncinin uçlarından elde edilen kolektör gerilimi veya akımındaki ikinci harmonik distorsyonunun sıfır olması için uygulanmış olan  $v_g$  işaret gerilimi kaynağının iç direnci (4.11) bağıntısıyla elde edilen değere eşit olmalıdır. Bu iç dirence seri gelen diğer dirençlerin de dahil olduğu daha önce belirtilmiştir. İncelenen devrede  $r_{bb}'$  baz gövdesi direncinin  $R_g(\text{opt})$  değerine dahil olduğu da bu arada hatırlanmalıdır. (4.11) bağıntısına ilişkin bilgisayar programı EK:B de verilmiştir.

(4.11) bağıntısı incelendiğinde, pay ve paydasındaki terimleri arasında  $R_C V_{CEQ}^{-1} I_{CQ}$  oranının bulunduğu görülür. Besleme gerilimi  $V_{CC}$  olduğuna göre çalışma noktasının  $V_{CEQ} = V_{CC}/2$  de seçildiği düşünülürse  $R_C V_{CEQ}^{-1} I_{CQ} = 1$  olacaktır ve bu durumda (4.11) bağıntısı kısalacaktır.

$$R_g(\text{opt}) = \frac{V_T}{I_{BQ}} \left\{ \frac{1}{I_{BQ}} \frac{\left[ 1 + MV_{CEQ}^N (1+N) \right]^2}{(1+MV_{CEQ}^N) \beta_{FO} MNR_C V_{CEQ}^{N-1} \left\{ -(N-1)(1+MV_{CEQ}^N) + 2 \left[ 1 + MV_{CEQ}^N (1+N) \right] \right\}^{-1}} \right\}^{-1} \quad (4.12)$$

Bunun dışında seçilen bir çalışma noktası için  $V_{CEQ}^{-1} R_C I_{CQ}$  oranı  $V_{CEQ}^{-1} R_C I_{CQ} \leq 1$  ve  $1 \leq V_{CEQ}^{-1} R_C I_{CQ}$  olabilir.  $V_{CEQ}^{-1} I_{CQ} R_C = Y$  denirse, (4.11) bağıntısı  $Y$  cinsinden

$$R_g(\text{opt}) = \frac{V_T}{I_{BQ}} \left\{ \frac{1}{I_{BQ}} \frac{\left[ 1 + MV_{CEQ}^N (1+YN) \right]^2}{(1+MV_{CEQ}^N) \beta_{FO} MNR_C V_{CEQ}^{N-1} \left\{ -(N-1)Y(1+MV_{CEQ}^N) + 2 \left[ 1 + MNV_{CEQ}^N (1+YN) \right] \right\}^{-1}} \right\}^{-1} \quad (4.13)$$

tarzında yazılabılır.

(4.11) bağıntısına giren parametrelerden herbiri teker teker ölçülebilir. N parametresi tranzistorun kolektör-baz jonksiyonun iki yanındaki katkı yoğunluklarının değişim kuralına bağlıdır ve değeri sert geçişli bir jonksiyon için  $1/2$ , lineer geçişli bir jonksiyon için  $(1-1/3)$  dır. N'in ya doğrudan ölçme yolu ile yada hesaplanarak belirlenmesi gerekmektedir. Bunun için önce ölçme yolu ile  $h_{oe}(V_{CE})$  eğrisinin çıkarılması veya katologlarda verilen aynı egriden

yararlanarak N parametresi hesaplanabilir.

$$\log h_{oe} = T + (N-1) \log V_{CE}$$

bağıntısı ile N hesaplanabilir. Keza M parametresinin de

$$M = \frac{I_{C2} - I_{C1}}{I_{C1} V_{CE2}^N - I_{C2} V_{CE1}^N}$$

bağıntısı ile hesaplanabilecegi gösterilmiştir [8].  $\beta_{FO}$  ve  $I_{SO}$  parametreleri için ölçme yöntemleri de bilinmektedir [12]. Örnek olarak M139T tipi tranzistor için  $\beta_{FO} = 206$ ,  $M = 0.030$ ,  $I_{SO} = 0.172E-13$ ,  $N = 0.464$  bulunmuştur.

(4.11) bağıntısına etki eden büyüklüklerden biri de  $I_{BQ}$  baz akımıdır. Kolektöründen  $I_{CQ}$  akımı akacak şekilde kutuplanmış tranzistorun bazından akan akımı en basit olarak

$$I_{BQ} = \frac{I_{CQ}}{\beta_F} \quad (4.14)$$

bağıntısından hesaplamak mümkündür. Ancak tranzistorların  $\beta_F$  lerinin "dağılımı" oldukça büyütür. Bu yüzden belirli bir çalışma noktası için katalog yardımı ile bulunacak  $I_{BQ}$  değerinden oldukça farklı olabilir.

Diğer taraftan  $\beta_F$ ,

$$\beta_F = \beta_{FO} (1 + MV_{CE}^N) \quad (4.15)$$

bağıntısı ile belli olduğundan [8],  $I_{BQ}$  nün

$$I_{BQ} = \frac{I_{CQ}}{\beta_{FO} (1 + MV_{CEQ}^N)} \quad (4.16)$$

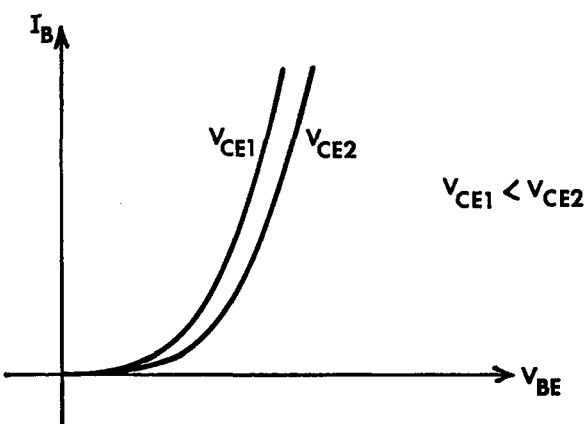
bağıntısı ile bulunması, M,N parametrelerini de içerdiginden ve ayrıca çalışma noktasına ilişkin  $V_{CE}$  gerilimine göre hesaplanması dolayı

da (4.14) bağıntısına göre daha doğru sonuç verecektir. Çünkü (4.15) bağıntısından da görüleceği gibi  $\beta_F$ , M, N ve  $V_{CE}$  ye bağlı bir büyükür. Diğer deyişle  $\beta_F$  tranzistora ve çalışma noktasındaki  $V_{CE}$  ye göre presizyonlu olarak hesaplanmaktadır. Böylece yukarıda sözü edilen "dağılım" da gözönüne alınırsa, hesap sonucu bulunan  $I_{BQ}$  nün gerçek değeri ise ancak ölçme yolu ile belirlenebilir. (4.16) bağıntısıyla elde edilen sonucun, ölçme yolu ile elde edilen sonuca yakın olacağını açıklar.

Diger taraftan  $I_B$  baz akımı, baz-emetör arasındaki  $V_{BE}$  gerilimine,  $V_{CE}$  parametre olmak üzere,

$$I_B = \frac{I_{so}}{\beta_{Fo}} e^{\frac{V_{BE}}{V_T}} + \frac{I_{so}}{\beta_R} e^{\frac{V_{CE}}{V_T}} e^{\frac{V_{BE}}{V_T}}$$

bağıntısı ile bağlıdır. Bu bağıntıda  $V_{CE}$  terimi vardır ve  $I_B = I_B(V_{BE})$  eğrileri,  $V_{CE}$  nin aldığı değere bağlı olarak Şekil-4.3 de görüldüğü gibi ötelenmektedir [8]. Daha sonra görüleceği gibi  $I_B$  baz akımının  $V_{BE}$  ile değişimini veren ifadenin pay ve paydasında bulunan  $V_{CE}$  li terimler birbirini götürdüğünden  $I_B$  baz akımının  $V_{CE}$  ye göre pek etkilenmediği kabul edilebilir.



Şekil-4.3.  $V_{CE}$  parametre olmak üzere  $I_B$  nin  $V_{BE}$  ye göre değişimi

Ancak  $I_B = f(I_C, V_{CE})$  bağıntısında  $I_B$  nin  $I_C$  ye göre değişiminde  $V_{CE}$  nin etkili olacağı kolayca görülebilir.

#### 4.3. Karşılaştırma

1. Bu konuda daha önce yapılan çalışmada [4], ikinci harmonik distorsyonunu minimum yapan optimum  $R_g$  direnci için bulunan bağıntı iki önemli nedenden dolayı yetersiz kalmaktadır. İlk olarak bağıntı çıkarılırken çıkış özeğrilerinde parametre olarak alınan  $I_B$  sabit baz akımı eğrilerinin doğrusal olarak değiştiği kabul edilmiştir. Diğer deyişle bağıntı geometrik bir yaklaşımla hareket edilerek çıkarılmıştır. Sabit  $I_B$  eğrilerinin  $V_{CEmin}$  dan  $V_{CC}$  ye kadar eğimlerinin sabit kaldığı varsayımdan yola çıkılmıştır. Halbuki sabit  $I_B$  baz akımları doğrusal olarak değil fakat eğrisel olarak değişmektedir. Dolayısıyle bu eğrisellik, çıkarılan (4.11) bağıntısında hesaba katılmıştır. İkinci olarak bu bağıntı kullanılırken,  $I_B$  nin ayrıca hesaplanması gerekmekte ve burada da geometrik yaklaşım kullanılmaktadır. Gerçi çıkarılan (4.11) bağıntısında da  $I_B$  baz akımı ayrıca hesaplanmakta ise de, gerçeğe daha yakın olan  $I_B = f(I_C, V_{CE})$  bağıntısı kullanılarak  $V_{CE}$  nin etkisi gözönüne alınmaktadır.

2. Sözkonusu yayındaki [4] bağıntı kullanıldığından ve çeşitli çalışma noktalarına ilişkin  $R_{g(opt)}$  direnci hesaplanmak istendiğinde, her çalışma noktası için  $\beta_F = f(I_C)$  eğrilerine bakmak ve o noktaya ilişkin  $\beta_F$  yi tayin etmek gerekmektedir. Halbuki o tranzistorun sadece  $\beta_{Fo}$  değerini bilmek yetmektedir. Bundan faydalananak diğer çalışma noktalarına ilişkin kısa devre akım kazancı ( $\beta_F$ ),  $\beta_{Fo}(1+MV_{CE}^N)$  bağıntısıyla kolaylıkla bulunmaktadır. Böylece çeşitli çalışma noktalarına ilişkin optimum direnç kolayca hesaplanabilmektedir.

#### 3. Baz akımı ile kolektör akımı arasında

$$I_B = \frac{I_C}{\beta_{Fo}(1+MV_{CE}^N)}$$

bağıntısının olduğu gösterildiği ve M,N parametreleri Early olayına ilişkin parametreler olduklarına göre [8] , (4.11) bağıntısıyla  $R_{g(opt)}$  direncinin değeri presizyonlu olarak hesaplanabilir. Böyle olduğu daha sonraki bölümde verilecek olan nümerik analiz ve teorik sonuçların karşılaştırılmasından da görülecektir.

4. Yine daha önce yapılan çalışmada optimum  $R_g$  direnci hesaplanırken iki noktada yani  $V_{CEmin}$  ve  $V_{CEQ}$  da kısa devre akım kazancının ( $\beta_F$ ) bulunması gerekmektedir. Bu değerler eğriden yararlanarak bulunduğundan, hata yapma olasılığı oldukça büyüktür. Yine burada  $g_{oo}$  büyülüğu hesaplanırken gerçek değere göre bir miktar hata yapılmaktadır. ( $g_{oo}$ , [4] te çıkış iletkenliği için kullanılan notasyondur.)

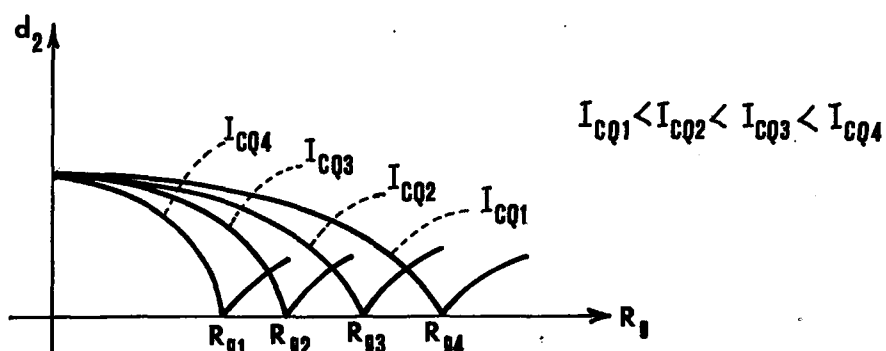
5. (4.11) bağıntısında bulunan  $V_{CEQ}^{-1} I_{CQ} R_C$  terimi ele alındığında, bu oranın bire eşit olması, başka deyişle

$$V_{CEQ}^{-1} I_{CQ} R_C = 1$$

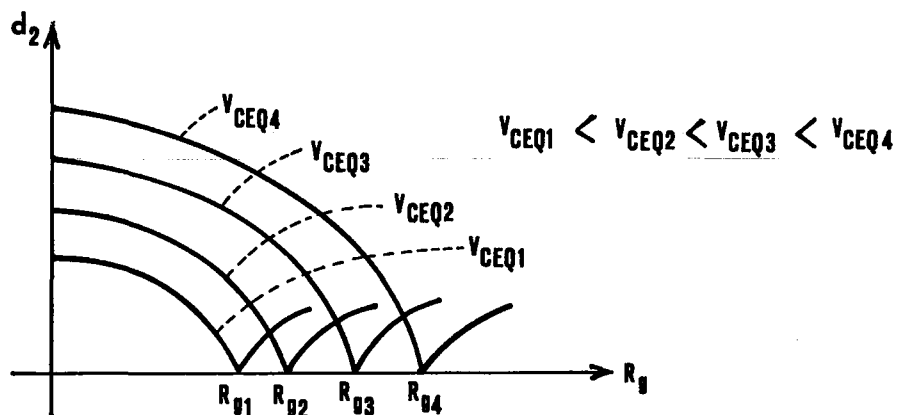
olması durumunda bağıntı (4.12) haline gelmektedir.  $V_{CEQ}^{-1} I_{CQ} R_C$  oranının  $1 < V_{CEQ}^{-1} R_C I_{CQ}$  veya  $V_{CEQ}^{-1} R_C I_{CQ} < 1$  olması durumunda optimum  $R_g$  direncinin değerinin değişeceğini göstermektedir.

6. Bundan sonraki bölümde görüleceği gibi (4.11) bağıntısı ile çalışma noktasına ilişkin çeşitli akım değerleri ve çeşitli gerilim değerleri için optimum  $R_g$  direnci kolaylıkla hesaplanabilmektedir. Halbuki bu konuda yapılan çalışmada elde edilen bağıntı ile yapılan hesaplama aynı kolaylıkta olmamaktadır.

7. Gerek deneysel gerekse nümerik analiz yöntemiyle elde edilen sonuçlara göre, eğer belirli bir çalışma noktasında  $V_{CEQ}$  sabit tutulup çeşitli akımlar için ikinci harmonik distorsyonunun  $R_g$  kaynak direnci ile değişimi Şekil-4.4 de ve  $I_{CQ}$  sabit tutulup çeşitli  $V_{CEQ}$  lar için ikinci harmonik distorsyonunun  $R_g$  kaynak direnci ile değişimi Şekil-4.5 de verilmiştir.



Şekil-4.4  $V_{CEQ}$  gerilimi sabit tutularak  $d_2$  nin  $R_g$  ye bağlı olarak değişimi



Şekil-4.5  $I_{CQ}$  akımı sabit tutularak  $d_2$  nin  $R_g$  ye bağlı olarak değişimi

Şekil-4.4 ve Şekil-4.5 deki eğriler karşılaştırıldığında distorsyon miktarının  $V_{CEQ}$  ile yakından ilgili olduğu görülecektir.

#### 4.4. Nümerik Analiz ve Hesap Sonuçları

Bir tranzistorla tasarlanmış bir devre üzerinde nümerik analiz yöntemi [25], [26] diğer deyle bilgisayar yardımıyla yapılan deneylerde, harmonik distorsiyonu analizi yapılmış ve ikinci harmonik distorsiyonunun minimum olduğu kaynak direnç değerleri aranmıştır. Bilgisayar programları olarak TIME 1 [13] ve HALSEN [14] kullanılmıştır.  $V_{CEQ} = 12,5$  Voltta sabit tutularak kolektör akımı değiştirilmiştir (Tablo-4.1).

Tablo-4.1 Nümerik analiz yöntemi kullanılarak elde edilen bilgisayar sonuçları

$V_{CEQ}$	$I_{CQ}$	$I_{BQ}$	$R_{gopt}$ (Bilgisayar Sonucu)	$d_2 \%$
12,5 V	1 mA	4,59 $\mu$ A	92,5 K $\Omega$	0,0027
	1,5 mA	7,73 $\mu$ A	52,5 K $\Omega$	0,00202
	2,5 mA	11,48 $\mu$ A	31,250 K $\Omega$	0,00228
	6 mA	27,76 $\mu$ A	11,5 K $\Omega$	0,00161
	11 mA	51,90 $\mu$ A	6,375 K $\Omega$	0,00032

(4.11) bağıntısı kullanılarak yapılan hesaplarda elde edilen sonuçlar Tablo-4.2 de verilmiştir. Karşılaştırma yapabilmek için tranzistor aynı çalışma şartlarında tutulmuştur.

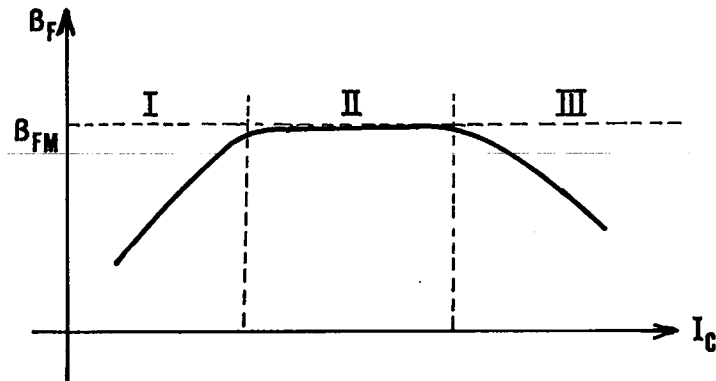
Tablo-4.2 (4.11) analitik bağıntısı kullanılarak elde edilen teorik sonuçlar

$V_{CEQ}$	$I_{CQ}$	$I_{BQ}$	$R_g(\text{opt})$ (Hesap Sonucu)
12,5 V	1 mA	4,42 $\mu$ A	53,63 k $\Omega$
	1,5 mA	6,64 $\mu$ A	37,57 k $\Omega$
	2,5 mA	11,06 $\mu$ A	21,41 k $\Omega$
	6 mA	26,55 $\mu$ A	9,39 k $\Omega$
	11 mA	48,68 $\mu$ A	5,72 k $\Omega$

Tablo-4.1 deki ve Tablo-4.2 deki değerler karşılaştırıldığında, çıkarılan analitik bağıntı kullanılarak elde edilen diğer deyişle hesap sonucusu elde edilen direnç değerleri ile nümerik analiz yöntemi kullanılarak elde edilen yani bilgisayarla elde edilen optimum direnç değerleri büyük akımlarda birbirlerine oldukça yakındır. Ancak kolektör akımının değeri azaldıkça, ayrı yöntemlerle elde edilen optimum direnç değerleri arasındaki farkın gittikçe arttığı görülmektedir. Çalışma noktasına ilişkin kolektör akımı bilindiğine ve bundan yararlanarak baz akımı hesaplandığına göre ve temelde birbirlerine  $\beta_F$  ile bağlı olduklarına göre,  $\beta_F$  in kolektör akımına bağımlılığında bir eksiklik göze çarpmaktadır. Kolektör akımının belli değerleri arasındaki bölgeye ilişkin  $\beta_F$  in değeri referans alınacak olursa, bu akımın dışındaki değerlerine ilişkin  $\beta_F$  in referansa göre farklı değiştiği sonucu ortaya çıkmaktadır. O halde  $\beta_F$  in kolektör akımı ile nasıl değiştiğini inceleyelim.

#### 4.5. Akım Kazancı $\beta_F$ in $I_C$ Kolektör Akımı İle Değişimi

Bir bipolar tranzistorun  $\beta_F$  akım kazancının  $I_C$  kolektör akım ile değişimi ele alındığında üç ayrı bölge sözkonusu olmaktadır.  $\beta_F$  in  $I_C$  kolektör akımı ile değişimi Şekil-4.6 da verilmiştir.



Şekil-4.6. Akım kazancının kolektör akımına bağlı değişimi

Bu bölgeler, küçük akımlar bölgesi (I), orta akımlar bölgesi (II) ve büyük akımlar bölgesi (III) olarak ayrılabilir. (I) ile gösterilen küçük akımlar bölgesinde,  $I_C$  akımının artmasıyla birlikte  $\beta_F$  in de değeri artmaktadır. (II) ile gösterilen orta akımlar bölgesinde  $\beta_F$  in  $\beta_{FM} = \beta_{FO} (1 + M V_{CE}^N)$  değerinde sabit kaldığı görülmektedir. (III) ile gösterilen büyük akımlar bölgesi ise  $\beta_F$  kısa devre akım kazancının daha da arttırılmasıyla azalduğu bölgedir. Bilindiği gibi bir transistorda birbirinden bağımsız olaylar  $\beta_F$  in  $I_C$  ile Şekil-4.6 daki gibi değişim göstermesine sebep olmaktadır. Küçük akımlar bölgesindeki azalmaya "Sah-Noyce-Schokley" olayı, büyük akımlar bölgesindeki azalmaya ise "Webster" ve "Kirk" olayları neden olmaktadır [15], [16], [17], [18], [24].

Tasarlanan devre, aktif bölgede genellikle küçük ve orta akımlarda çalıştırılmaktadır. Bu yüzden şimdilik sadece (I) ve (II) bölgeleri incelenecuk, daha sonra sırası geldiğinde (III) bölgesi ele alınacaktır. (I) ve (II) bölgelerini içine alan bağıntı aşağıdaki gibi yazılabılır [18].

$$I_B = \frac{I_{so} \left( 1 + \frac{M}{2} V_{CE}^N \right)}{\beta_{FO} \left( 1 + M V_{CE}^N \right)} \frac{\frac{V_{BE}}{V_T}}{e + C_2 I_{so}} \frac{\frac{V_{BE}}{n_{EL} \cdot V_T}}{e} \quad (4.17)$$

(4.17) bağıntısının birinci teriminde bulunan parantez içindeki ifadeler yaklaşık olarak birbirlerine eşit olacak kadar yakın değerde olduklarından aynı bağıntı

$$I_B = \frac{I_{so}}{\beta_{Fo}} e^{\frac{V_{BE}}{V_T}} + C_2 I_{so} e^{\frac{V_{BE}}{n_{EL} \cdot V_T}}$$

$$I_B = I'_s e^{\frac{V_{BE}}{V_T}} + I''_s e^{\frac{V_{BE}}{n_{EL} \cdot V_T}} \quad (4.18)$$

haline gelir. Burada  $I'_s = I_{so}/\beta_{Fo}$ ,  $I''_s = C_2 I_{so}$  dır. Yani  $I'_s$  ve  $I''_s$  doyma akımları tranzistorun doyma akımları cinsinden ifade edilmektedir. (4.18) bağıntısından görüleceği gibi  $I_B$  akımına  $C_2$  ve  $n_{EL}$  parametreleri etki etmektedir.  $n_{EL}$  sabitine "küçük akımlar bölgesi için ileri yönde emisyon katsayısı" ve  $C_2$  sabitine de "Sah-Noyce-Schockley" sabiti adı verilmektedir. O halde problem  $I_B$  baz akımı bilindiğine göre buna ilişkin  $V_{BE}$  baz geriliminin bulunmasıdır.

#### 4.6. Baz-Emetör ( $V_{CE}$ ) Geriliminin Baz Akımı ( $I_B$ ) ye bağlı olarak bulunması

Devrenin dış şartları ( $V_{CE}$ ,  $I_C$ ) belli olduğuna göre yani  $I_{CQ}$  kolektör akımı bilindiğine göre,

$$I_{BQ} = \frac{I_{CQ}}{\beta_{Fo} (1 + M V_{CEQ}^N)}$$

bağıntısından  $I_B$  baz akımı hesaplanabilir.  $I_B$  akımı bilindiğine göre (4.18) bağıntısında yerine konur ve  $n_{EL} = 2$  alınırsa [19]

$$I'_s e^{\frac{V_{BE}}{V_T}} + I''_s e^{\frac{V_{BE}}{2V_T}} - I_B = 0 \quad (4.19)$$

bulunur. (4.19) bağıntısında

$$\frac{V_{BE}}{e^{\frac{V_T}{2}} - u^2} \quad (4.20)$$

dönüşümü yapıldığında

$$\frac{V_{BE}}{2e^{\frac{V_T}{2}}} = u \quad (4.21)$$

olur ve (4.19) bağıntısında yerine konursa

$$I_s' u^2 + I_s'' u - I_B = 0$$

$$u^2 + \frac{I_s''}{I_s'} u - \frac{I_B}{I_s'} = 0$$

$$u^2 + s_1 u - s_2 = 0 \quad (4.22)$$

halini alır. Burada  $s_1 = I_s''/I_s'$  ve  $s_2 = I_B/I_s'$  dir. (4.22) bağıntısı ikinci dereceden bir denklem olduğundan kökleri bulunabilir:

$$u_{1,2} = \frac{-s_1 \pm \sqrt{s_1^2 - 4s_2}}{2}$$

$$u_{I,2} = \frac{-C_2 I_{so} \pm \sqrt{C_2^2 I_{so}^2 + 4I_B \frac{I_{so}}{\beta_{Fo}}}}{2 \frac{I_{so}}{\beta_{Fo}}} \quad (4.23)$$

den biri reel olmak üzere iki tane kök bulunur. Diğer taraftan (4.20) bağıntısında  $V_{BE}$  yalnız bırakılırsa

$$V_{BE} = V_T \ln u^2 \quad (4.24)$$

bulunur. Yukarıda bulunan  $u_1$  nun değeri (4.24) de yerine konursa o çalışma noktasındaki  $I_{BQ}$  ya ilişkin  $V_{BEQ}$  bulunur.

4.7. Akım Kazancı  $\beta_F$  in Kolektör Akımı  $I_C$  ile Değişiminin Optimum Kaynak Direncini ( $R_g$ ) Veren (4.11) Bağıntısının Kapsamına Alınması

(4.4) ve (4.5) bölümlerinden de anlaşılacağı gibi, gerek hesap sonucu gerekse nümerik analiz sonucu bulunan optimum kaynak direnç değerleri arasındaki farkın, çalışma noktasındaki kolektör akımının değerinin küçülmesiyle birlikte daha da büyümesi, kısa devre akım kazancı  $\beta_F$  in akımla değişmesinden ileri gelmektedir.

(4.18) bağıntısı tekrar ele alınıp  $n_{EL}$  parametresinin değeri yerine konursa,

$$I_B = I_s' e^{\frac{V_{BE}}{V_T}} + I_s'' e^{\frac{V_{BE}}{2V_T}}$$

elde edilir.  $V_{BE}$  gerilimi Q çalışma noktası civarında  $v_{be}$  kadar değiştirilirse

$$I_{BQ} + i_b = I_s' e^{\frac{V_{BEQ} + v_{be}}{V_T}} + I_s'' e^{\frac{V_{BEQ} + v_{be}}{2V_T}}$$

$$i_B = I_s' e^{\frac{V_{BE}}{V_T}} + I_s'' e^{\frac{V_{BE}}{2V_T}} \quad (4.25)$$

olur. Bu bağıntı Q noktası civarında Taylor serisine açılırsa,

$$i_B(V_{BEQ} + v_{be}) = \left[ I_s' e^{\frac{V_{BE}}{V_T}} + I_s'' e^{\frac{V_{BE}}{2V_T}} \right] + \frac{1}{1!} \left[ I_s' \frac{1}{V_T} e^{\frac{V_{BE}}{V_T}} + I_s'' \frac{1}{2V_T} e^{\frac{V_{BE}}{2V_T}} \right] \cdot v_{be}$$

$$v_{BE} = V_{BEQ}$$

$$v_{BE} = V_{BEQ}$$

$$\begin{aligned}
 & + \frac{1}{2!} \left[ \frac{I'_s}{V_T^2} e^{\frac{V_{BE}}{V_T}} + \frac{I''_s}{4V_T^2} e^{\frac{V_{BE}}{2V_T}} \right] \cdot v_{be}^2 + \frac{1}{3!} \left[ \frac{I'_s}{V_T^3} e^{\frac{V_{BE}}{V_T}} + \frac{I''_s}{8V_T^3} e^{\frac{V_{BE}}{2V_T}} \right] \cdot v_{be}^3 \\
 & \quad v_{BE} = V_{BEQ} \qquad \qquad \qquad v_{BE} = V_{BEQ} \\
 & + \frac{1}{4!} \left[ \frac{I'_s}{V_T^4} e^{\frac{V_{BE}}{V_T}} + \frac{I''_s}{16V_T^4} e^{\frac{V_{BE}}{2V_T}} \right] \cdot v_{be}^4 + \frac{1}{5!} \left[ \frac{I'_s}{V_T^5} e^{\frac{V_{BE}}{V_T}} + \frac{I''_s}{32V_T^5} e^{\frac{V_{BE}}{2V_T}} \right] \cdot v_{be}^5 + \dots \\
 & \quad v_{BE} = V_{BEQ} \qquad \qquad \qquad v_{BE} = V_{BEQ}
 \end{aligned}$$

elde edilir. Diğer taraftan

$$I_{BQ} = I'_s e^{\frac{V_{BEQ}}{V_T}} + I''_s e^{\frac{V_{BEQ}}{2V_T}} \quad (4.26)$$

olduğundan baz akımının değişken kısmı için

$$i_b = \alpha_1 v_{be} + \alpha_2 v_{be}^2 + \alpha_3 v_{be}^3 + \alpha_4 v_{be}^4 + \alpha_5 v_{be}^5 + \dots \quad (4.26A)$$

elde edilir. (Bu serinin yakınsaklık koşulu EK:E de verilmiştir).

Bu bağıntıda katsayılar

$$\alpha_1 = \frac{I'_s}{V_T} e^{\frac{V_{BEQ}}{V_T}} + \frac{I''_s}{2V_T} e^{\frac{V_{BEQ}}{2V_T}}$$

$$\alpha_2 = \frac{1}{2!} \frac{I'_s}{V_T^2} e^{\frac{V_{BEQ}}{V_T}} + \frac{I''_s}{4V_T^2} e^{\frac{V_{BEQ}}{2V_T}} \quad (4.27)$$

$$\begin{aligned}
 \alpha_3 &= \frac{1}{3!} \frac{I'_s}{V_T^3} e^{\frac{V_{BEQ}}{V_T}} + \frac{I''_s}{8V_T^3} e^{\frac{V_{BEQ}}{2V_T}} \\
 &\vdots
 \end{aligned}$$

tarzında hesaplanır. (4.26) bağıntısında  $i_b$  akımı,  $v_{be}$  nin fonksiyonu olarak ifade edilmektedir. Bu bağıntının tersini elde etmek mümkündür.  $v_{be}$  gerilimi  $i_b$  akımı cinsinden ifade edilirse,

$$v_{be} = \alpha'_1 i_b + \alpha'_2 i_b^2 + \alpha'_3 i_b^3 + \alpha'_4 i_b^4 + \alpha'_5 i_b^5 + \dots \quad (4.28)$$

bulunur ki bu bağıntıda geçen  $\alpha'_1, \alpha'_2, \dots$  katsayıları

$$\alpha'_1 = \frac{1}{\alpha_1}$$

$$\alpha'_2 = -\frac{\alpha_2}{\alpha_1} \left(\frac{1}{\alpha_1}\right)^2$$

(4.29)

$$\alpha'_3 = \left[ -\frac{\alpha_3}{\alpha_1} + 2 \left( \frac{\alpha_2}{\alpha_1} \right)^2 \right] \left( \frac{1}{\alpha_1} \right)^3$$

$$\alpha'_4 = \left[ -\frac{\alpha_4}{\alpha_1} + 5 \left( \frac{\alpha_2 \alpha_3}{\alpha_1^2} \right) - 5 \left( \frac{\alpha_2}{\alpha_1} \right)^3 \right] \left( \frac{1}{\alpha_1} \right)^4$$

.

.

.

olarak bulunabilir.

Bölüm 3 de Şekil-3.8 için yazılan (3.25) bağıntısında yerine (4.28) de bulunan değeri konursa,

$$v_g = i_b R_g + v_{be}$$

$$v_g = i_b R_g + \alpha'_1 i_b + \alpha'_2 i_b^2 + \alpha'_3 i_b^3 + \alpha'_4 i_b^4 + \alpha'_5 i_b^5 + \dots$$

$$v_g = (R_g + \alpha'_1) i_b + \alpha'_2 i_b^2 + \alpha'_3 i_b^3 + \alpha'_4 i_b^4 + \alpha'_5 i_b^5 + \dots \quad (4.30)$$

bulunur. Görüldüğü gibi (4.30) bağıntısı  $v_g$  kaynak gerilimini kaynak akımı cinsinden ifade etmektedir. Non-lineer olan bu bağıntının tersi de "non-lineer"dir ve

$$i_b = \ell_1 v_g + \ell_2 v_g^2 + \ell_3 v_g^3 + \ell_4 v_g^4 + \ell_5 v_g^5 + \dots \quad (4.31)$$

şeklinde olacaktır. Buradaki katsayılar

$$\ell_1 = \frac{1}{R_g + \alpha'_1}$$

$$\ell_2 = -\frac{\alpha'_2}{(R_g + \alpha'_1)} \left( \frac{1}{R_g + \alpha'_1} \right)^2 \quad (4.32)$$

$$\begin{aligned} \ell_3 &= \left[ -\frac{\alpha'_3}{R_g + \alpha'_1} + 2 \left( \frac{\alpha'_2}{R_g + \alpha'_1} \right)^2 \right] \left( \frac{1}{R_g + \alpha'_1} \right)^3 \\ &\vdots \end{aligned}$$

dir. (4.31) serisi daha önce 3.bölümde bulunan (3.16) kuvvet serisi ile çarpılırsa,

$$i_c = c_1 v_g + c_2 v_g^2 + c_3 v_g^3 + \dots$$

bulunur. Bu bağıntıdaki katsayılar

$$c_1 = \ell_1 b_1$$

$$c_2 = \ell_2 b_1 + \alpha'_1 b_2$$

$$c_3 = \ell_3 b_1 + 2\ell_1 \ell_2 b_2 + \ell_1^3 b_3$$

.

.

.

dir. Bu bölümün 2.kısmında yapıldığı gibi, ikinci harmonik distorsiyonun sıfır olması için

$$c_2 = \ell_2 b_1 + \ell_2^2 b_2 = 0$$

olmalıdır.  $\ell_1$  ve  $\ell_2$  katsayılarının yerine (4.29) ve (4.32) bağıntıları  
rûndan yararlanılarak değerleri konursa,

$$c_2 = - \frac{\alpha'_2}{(R_g + \alpha'_1)^3} b_1 + \frac{1}{(R_g + \alpha'_1)^2} b_2$$

$$\frac{\alpha'_2}{(R_g + \alpha'_1)^3} b_1 = \frac{1}{(R_g + \alpha'_1)^2} b_2$$

$$\frac{\alpha'_2}{(R_g + \alpha'_1)} b_1 = b_2$$

$$\frac{\alpha'_2}{R_g + \alpha'_1} b_1 = b_2$$

$$\alpha'_2 \frac{b_1}{b_2} = (R_g + \alpha'_1)$$

$$R_g(\text{opt}) = \alpha'_2 \frac{b_1}{b_2} - \alpha'_1 \quad (4.33)$$

bulunur. Diğer taraftan (4.33) bağıntısında (4.33) yerine  $\alpha'_2$  yerine

$$\alpha'_2 = - \frac{\alpha'_2}{\alpha'_1} \alpha'_1$$

konursa

$$R_g(\text{opt}) = \alpha'_1 \left( - \frac{\alpha'_2}{\alpha'_1} - \frac{b_1}{b_2} - 1 \right) \quad (4.34)$$

bulunur. (4.27) bağıntılarından yararlanılarak  $\alpha_2$  ve  $\alpha_1$  katsayılarının değerleri (4.34) bağıntısında yerine konursa,

$$R_g(\text{opt}) = \alpha'_1 \left[ -\frac{\frac{1}{2} \frac{1}{V_T^2} \left( I_s' e^{\frac{V_{BEQ}}{V_T}} + I_s'' e^{-\frac{V_{BEQ}}{2V_T}} \right)}{\frac{1}{V_T^2} \left( I_s' e^{\frac{V_{BEQ}}{V_T}} + I_s'' e^{-\frac{V_{BEQ}}{2V_T}} \right)^2} \cdot \frac{b_1}{b_2} - 1 \right] \quad (4.35)$$

bulunur. Bu son bağıntıda  $\alpha'_1$  katsayısının yerine (4.27) ve (4.29) bağıntılarından yararlanılarak değeri yerine konursa,

$$R_g(\text{opt}) = \frac{V_T}{\left( \frac{V_{BEQ}}{V_T} + \frac{I_s''}{e^{\frac{V_{BEQ}}{2V_T}}} \right)} \left[ \frac{\frac{1}{2} \frac{V_{BEQ}}{V_T} \frac{V_{BEQ}}{2V_T}}{\left( \frac{V_{BEQ}}{V_T} + \frac{I_s''}{e^{\frac{V_{BEQ}}{2V_T}}} \right)^2} \left( -\frac{b_2}{b_1} \right) - 1 \right] \quad (4.36)$$

bulunur. (4.36) bağıntısında  $I_s'$  ve  $I_s''$  sırasıyla  $I_{so}/\beta_{Fo}$  ve  $C_2 I_{so}$  konursa ve gerekli kısaltmalar yapılırsa,

$$R_g(\text{opt}) = \frac{V_T}{\frac{V_{BEQ}}{V_T} I_{so} \left( \frac{1}{\beta_{Fo}} + C_2 \frac{1}{2} e^{-\frac{V_{BEQ}}{2V_T}} \right)} \left[ \frac{\frac{1}{2} \frac{1}{I_{so}} \left( \frac{1}{\beta_{Fo}} + \frac{C_2}{4} e^{-\frac{V_{BEQ}}{2V_T}} \right)}{\left( \frac{1}{\beta_{Fo}} + C_2 \frac{1}{2} e^{-\frac{V_{BEQ}}{2V_T}} \right)^2} \left( -\frac{b_2}{b_1} \right) - 1 \right] \quad (4.37)$$

bulunur. Böylece bu son bulunan bağıntı ile orta ve küçük akımlar bölgesinde  $\beta_{Fo}$  kısa devre akım kazancının akımla değişmesinden ileri gelen

mahsur ortadan kaldırılmaktadır. Devre orta ve küçük akımlarda minimum distorsiyonlu olmak üzere tasarlandığında optimum  $R_g$  sürücü kaynak direnci bu analitik ifade yardımıyla hesaplanabilir.

(4.37) bağıntısında  $C_2$  Sah-Noyce-Schokley sabiti sıfır yapılacak olursa ve  $b_1/b_2$  oranının (4.10) da bulunan değeri yerine konursa,

$$R_g(\text{opt}) = \frac{V_T}{I_{BQ}} \left\{ \frac{1}{I_{BQ} \left( 1 + MV_{CEQ}^N \right) \beta_{Fo} MNR_C V_{CEQ}^{N-1} \left[ - (N-1) R_C V_{CEQ}^{-1} I_{CQ} (1 + MV_{CEQ}^N) + 2 \left[ 1 + MV_{CEQ}^N (1 + R_C N V_{CEQ}^{-1} I_{CQ}) \right] \right]} \right\}^{-1}$$

bağıntısı elde edilirki, bu da bu bölümün 2.kısımında elde edilen bağıntının aynısıdır. Yine  $b_1/b_2$  oranının (4.10) da bulunan değeri (4.37) bağıntısında yerine konursa,

$$R_g(\text{opt}) = \frac{V_T}{\frac{V_{BEQ}}{\frac{V_T}{e I_{so} E}}} \left[ \frac{1}{\frac{V_{BEQ}}{\frac{V_T}{e I_{so}}}} - \frac{D}{E^2} \cdot \frac{(1+A)^2}{(B+C)} - 1 \right] \quad (4.38)$$

bulunur. Bu bağıntıda,

$$A = MV_{CEQ}^N (1 + NR_C V_{CEQ}^{-1} I_{CQ})$$

$$B = -MNV_{CEQ}^{N-1} R_C \left[ (N-1) R_C V_{CEQ}^{-1} I_{CQ} \right] \left[ \beta_{Fo} (1 + MV_{CEQ}^N)^2 \right]$$

$$C = \left[ 2\beta_{Fo} MNR_C V_{CEQ}^{N-1} (1 + MV_{CEQ}^N) \right] \left[ 1 + MV_{CEQ}^N (1 + NR_C V_{CEQ}^{-1} I_{CQ}) \right]$$

$$D = D1 + C_2 D2 = \frac{1}{\beta_{Fo}} + \frac{C_2}{4} e - \frac{V_{BEQ}}{2V_T}$$

$$E = E1 + C_2 E2 = \frac{1}{\beta_{Fo}} + \frac{C_2}{2} e - \frac{V_{BEQ}}{2V_T}$$

$$V_{BEQ} = V_T \ln u^2$$

dır. Bu son elde edilen bağıntıdan da görüleceği gibi optimum  $R_g$  direncini hesaplamak için sadece seçilen çalışma noktasına ilişkin  $I_{CQ}$  ve  $V_{CEQ}$  yü diğer deyişle devrenin dış şartlarına ait iki büyülüğü vermek yeterlidir. Devrede kullanılan tranzistora ilişkin daha önce gerek ölçü yolu ile gerekse karakteristiklerinden yararlanılarak belirlenmiş ve tranzistor kullanıldığı müddetçe değişimmemektedir. Tranzistora ilişkin bu parametreler bilgisayara verildiğinde ve (4.38) bağıntısının programı yazılıp bilgisayara yüklediğinde ve bu program vasıtıyla hesap yapılmak istendiğinde, giriş verisi olarak  $V_{CEQ}$  ve  $I_{CQ}$  yü vermek kafi gelecektir.

(4.11) bağıntısı ile hesap yaparken M139T tranzistoru ve buna ilişkin parametreler kullanılmıştır. Yine aynı tranzistoru kullanarak optimum  $R_g$  direncini bu sefer (4.38) bağıntısı yardımıyla hesaplıyalım. Yalnız bu bağıntıda  $C_2$  sabiti de olduğundan aynı tranzistora ait  $C_2$  sabitinin de bilinmesi gerekmektedir.  $C_2$  nin bulunmasına ilişkin değişik yöntemler vardır[18], [19]. Bunlardan bir tanesi daha sonra ele alınacaktır. Parametre analizörü ile yapılan ölçümede M139T tranzistoru için  $C_2 = 180$  bulunmuştur. O halde (4.38) bağıntısı kullanılarak, Tablo-4.2 de verilen çeşitli çalışma noktalarına ilişkin optimum  $R_g$  değerleri hesaplanırsa, aşağıdaki gibi bulunur (Tablo-4.3).

Tablo-4.3 (4.38) analitik bağıntısı kullanılarak elde edilen teorik sonuçlar

$V_{CEQ}$	$I_{CQ}$	$I_{BQ}$	(Hesap $R_g(\text{opt})$ sonucu)
12.5 V	1 mA	4.42 $\mu$ A	60.14 K $\Omega$
	1.5 mA	6.64 $\mu$ A	41.38 K $\Omega$
	2.5 mA	11.06 $\mu$ A	23.08 K $\Omega$
	6 mA	26.55 $\mu$ A	9.87 K $\Omega$
	11 mA	48.68 $\mu$ A	5.93 K $\Omega$

#### 4.8. Karşılaştırma ve Sonuç

Tablo-4.2 ile Tablo-4.3 karşılaştırıldığında (4.11) analitik ifadesi için yukarıda sözü edilen yetersizliğinin daha sonra elde edilen (4.38) analitik ifadesi ile belli bir ölçüde giderilmiş olduğu görülür. Örneğin  $V_{CE} = 12.5$  V,  $I_{CQ} = 1$  mA olan bir çalışma noktasında (4.11) bağıntısı ile yapılan hesap sonucu elde edilen optimum  $R_g$  di- rencinin değeri  $53.63$  K $\Omega$  (Tablo-4.2) olmasına karşılık, (4.38) bağıntısı ile yapılan hesabın sonucu  $60.14$  K $\Omega$  (Tablo-4.3) bulunmaktadır. Aynı çalışma noktası için nümerik analiz sonucunun ise  $92.5$  K $\Omega$  (Tablo-4.1) olduğu gözönüne alınırsa, en son elde edilen (4.38) analitik ifadesinin sonuçlarının nümerik analiz sonuçlarına daha yakın olduğu kolayca görülmektedir. Fakat aradaki fark yine de oldukça büyütür. O halde bu bağıntıda da bir yetersizliğin yanında gözönüne alınmayan bir olayın olduğu söylenebilir.

## BÖLÜM 5. KISA DEVRE AKIM KAZANCININ ( $\beta_F$ ) BELİRLENMESİ

Bu bölümde, kısa devre akım kazancının tanımından hareketle bölgelere göre değişimi ve bu değişimi ifade eden bağıntılara yer verilecektir. Yukarıdaki bölümde  $\beta_F$  in kolektör akımına göre değişimini analitik bağıntı içine sokmamıza rağmen elde edilen sonuçların nümerik analiz yöntemi ile elde edilen sonuçlara yeteri kadar yaklaşmamaktadır. Bunun nedenini bulabilmek için bölüm (4.5) de ele alınan  $\beta_F = f(I_C)$  değişimini tekrar ele alalım.

### 5.1. Kısa Devre Akım Kazancı $\beta_F$ e Etkiyen Faktörler

Bölüm 3 de kısa devre akım kazancı olarak orta bölge dediğimiz orta akımlar bölgесine uygun bir bağıntı kullanılmıştır. Bu bağıntı kolektör ile baz akımlarının oranlanmasından elde edilmişti. Elde edilen  $\beta_F$  kısa devre akım kazancı EM1 modelindeki ile aynı olmaktadır. Bu modelde  $V_{CB} = 0$  şartı altında her iki akım,

$$I_C = I_{so} \left( 1 + \frac{M}{2} V_{CE}^N \right) \left( \frac{V_{BE}}{V_T} - 1 \right) \quad (5.1)$$

$$I_B = \frac{I_s \left( 1 + \frac{M}{2} V_{CE}^N \right)}{\beta_{Fo} \left( 1 + M V_{CE}^N \right)} \left( \frac{V_{BE}}{V_T} - 1 \right) \quad (5.2)$$

bağıntıları ile bellidir. Tanım gereği (5.1) ve (5.2) bağıntıları oranlanarak

$$\beta_F^{-1} \triangleq \frac{I_B}{I_C} = \beta_{Fo}^{-1} (1 + MV_{CE}^N)^{-1}$$

bulunmuştur. Bu bağıntı Q çalışma noktası civarında Taylor serisine açılarak (3.16) bağıntısı elde edilmiştir. O halde bölüm 4.5 deki açıklamalara göre (3.16) bağıntısının orta akımlar bölgesi diğer deyişle (II) bölgesi için doğru olacağıapaçaktır. Burada  $I_{so}$ ,  $\beta_{Fo}$ , M ve N parameteleri ölçü yolu ve karakteristiklerden yararlanarak bulunabilecegi önceki bölümde belirtildiği [8], [12].

#### 5.1.1. Orta ve Küçük Akımlar Bölgesinde $I_B$ Baz Akımının Değişimi

Küçük kolektör akımlarında  $\beta_F$  deki düşme  $I_B$  akımının şimdiye kadar gözönüne alınmayan diğer bileşenlerinden dolayı olmaktadır.  $V_{BC} = 0$  olmak üzere normal olarak aktif bölgede çalışıldığı düşünülürse,  $I_B$  akımının şu ana kadar gözönüne alınmayan üç bileşeni daha vardır. Bunlar,

- 1) Yüzeydeki taşıyıcıların tekrar birleşmelerinden,
- 2) Emetör-Baz jonksiyonunda fakirleşmiş bölge tabakası (E-B.f.b.t.) içinde bulunan taşıyıcıların yeniden birleşmelerinden,
- 3) Emetör-Baz jonksiyonunda yüzey kanallarının oluşmasından ileri gelen bileşenlerdir. Bu üç bileşenin  $V_{BE}$  baz-emetör gerilimi ile değişimleri birbirine benzerdir :

$$I_{B(\text{yüzey})} = I_{s(\text{yüzey})} \left( e^{\frac{V_{BE}}{2V_T}} - 1 \right)$$

$$I_{B(E-B.f.b.t.)} = I_{s(E-B.f.b.t.)} \left( e^{\frac{V_{BE}}{2V_T}} - 1 \right) \quad (5.3)$$

$$I_{B(\text{kanal})} = I_{s(\text{kanal})} \left( e^{\frac{V_{BE}}{4V_T}} - 1 \right)$$

Bu üç bileşen (5.2) ile ifade edilen baz akımına ilave edilebilir. Tabii burada kolaylaştırıcı yönde bir adım atmak lazımdır. Bu üç bileşen tek bir toplam bileşen haline getirilebilir:

$$I_{B\text{toplam}} \stackrel{\Delta}{=} I_{B(\text{yüzey})} + I_{B(E-B.f.b.t.)} + I_{B(\text{kanal})}$$

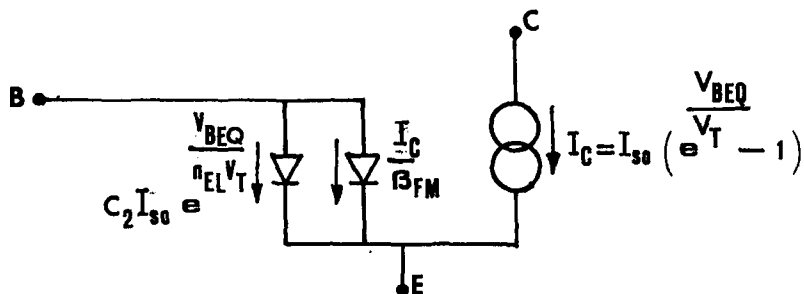
$$= I_{s(\text{toplam})} \frac{V_{BE}}{n_{EL}^{EL} \cdot V_T} (e^{\frac{V_{BE}}{V_T}} - 1) \quad (5.4)$$

Buradaki  $n_{EL}$  parametresine ileri yönde küçük akım emisyon katsayısı denilir ve 1 ila 4 arasında bir değere sahiptir.

Genel olarak (5.4) bağıntısına uygunluğu sağlamak üzere  $n_{EL}$  makul bir doğrulukta elde edilebilir. Kanal ve yüzeydeki yeniden birleşmeler dikkatli bir işlem (process) ile küçük mertebelere indirilebildiğinden baskın bileşen normal olarak emetör-baz fakirleşmiş bölgelerindeki yeniden birleşmelerden ibaret olmakta ve değeri de normal olarak 2 ye yakınlaşmaktadır. Bundan dolayı  $n_{EL}$  katsayısının değeri tipik olarak 2 alınacaktır [19].  $V_{CB} = 0$  şartı altında baz akımı

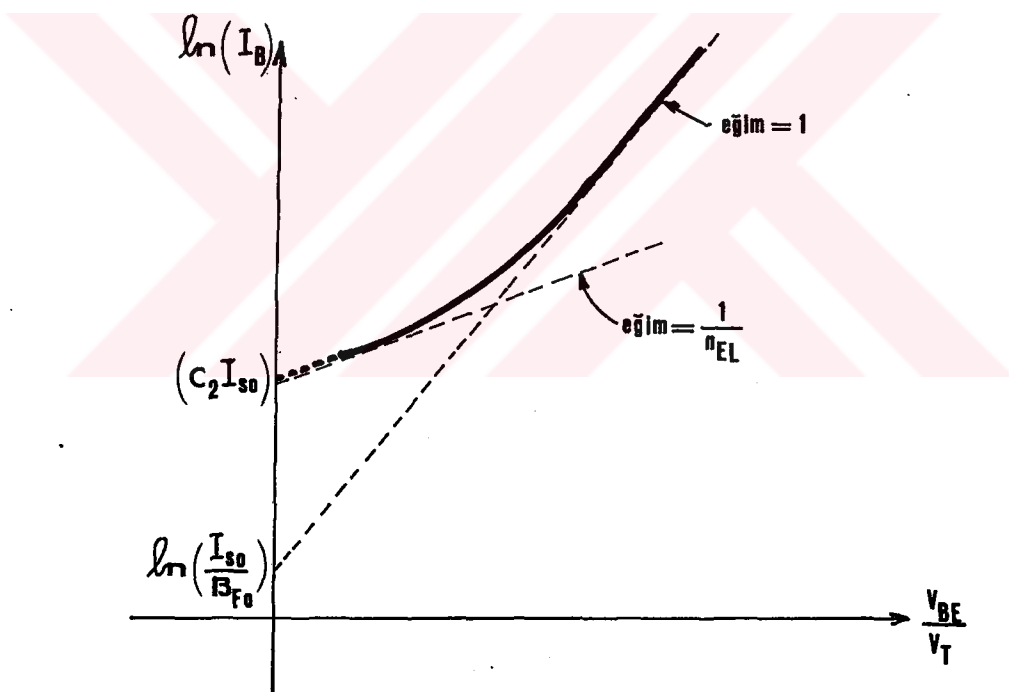
$$I_B = \frac{I_{so} \left( 1 + \frac{M}{2} V_{CE}^N \right)}{\beta_{Fo} \left( 1 + M V_{CE}^N \right)} \frac{V_{BE}}{(e^{\frac{V_{BE}}{V_T}} - 1)} + C_2 I_{so} \frac{V_{BE}}{n_{EL}^{EL} \cdot V_T} (e^{\frac{V_{BE}}{V_T}} - 1) \quad (5.5)$$

bağıntısı ile hesaplanır. Burada (5.4) bağıntısındaki  $I_s$  toplam bileşeni yerine  $C_2 I_{so}$  terimi gelmiştir. Başka deyişle  $I_{s(\text{toplam})}$  bileşeni  $I_{so}$  doyma akımına kolayca normalize edilebilir. (5.5) bağıntısıyla birlikte  $n_{EL}$  parametresi de gelmektedir.  $C_2$  ve  $n_{EL}$  parametrelerinin de EM1 modeline (lineer olmayan hybrid II tipi) katılmasıyle elde edilen şekil aşağıdaki gibi gösterilebilir (Şekil-5.1).



Şekil-5.1  $C_2$  ve  $n_{EL}$  parametrelerinin ilavesi ile elde edilen EM3 modeli

$V_{BC} = 0$  şartı altında baz akımının  $V_{BE}/V_T$  ile değişimi Şekil-5.2 de gösterilmiştir.



Şekil-5.3  $I_B$  nin  $\frac{V_{BE}}{V_T}$  ye bağlı olarak değişimi

Şekil-5.3 de  $I_B$  baz akımının iki bileşeni görülmektedir. İdeal bileşenin eğimi 1, ideal olmayan bileşenin eğimi ise  $1/n_{EL}$  dir. Bu bileşenlerin doğrultularının düşey eksenin kestiği noktalarda  $C_2 I_{so}$  ve  $I_{so} / \beta_{F0}$  değerleri elde edilebilir.

$I_B$  baz akımının  $C_2$  ve  $n_{EL}$  parametrelerine bağlı değişimi (4.38) bağıntısında katılmış bulunmaktadır. Ancak bu durumda  $I_C$  kolektör ile

$I_B$  baz akımı arasındaki bağıntının ( $\beta_F$ ) nasıl olduğunu belirlemek gerekmektedir.

### 5.2. Kolektör Akımı ile Baz Akımı Arasındaki Bağıntı

Kolektör akımı ile baz akımı arasındaki bağıntıyı bulmak amacıyla (5.5) bağıntısını yeniden ele alalım:

$$I_B = \frac{I_{so} \left(1 + \frac{M}{2} V_{CE}^N\right)}{\beta_{Fo} \left(1 + M V_{CE}^N\right)} \cdot \frac{\frac{V_{BE}}{V_T}}{(e^{\frac{V_{BE}}{V_T}} - 1)} + C_2 I_{so} \left(e^{\frac{V_{BE}}{n_{EL} \cdot V_T}} - 1\right)$$

Diger taraftan  $I_C$  akımını veren (5.1) ifadesini yazalımlı:

$$I_C = I_{so} \left(1 + \frac{M}{2} V_{CE}^N\right) \left(e^{\frac{V_{BE}}{V_T}} - 1\right)$$

$I_B$  nin  $I_C$  ye oranlanması ile I ve II bölgelerine ilişkin kısa devre akım kazancı  $\beta_F$  bulunabilir. O halde,

$$\beta_{Fda}^{-1} \triangleq \frac{\frac{V_{BE}}{V_T} \left( e^{\frac{V_{BE}}{V_T}} - 1 \right) + C_2 I_s \left( e^{\frac{V_{BE}}{n_{EL} \cdot V_T}} - 1 \right)}{I_s \left( e^{\frac{V_{BE}}{V_T}} - 1 \right)}$$

$$= \frac{1}{\beta_F} + \left[ C_2 I_s \left(1 - \frac{1}{n_{EL}}\right) \right] \left( \frac{1}{n_{EL}} - 1 \right) \quad (5.6)$$

bulunur. (5.6) bağıntısında  $n=2$  alınacak olursa

$$= \frac{1}{\beta_F} + \frac{\frac{1}{2} C_2 I_s^2}{\sqrt{I_C}}$$

bulunur. O halde  $I_B$  ile  $I_C$  arasında

$$I_B = \frac{\frac{3}{2} I_C^2 + \beta_F C_2 I_s^2 I_C}{\frac{1}{2} \beta_F I_C} \quad (5.7)$$

bağıntısı vardır.

$Q$  çalışma noktasında  $I_B$  baz akımı  $i_b$  kadar değiştiğinde  $I_C$  de  $i_c$  kadar değişecektir. Başka deyişle  $I_B + i_b = i_B$ ,  $I_C + i_c = i_C$  olacaktır. O halde (5.7) ifadesini

$$i_B = \frac{\frac{3}{2} i_C^2 + \beta_F(i_C) \cdot C_2 I_s^2 (i_C) \cdot i_C}{\frac{1}{2} \beta_F(i_C) \cdot i_C}$$

tarzında yazarak,  $Q$  çalışma noktası civarında Taylor serisine açılacak olursa,

$$i_B = \frac{\frac{3}{2} i_C^2 + \beta_{F0} (1+MV_{CEQ}^N) C_2 I_{so}^2 (1 + \frac{M}{2} V_{CE}^N)^{\frac{1}{2}} i_C}{\beta_{F0} (1+MV_{CEQ}^N) i_C} \quad | \\ i_C = I_{CQ}$$

$$\begin{aligned}
 & + \frac{1}{1!} \left| \frac{\beta_{Fo} (1+MV_{CEQ}^N) i_C + \beta_{Fo} MNR_C V_{CEQ}^{N-1} i_C^2}{\beta_{Fo}^2 (1+MV_{CEQ}^N)^2 i_C} \right| . i_C \\
 & \quad i_C = I_{CQ} \\
 & + \frac{1}{1!} \left| \frac{c_2 \beta_{Fo} (1+MV_{CEQ}^N)^2 \left[ \frac{1}{I_{so}^2} - \frac{M}{4} (-R_C) V_{CEQ}^{N-1} (1+ \frac{M}{2} V_{CEQ}^N)^{\frac{3}{2}} i_C^2 + \frac{1}{2} I_{so}^2 (1+ \frac{M}{2} V_{CEQ}^N)^{\frac{1}{2}} i_C^2 \right]}{\beta_{Fo}^2 (1+MV_{CEQ}^N)^2 i_C} \right| . i_C \\
 & \quad i_C = I_{CQ} \\
 & + \frac{1}{2!} \left| \frac{\beta_{Fo}^3 (1+MV_{CEQ}^N) i_C MNR_C V_{CEQ}^{N-1} \left\{ -R_C V_{CEQ}^{-1} i_C^{(N-1)} (1+MV_{CEQ}^N) + 2 \left[ 1+MV_{CEQ}^N (1+R_C V_{CEQ}^{-1} N i_C) \right] \right\}}{\beta_{Fo}^4 (1+MV_{CEQ}^N)^4 i_C^2} \right| . i_C^2 \\
 & \quad i_C = I_{CQ} \\
 & - \frac{1}{2!} \left| \frac{c_2 \beta_{Fo}^4 (1+MV_{CEQ}^N) i_C^{\frac{1}{2}} I_{so}^{\frac{1}{2}} \left\{ \frac{1}{4} MNR_C V_{CEQ}^{N-1} i_C (1+ \frac{M}{2} V_{CEQ}^N)^{-\frac{1}{2}} \right. \right.}{\beta_{Fo}^4 (1+MV_{CEQ}^N)^4 i_C^2} \right. \\
 & \quad \left. \left. \left[ -(N-1) V_{CEQ}^{-1} R_C i_C + \frac{1}{4} NMV_{CEQ}^{N-1} i_C R_C (1+ \frac{M}{2} V_{CEQ}^N)^{-1} + (1+ \frac{M}{2} V_{CEQ}^N)^{-\frac{1}{2}} \right] + \frac{1}{4} (1+ \frac{M}{2} V_{CEQ}^N)^{-\frac{1}{2}} \right\} \right| . i_C^2 \\
 & \quad i_C = I_{CQ} \\
 & + \frac{1}{3!} \dots
 \end{aligned}$$

bulunur. Genel olarak

$$I_{BQ} + i_b = I_{CQ} + k_{11} i_C + k_{22} i_C^2 + k_{33} i_C^3 + \dots \quad (5.7A)$$

yazılabilir. Doğru ve değişken bileşenler ayrılacak olursa,

$$\begin{aligned}
 I_{BQ} &= \frac{\frac{3}{2} I_{CQ} + c_2 \beta_{Fo} (1+MV_{CEQ}^N) I_{so}^{\frac{1}{2}} (1+ \frac{M}{2} V_{CEQ}^N)^{\frac{1}{2}} I_{CQ}}{\beta_{Fo} (1+MV_{CEQ}^N) I_{CQ}^{\frac{1}{2}}} \\
 &\quad (5.8)
 \end{aligned}$$

bulunur. Buradan doğru akım kısa devre kazancı  $\beta_{Fd.a.}$  bulunabilir.

$$\beta_{Fd.a.} \triangleq \frac{\frac{I_C}{I_B}}{\sqrt{I_C + C_2 \beta_{Fo} (1+MV_{CEQ}^N) \sqrt{I_{so}} \sqrt{1 + \frac{M}{2} V_{CEQ}^N}}} = \frac{\beta_{Fo} (1+MV_{CEQ}^N) \sqrt{I_C}}{\sqrt{I_C + C_2 \beta_{Fo} (1+MV_{CEQ}^N) \sqrt{I_{so}} \sqrt{1 + \frac{M}{2} V_{CEQ}^N}}} \quad (5.9)$$

(5.9) bağıntısında  $C_2 = 0$  yapılacak olursa,

$$\beta_{Fd.a.} = \frac{\frac{I_C}{I_B}}{\sqrt{I_C + C_2 \beta_{Fo} (1+MV_{CEQ}^N) \sqrt{I_{so}} \sqrt{1 + \frac{M}{2} V_{CEQ}^N}}} = \frac{\beta_{Fo} (1+MV_{CEQ}^N)}{\sqrt{I_C + C_2 \beta_{Fo} (1+MV_{CEQ}^N) \sqrt{I_{so}} \sqrt{1 + \frac{M}{2} V_{CEQ}^N}}} = \beta_F$$

bulunur ki bu da (3.7) bağıntısının aynısıdır. Diğer taraftan değişken bileşenleri alacak olursak,

$$i_b = k_{11} i_c + k_{22} i_c^2 + k_{33} i_c^3 + \dots \quad (5.10)$$

tarzında yazılabilir.  $i_b$  nin  $i_c$  ye göre değişimi nonlinear olduğundan bunun tersi de yani  $i_c$  nin  $i_b$  ye göre değişimi de nonlinear olur. O halde (5.10) serisinin tersi

$$i_c = b_{11} i_b + b_{22} i_b^2 + b_{33} i_b^3 + \dots \quad (5.11)$$

tarzında olacaktır. Burada,

$$b_{11} = \frac{1}{k_{11}}$$

$$b_{22} = -\frac{k_{22}}{k_{11}} \cdot \frac{1}{k_{11}^2}$$

$$b_{33} = \left( 2 \frac{k_{22}^2}{k_{11}^2} - \frac{k_{23}}{k_{11}} \right) \frac{1}{k_{11}^3}$$

.

.

dır. Optimum  $R_g$  direncini veren (4.38) bağıntısında kolektör akımı ile baz akımı arasındaki bağıntıya ilişkin terim  $b_1/b_2 = (1+A)^2/(B+C)$  dır. Aynı terim bu sefer (5.11) serisinin katsayıları cinsinden

$$\frac{b_{11}}{b_{22}} = \frac{k_{11}^2}{k_{22}} = \frac{2 \left[ (1+A) \cdot I_{CQ} + C_2 \cdot A_3 \right]^2}{B_9 \cdot I_{CQ}^2 - C_2 \cdot B_{10}} \quad (5.12)$$

olarak elde edilir. Burada

$$A = MV_{CE}^N (1+NR_C V_{CEQ}^{-1})$$

$$A_1 = \beta_{Fo} (1+MV_{CEQ}^N)^2 I_{so}^{\frac{1}{2}} I_{CQ}^{\frac{1}{2}}$$

$$A_2 = \left[ -\frac{1}{4} MR_C V_{CEQ}^{N-1} (1 + \frac{M}{2} V_{CEQ}^N)^{-\frac{1}{2}} I_{CQ} + \frac{1}{2} (1 + \frac{M}{2} V_{CEQ}^N)^{\frac{1}{2}} \right]$$

$$A_3 = A_1 \cdot A_2$$

$$B = \beta_{Fo} (1+MV_{CEQ}^N)^{MNR_C V_{CEQ}^{N-1}}$$

$$B_1 = -R_C V_{CEQ}^{-1} I_{CQ}^{(N-1)(1+MV_{CEQ}^N)}$$

$$B_2 = 2 \left[ 1+MV_{CEQ}^N (1+R_C V_{CEQ}^{-1} N I_{CQ}) \right]$$

$$B_9 = B \cdot (B_1 + B_2)$$

$$B_3 = \beta_{Fo}^2 (1+MV_{CEQ}^N)^4 I_{CQ}^{\frac{1}{2}} I_{so}^{\frac{1}{2}}$$

$$B_6 = \frac{1}{4} MNR_C V_{CEQ}^{N-1} I_{CQ} (1 + \frac{M}{2} V_{CEQ}^N)^{-\frac{1}{2}}$$

$$B7 = -(N-1)V_{CEQ}^{-1}R_C I_{CQ} + \frac{1}{4} NMV_{CEQ}^{N-1} I_{CQ} R_C (1 + \frac{M}{2}) V_{CEQ}^N - \frac{1}{2}$$

$$B8 = \frac{1}{4} (1 + \frac{M}{2}) V_{CEQ}^N - \frac{1}{2}$$

$$B5 = B6 . B7$$

$$B10 = B3 . (B5 + B8)$$

dir. (5.12) bağıntısında  $C_2 = 0$  yapılacak olursa,

$$\frac{b_{11}}{b_{12}} = \frac{k_{11}^2}{k_{22}} = \frac{(1+A)^2 I_{CQ}^2}{B9 \cdot I_{CQ}^2} = \frac{(1+A)^2}{B9}$$

A ve B9'un yerine yukarıdaki eşdeğerleri yerine konursa,

$$\frac{b_{11}}{b_{12}} = \frac{\left[ 1 + MV_{CEQ}^N (1 + NR_C V_{CEQ}^{-1} I_{CQ}) \right]^2}{\beta_{FO} (1 + MV_{CEQ}^N) MNR_C V_{CEQ}^{N-1} \left\{ -R_C V_{CEQ}^{-1} I_{CQ} (N-1) (1 + MV_{CEQ}^N) + 2 \left[ 1 + MV_{CEQ}^N (1 + NR_C V_{CEQ}^{-1} I_{CQ}) \right] \right\}}$$

elde edilir ki, bu da (4.10) bağıntısının aynıdır. Başka deyişle,

$$\frac{b_{11}}{b_{22}} = \frac{b_1}{b_2}$$

olmaktadır.  $R_g$  direncinin optimum değerini veren (4.37) bağıntısında,  $b_1/b_2$  yerine (5.12) deki  $b_{11}/b_{22}$  bağıntısı konursa,

$$R_g(\text{opt}) = \frac{V_T}{\frac{V_{BEQ}}{\frac{V_T}{e^T I_{so} (E1 + C_2 \cdot E2)}}} \left\{ \frac{1}{\frac{V_{BEQ}}{I_{so} e^T}} \frac{\frac{D1 + C_2 \cdot D2}{(E1 + C_2 \cdot E2)^2} \left[ (1+A) I_{CQ} + C_2 \cdot A3 \right]^2 - 1}{B9 \cdot I_{CQ}^2 - C_2 \cdot B10} \right\}$$

(5.13)

elde edilir. Bu bağıntıda  $C_2 = 0$  yapılırsa,

$$R_g(\text{opt}) = \frac{V_T}{\frac{V_{BEQ}}{\frac{V_T}{I_{so} E_1}}} \left[ \frac{1}{\frac{V_{BEQ}}{I_{so} e}} \frac{D_1}{E_1} \frac{(1+A)^2}{B_9} - 1 \right]$$

bulunur.  $E_1$ ,  $D_1$ ,  $A$  ve  $B_9$  yerine eşitleri konursa,

$$R_g(\text{opt}) = \frac{V_T}{I_{BQ}} \left\{ \frac{1}{I_{BQ}} \frac{\left[ 1 + MV_{CEQ}^N (1 + NR_C V_{CEQ}^{-1} I_{CQ}) \right]^2}{(1 + MV_{CEQ}^N) \beta_F MNR_C V_{CEQ}^{N-1} \left\{ -(N-1) R_C V_{CEQ}^{-1} I_{CQ} (1 + MV_{CEQ}^N)^2 + 2 \left[ 1 + MV_{CEQ}^N (1 + NR_C V_{CEQ}^{-1} I_{CQ}) \right] \right\}} - 1 \right\}$$

bulunur ki bu da bölüm 4.2 de bulunan (4.11) bağıntısının aynısını vermektedir. (5.13) bağıntısına ilişkin bilgisayar programı EK:C de verilmiştir.

### 5.3. Sonuç

Sonuç olarak şunu söyleyebiliriz: Yukarıdaki bölümde belirtilen bileşenlerin  $I_B$  baz akımına ilave olarak gelmesi, baz akımını artırmakta buna karşılık kısa devre akım kazancı  $\beta_F$  in azalmasına sebep olmaktadır.  $\beta_F$  deki bu azalma  $R_g$  optimum direncinin hesaplanması da gözönüne alınması gerekmektedir. Bu da, ilave iki model parametresi olan  $C_2$  ve  $n_{EL}$  terimlerinin (4.33) bağıntısına sokulmasıyla sağlanmıştır. Böylece devre tasarlanırken, Q çalışma noktası orta ve küçük akımlar bölgesinde kalmak şartıyla nerede seçilirse seçilsin, bu noktaya ilişkin  $R_g$  sürücü kaynak direnci, ikinci harmonik distorsyonu minimum olacak şekilde hesaplanabilir. Hernekadar çıkarılan bağıntılar uzun gibi görünüyorsa da, bilgisayarla hesaplamağa elverişlidir. Program bir kere hazırlandıktan sonra geriye sadece iki dış büyülük olan  $V_{CEQ}$  ve  $I_{CQ}$  nun verilmesi yeterlidir. Kaldı ki gerek (4.11) gerekse (5.13) bağıntılarının yeterince kısaltılabileceği daha sonra gösterilecektir.

(5.13) bağıntısı kullanılarak Tablo-4.2 deki çalışma noktalarına ilişkin  $R_g(\text{opt})$  değerleri aşağıdaki gibi bulunur (Tablo-4.4).

Tablo-4.4 (5.13) analitik bağıntısı kullanılarak elde edilen teorik değerler

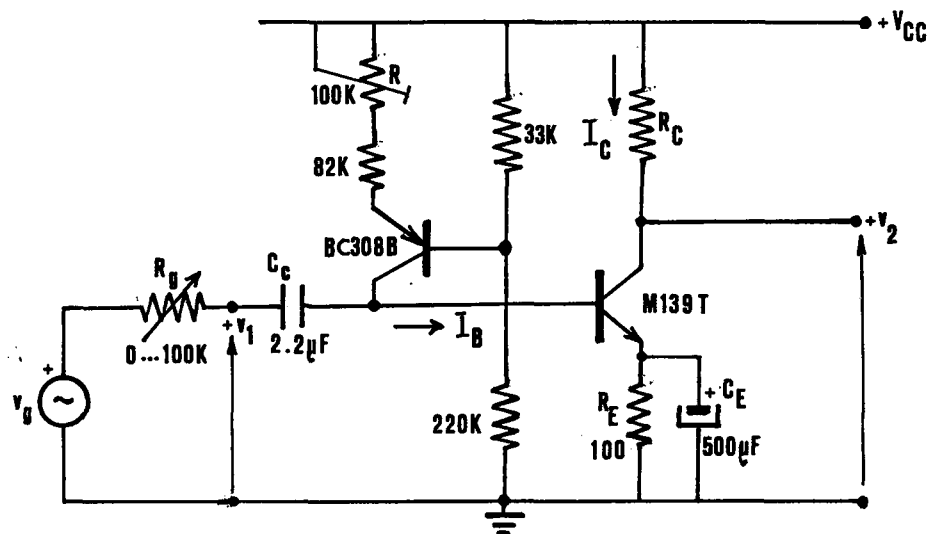
$V_{CEQ}$	$I_{CQ}$	$I_{BQ}$	$R_g(opt)$ (Hesap sonucu)
12.5 V	1 mA	5.17 $\mu$ A	92.38 k $\Omega$
	1.5 mA	7.79 $\mu$ A	58.68 k $\Omega$
	2.5 mA	12.01 $\mu$ A	29.09 k $\Omega$
	6 mA	28.31 $\mu$ A	11.43 k $\Omega$
	11 mA	52.50 $\mu$ A	6.69 k $\Omega$

Tablo-4.4 de bulunan  $R_g(opt)$  değerleri, nümerik analiz yöntemiyle (bu-na kuru laboratuvar yöntemi de denilebilir) elde edilen Tablo-4.1 de-ki sonuçlarla karşılaştırılacak olursa, değerlerin birbirlerine oldukça yakın olduğu görülür. Ayrıca bu son bağıntı ile bulunan baz akımla-rının -kolektör akımları aynı olduğu halde- değiştiği diğer deyişle kolektör akımının küçük değerlerinde, baz akımının yukarıda söylenen sebeplerden dolayı arttığı, dolayısıyle  $\beta_F$  deki düşme olayı açık ola-rak görülmektedir.

## BÖLÜM 6. DENEYSEL GERÇEKLEME

Bu bölümde, bundan önce elde edilen teorik sonuçların gerçeğe uygunluklarının saptanması amacıyla deney yapılmıştır. Şimdiye kadar nümerik analiz yöntemiyle  $R_g(\text{opt})$  direnç değerleri bulunmuş, daha sonra da doğru akım transfer fonksiyonunun çalışma noktası civarında Taylor serisine açılımı yapılarak analitik bir ifade bulunmuştur. Nümerik analizle elde edilen sonuçlar (bilgisayar sonuçları), analitik ifade ile hesaplanan sonuçlarla karşılaştırılarak bu sonuçlar arasında farklılıklar olup olmadığı araştırılmıştır. Bu farklılıklara neden olan fiziksel olaylar üzerinde durularak, bunları temsil eden  $C_2$  ve  $n_{EL}$  parametreleri analitik ifade içine alınmıştır.

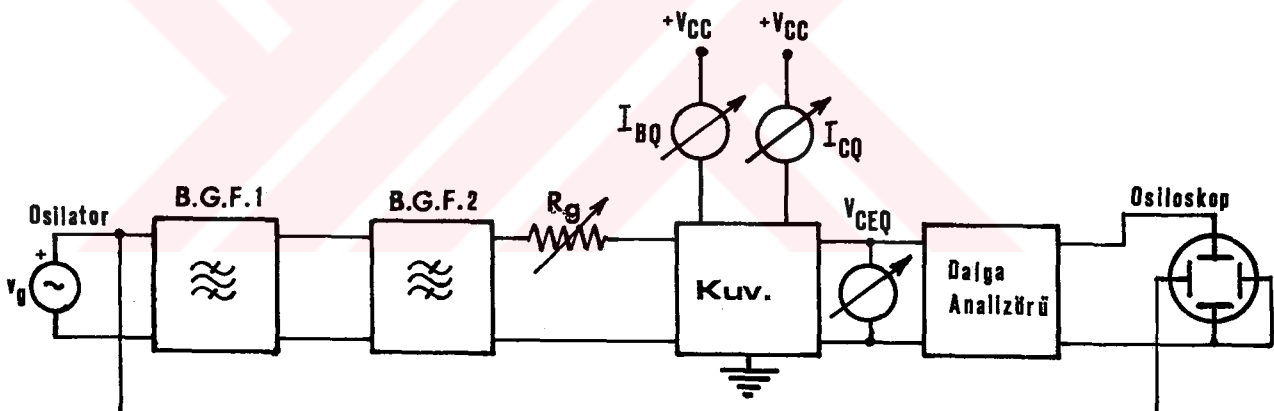
Buraya kadar elde edilen sonuçların gerçeğe uygunluk derecesini saptamak amacıyla Şekil-6.1 deki devre tasarlanmıştır. Tranzistor olarak örneğin M139T kullanılmıştır. Devredeki baz bölgülerin kaynak iç direnci yanında etkisiz sayılabilmesi için oldukça büyük olmaları gerekmektedir. Bunu sağlamak için baz bölgüsü dirençleri yerine çok daha büyük bir iç dirence sahip bir akım kaynağı konularak  $I_{BQ}$  baz akımı bu akım kaynağı üzerinden akıtmıştır.



Şekil-6.1 M139T tranzistoru ile tasarlanan kuvvetlendirici devresi

$R$  ayarlı direnci yardımıyla istenilen  $I_{BQ}$  dolayısıyle  $I_{CQ}$  akımının akması sağlanır.  $R_C$  nin değeri değiştirilerek, akan kolektör akımına ilişkin istenen  $V_{CEQ}$  geriliminin elde edilmesi sağlanır.

Harmonik distorsiyonu, çıkıştan elde edilen  $v_2$  geriliminin genliği ile orantılı olduğundan, distorsyonun arttığını ya da azaldığını izleyebilmek için, deney boyunca çıkış genliği de sabit tutulmuştur. Bu şartı sağlarken tranzistorun doymaya girmemesi diğer deyişle tranzistorun daima lineer bölgede çalışması gözetilmiştir. Şekil-6.1 de ki  $C_c$  kuplej kapasitesinin ve  $C_E$  dekuplej kapasitesinin değeri çalışılan frekansta kısa devre sayılabilcek kadar büyük alınmıştır. Distorsyonun miktarı frekansa bağlı olmadığından istenilen frekansta çalıslabilir. Burada frekans 1 kHz olarak seçilmiş ve deney boyunca sabit tutulmuştur. Ölçü düzeninin blok şeması Şekil-6.2 de gösterilmiştir.



Şekil-6.2 Gerçekleştirilen deney düzeni

Düşük distorsiyonlu bir işaret kaynağı kullanıldığından verdiği işaret pratik olarak distorsiyonsuz kabul edilebilir. Ancak kuvvetlenme direcisinin girişine uygulanan işaretin tamamen distorsiyonsuz olmasını sağlamak için ardarda iki tane band geçiren filtre bağlanmıştır. Ayrıca kolektör, baz akımları ve kolektör-emetör gerilimini ölçmek için gerekli ölçü aletleri de ilave edilmiştir.

### 6.1. Deneysel Sonuç ve Karşılaştırma

Şekil-6.2 deki deney düzeni kurularak deney yapılmış ve değişik kolektör akımlarında elde edilen ölçü sonuçlarından yararlanılarak ikinci harmonik distorsyonunun  $R_g$  sürücü kaynak direnci ile değişim eğrileri EK:A da verilmiştir.

Bu  $|d_2| = f(R_g)$  eğrileri incelendiğinde  $d_2$  distorsyonunun sıfır olduğu  $R_{g(opt)}$  dirençleri Tablo-4.5 deki gibi elde edilir.

Tablo-4.5 Elde edilen deney sonuçları

$V_{CQ}$	$I_{CQ}$	$I_{BQ}$	$R_{g(opt)} \text{ (Deney Sonucu)}$
12.5 V	1 mA	5.2 $\mu A$	94.6 K $\Omega$
	1.5 mA	7.81 $\mu A$	53.5 K $\Omega$
	2.5 mA	11.9 $\mu A$	32.6 K $\Omega$
	6 mA	28.01 $\mu A$	8.5 K $\Omega$
	11 mA	52.7 $\mu A$	3.8 K $\Omega$

Tablo-4.5 de elde edilen deney sonuçları ile, (5.13) bağıntısıyla elde edilen hesap sonuçları (Tablo-4.4) arasında -bir tanesi dışında tam uygunluk sağlanmaktadır. Kolektör akımları 1 mA den 6 mA kadar olan çalışma noktalarında teorik değerlerle pratik değerler birbirle-riyle uyuşmaktadır. Ancak 11 mA'e ilişkin çalışma noktasında  $R_g$  direncinin değeri teorik olarak 6.5 K $\Omega$  bulunduğu halde, deney sonucunda aynı çalışma noktasında ise 3.8 K $\Omega$  elde edilmektedir. Bu iki değer arasındaki fark oldukça büyütür. Daha önce küçük kolektör akımlarında karşılaşılan olayın benzeri bu defa büyük kolektör akımlarında söz-konusu olmaktadır. Bölüm 4 de belirtildiği gibi kolektör akımının büyük değerlerinde (III. bölge) kısa devre akım kazancı  $\beta_F$  in değeri hızla düşmektedir. O halde analitik bağıntıya bu olayın da katılması gerekmektedir.

BÖLÜM 7. KISA DEVRE AKIM KAZANCI  $\beta_F$  İN ORTA VE BÜYÜK AKİMLARDA

BELİRLENMESİ

Bu bölümde  $\beta_F$  in değerindeki düşmenin hangi sebepten dolayı olduğu izah edildikten sonra bu olayı da içine alan analitik bağıntı çırıkarılacaktır. Bölüm 4 de dephinildiği gibi  $\beta_F$  kısa devre akım kazancı kolektör akımının büyük değerlerinde hızla düşmektedir. O halde  $\beta_F$  deki düşmeyi modelleyen ya da karakterize eden bir parametrenin optimum  $R_g$  direncini veren analitik bağıntısının kapsamına alınması gerekmektedir.

7.1. Orta ve Büyük Akımlar Bölgesi

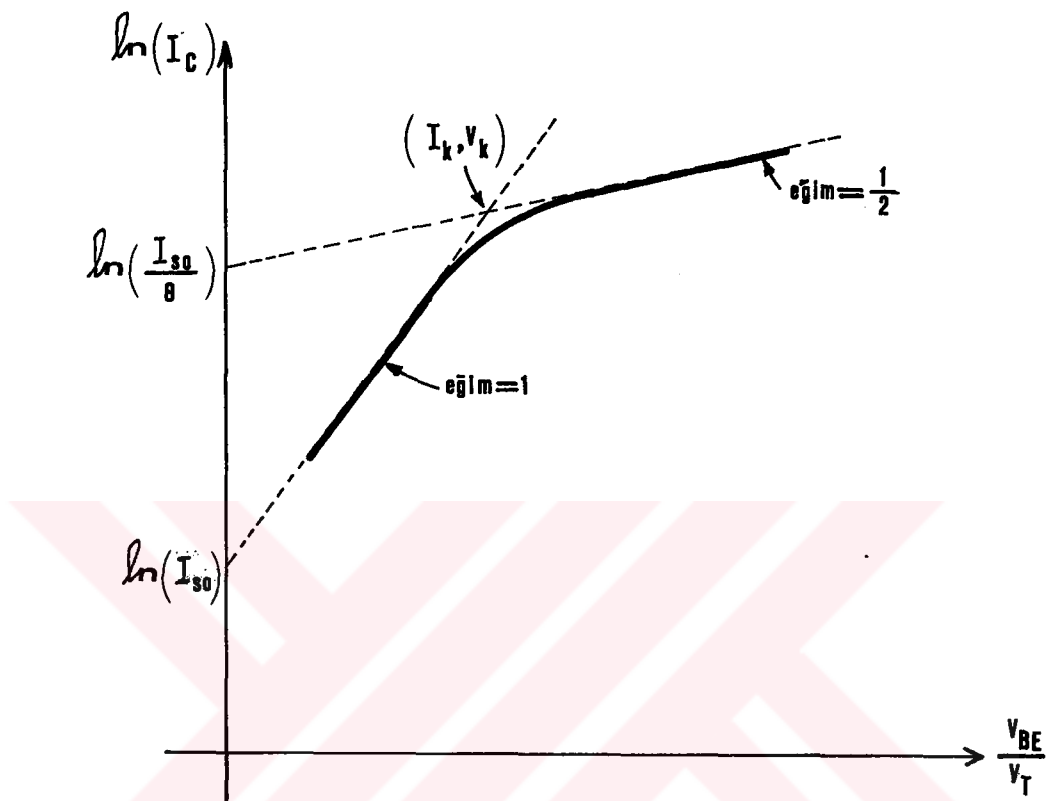
Yüksek enjeksiyon seviyelerinde baz bölgesindeki azınlık taşıyıcıları, çoğunluk taşıyıcılarının miktarı yanında önemli miktara ulaşmaktadır. Baz bölgesindeki fakirleşmiş bölge durumunu koruduğundan, toplam çoğunluk taşıyıcılarının miktarı, toplam azınlık taşıyıcılarının artma miktarı ile aynı oranda artmaktadır. Kolektör akımındaki çoğunluk taşıyıcılarının fazlalaşmasından dolayı ortaya çıkan etki Webster [17] tarafından hesaplanmıştır. Webster, kolektör akımının büyük değerlerinde,

$$I_C(\text{büyük değer}) \sim e^{\frac{V_{BEQ}}{2V_T}} \quad (7.1)$$

değerine asimtot olduğunu göstermiştir. Bu ifade  $I_C$  akımını veren (5.1) bağıntısı ile birleştirilirse

$$I_C = \frac{I_{so} \left(1 + \frac{M}{2} V_{CEQ}^N\right)}{\frac{V_{BEQ}}{2V_T}} \left(e^{\frac{V_{BEQ}}{V_T}} - 1\right) \quad (7.2)$$

elde edilir. Burada  $\theta$  büyülüğu EM3 model parametresidir.  $V_{BC} = 0$  şartı altında kollektör akımının  $V_{BE}/V_T$  ile değişimi Şekil-7.1 de gösterilmiştir.



Şekil-7.1 Kolektör akımının  $V_{BE}/V_T$  ile değişimi

Şekil-7.1 de görüldüğü gibi  $I_C$  kolektör akımının  $V_{BE}/V_T$  ile değişimi eğimi 1 olan bir doğruya asimtot olmakta ve  $(I_k, V_k)$  noktasından itibaren diğer deyişle büyük akımlarda asimtotun eğimi  $1/2$  olmaktadır. (7.2) bağıntısını tekrar ele alalım.

$$I_C = \frac{\frac{V_{BE}}{V_T}}{\frac{2V_T}{1+\theta e^{\frac{V_{BE}}{V_T}}}} (e^{\frac{V_{BE}}{V_T}} - 1)$$

Burada  $I'_s = I_{so}(1+MV_{CE}^N)$  dir. Bu ifade şöyle de yazılabilir:

$$I_C = \frac{1}{\frac{V_{BE}}{\frac{V_{BE}}{V_T} + \frac{\theta e^{\frac{V_{BE}}{V_T}}}{\frac{I'_s}{V_T} (e^{\frac{V_{BE}}{V_T}} - 1)}}} \quad (7.3)$$

Diğer taraftan  $I_C/I_B$  oranı teşkil edilirse,

$$\begin{aligned} I_C &= \frac{\frac{1}{\frac{V_{BE}}{\frac{V_{BE}}{V_T} + \frac{\theta e^{\frac{V_{BE}}{V_T}}}{\frac{I'_s}{V_T} (e^{\frac{V_{BE}}{V_T}} - 1)}}}}{I_B} = \frac{1}{\frac{\frac{1}{\frac{V_{BE}}{V_T} + \frac{\theta e^{\frac{V_{BE}}{V_T}}}{\frac{I'_s}{V_T} (e^{\frac{V_{BE}}{V_T}} - 1)}}}{\frac{I'_s}{\beta_F} (e^{\frac{V_{BE}}{V_T}} - 1)}} = \\ &= \frac{1}{\frac{\frac{1}{\frac{V_{BE}}{V_T} + \frac{\theta e^{\frac{V_{BE}}{V_T}}}{\frac{I'_s}{V_T} (e^{\frac{V_{BE}}{V_T}} - 1)}}}{\frac{I'_s}{\beta_F} (e^{\frac{V_{BE}}{V_T}} - 1)}} = \frac{1}{\frac{\frac{1}{\frac{V_{BE}}{V_T} + \frac{\theta e^{\frac{V_{BE}}{V_T}}}{\frac{I'_s}{V_T} (e^{\frac{V_{BE}}{V_T}} - 1)}}}{\frac{I'_s}{\beta_F} (e^{\frac{V_{BE}}{V_T}} - 1)}}} \quad (7.4) \end{aligned}$$

bulunur. Burada  $\beta_F = \beta_{FO} (1 + M V_{CE}^N)$  dir. Bu ifadenin tersi alınırsa

$$\bar{\beta}_{F\theta}^{-1} \triangleq \frac{I_B}{I_C} = \frac{1}{\beta_F} + \frac{\theta^2 I_C}{I'_s \beta_F} \quad (7.5)$$

bulunur. Eğer sadece III.bölgeye ilişkin kolektör akımı baz akımına oranlanırsa,

$$\bar{\beta}_{F\theta}^{-1} = \frac{I_B}{I_C} = \frac{\frac{I'_s}{\beta_F} e^{\frac{V_{BE}}{V_T}}}{\frac{I'_s}{\beta_F} e^{\frac{V_{BE}}{V_T}} + \frac{1}{\theta}} = \frac{\theta^2 I_C}{\beta_F I'_s} \quad (7.6)$$

bulunur ki bu da sedece III. bölgeye ilişkin akım kazancını verir ve bu ifade,

$$\bar{\beta}_F^1 \triangleq \frac{I_B}{I_C} = \frac{1}{\beta_F}$$

ile birleştirilirse yine (7.5) ifadesi elde edilir.

$\beta_F$  ve  $I_s'$  büyüklükleri açık olarak yazılıp (7.5) de yerine ko-nursa,

$$\bar{\beta}_F^1 = \frac{I_B}{I_C} = \frac{1}{\beta_{Fo}(1+MV_{CE}^N)} + \frac{\theta^2 I_C}{\beta_{Fo}(1+MV_{CE}^N) I_{so}(1+\frac{M}{2} V_{CE}^N)} \quad (7.7)$$

elde edilir. (7.5) ifadesinde  $I_B$  baz akımı yanlış bırakılıp ortak paydaya alınırsa,

$$I_B = \frac{I_C}{\beta_F} + \frac{\theta^2 I_C^2}{\beta_F I_s'} = \frac{I_s' I_C + \theta^2 I_C^2}{\beta_F I_s'} \quad (7.8)$$

bulunur. Burada

$$I_s' = I_{so}(1+\frac{M}{2} V_{CE}^N)$$

$$\beta_F = \beta_{Fo}(1+MV_{CE}^N)$$

dır. Diğer taraftan gerek  $I_s'$  gerekse  $\beta_F$ ,  $V_{CE}$  geriliminin fonksiyonu dolayısıyle  $I_C$  nin fonksiyonu olduklarından

$$I_s'(i_C) = I_{so} \left[ 1 + \frac{M}{2} (V_{CC} - i_C R_C)^N \right] \quad (7.9)$$

$$\beta_F(i_C) = \beta_{Fo} \left[ 1 + M(V_{CC} - i_C R_C)^N \right]$$

yazılabilir. (7.8) ifadesinde  $V_{CE}$  gerilimi,  $I_C$  cinsinden (7.9) da gösterildiği gibi ifade edilebildiğine göre  $I_B$  sadece  $I_C$  nin fonksiyonudur. Başka deyişle,

$$I_B = f(I_C)$$

dır. Q çalışma noktası civarında  $I_B$  akımı  $i_b$  kadar değiştirilirse,  $I_C$  kolektör akımı da  $i_c$  kadar değişecektir.

$$I_{CQ} + i_c = i_C$$

$$I_{BQ} + i_b = i_B$$

olmak üzere (7.8) ifadesi

$$i_B = \frac{I_s(i_C) \cdot i_C + \theta^2 \cdot i_c^2}{\beta_F(i_C) \cdot I_s'(i_C)} \quad (7.10)$$

birimde yazılabilir. Bu ifade Q çalışma noktası civarında Taylor serisine açılırsa,

$$i_B(i_{CQ} + i_c) = \frac{I_{so}(1 + \frac{M}{2} V_{CEQ}^N) + \theta^2 I_{CQ}}{\beta_{Fo}(1 + MV_{CEQ}^N) I_{so}(1 + \frac{M}{2} V_{CEQ}^N)}$$

$$+ \frac{1}{1!} \frac{\theta^2 (1 + \frac{M}{2} V_{CEQ}^N)^2 \left[ \beta_{Fo}(1 + MV_{CEQ}^N) + \beta_{Fo} R_C^{NMV_{CEQ}^{N-1}} I_{CQ} \right]}{\beta_{Fo}^2 (1 + MV_{CEQ}^N)^2 I_{so}^2 (1 + \frac{M}{2} V_{CEQ}^N)^2} \cdot i_c$$

$$+ \frac{1}{1!} \frac{\theta^2 I_{CQ} \beta_{Fo} I_{so} \left\{ 2 + MV_{CE}^N \left[ 3 + \frac{3}{2} R_C^{NV_{CEQ}^{-1}} I_{CQ} + MV_{CEQ}^N (1 + \frac{1}{2} R_C^{NV_{CEQ}^{-1}} I_{CQ}) \right] \right\}}{\beta_{Fo}^2 (1 + MV_{CEQ}^N)^2 I_{so}^2 (1 + \frac{M}{2} V_{CEQ}^N)^2} i_c$$

$$\begin{aligned}
 & + \frac{1}{2!} i_c^2 \frac{1}{\beta_{Fo}^{(1+MV_{CEQ}^N)^3} (1 + \frac{M}{2} V_{CEQ}^N)^4} \cdot \left[ -MR_C^2 N(N-1) V_{CEQ}^{N-2} I_{CQ} (1+MV_{CEQ}^N) \right. \\
 & \left. + 2MR_C V_{CEQ}^{N-1} (1+MV_{CEQ}^N + R_C N M V_{CEQ}^{N-1} I_{CQ}) \right] + \theta^2 \beta_{Fo}^3 I_{so}^3 (1+MV_{CEQ}^N) \\
 & \cdot (1 + \frac{M}{2} V_{CEQ}^N) \left\{ (1+MV_{CEQ}^N) (1 + \frac{M}{2} V_{CEQ}^N) \left\{ 2+MV_{CEQ}^N (3+MV_{CEQ}^N) - NR_C^2 M V_{CEQ}^{N-2} I_{CQ}^2 \right. \right. \\
 & \left. \left. \cdot \left[ \frac{3}{2} (N-1) + MV_{CEQ}^N (2N-1) \right] \right\} + MR_C V_{CEQ}^{N-1} I_{CQ} (3+2MV_{CEQ}^N) \left\{ 2+MV_{CEQ}^N \right. \\
 & \left. \left. \cdot \left[ (3+MV_{CEQ}^N) + NR_C V_{CEQ}^{-1} I_{CQ} (\frac{3}{2} + MV_{CEQ}^N) \right] \right\} \right\} + \frac{1}{3!} \dots
 \end{aligned}$$

bulunur. Burada doğru akım bileşeni,

$$I_{BQ} = i_B(I_{CQ}) = \frac{I_{so} (1 + \frac{M}{2} V_{CEQ}^N) + \theta^2 I_C}{\beta_{Fo} (1+MV_{CEQ}^N) I_{so} (1 + \frac{M}{2} V_{CEQ}^N)}$$

olmak üzere,

$$k_1 = \frac{I_{so}^2 (1 + \frac{M}{2} V_{CEQ}^N)^2 \left[ \beta_{Fo} (1+MV_{CEQ}^N) + \beta_{Fo} R_C N M V_{CEQ}^{N-1} I_{CQ} \right]}{\beta_{Fo}^2 (1+MV_{CEQ}^N)^2 I_{so}^2 (1 + \frac{M}{2} V_{CEQ}^N)^2}$$

$$+ \frac{\theta^2 I_{CQ} \beta_{Fo} I_{so} \left\{ 2+MV_{CEQ}^N \left[ 3 + \frac{3}{2} R_C N V_{CEQ}^{-1} I_{CQ} + MV_{CEQ}^N (1 + \frac{1}{2} R_C N V_{CEQ}^{-1} I_{CQ}) \right] \right\}}{\beta_{Fo}^2 (1+MV_{CEQ}^N)^2 I_{so}^2 (1 + \frac{M}{2} V_{CEQ}^N)^2}$$

$$\begin{aligned}
k_2 &= \frac{1}{2} \frac{1}{\beta_{Fo}^2 (1+MV_{CEQ}^N)^3 (1 + \frac{M}{2} V_{CEQ}^N)^4} \left[ -MR_C^2 N(N-1) V_{CEQ}^{N-2} I_{CQ} (1+MV_{CEQ}^N) \right. \\
&\quad \left. + 2MNR_C V_{CEQ}^{N-1} (1+MV_{CEQ}^N + R_C NMV_{CEQ}^{N-1} I_{CQ}) \right] + \theta^2 \beta_{Fo}^3 I_{so}^3 (1+MV_{CEQ}^N) \\
&\cdot (1 + \frac{M}{2} V_{CEQ}^N) \left\{ (1+MV_{CEQ}^N) (1 + \frac{M}{2} V_{CEQ}^N) \left\{ 2+MV_{CEQ}^N (3+MV_{CEQ}^N) - NR_C^2 MV_{CEQ}^{N-2} I_{CQ}^2 \right. \right. \\
&\cdot \left[ \frac{3}{2} (N-1)+MV_{CEQ}^N (2N-1) \right] \left. \right\} + MNR_C V_{CEQ}^{N-1} I_{CQ} (3+2MV_{CEQ}^N) \left\{ 2+MV_{CEQ}^N \right. \\
&\cdot \left. \left[ (3+MV_{CEQ}^N) + NR_C V_{CEQ}^{-1} I_{CQ} (\frac{3}{2} + MV_{CEQ}^N) \right] \right\} \\
&\cdot \\
&\cdot \\
&\cdot
\end{aligned}$$

ile gösterilirse, değişken akım kısmı

$$i_b = i_b(i_c) = k_1 i_c + k_2 i_c^2 + k_3 i_c^3 + \dots \quad (7.11)$$

biriminde yazılabilir. Görüldüğü gibi (7.11) serisi  $i_b$  yi  $i_c$  cinsinden ifade etmektedir. Nonlinear olan bu bağıntının tersi yani  $i_c$  yi  $i_b$  cinsinden ifade eden bağıntı da nonlinear olacaktır. (7.11) bağıntısının tersi alınırsa,

$$i_c = b_1 i_b + b_2 i_b^2 + b_3 i_b^3 + \dots \quad (7.2)$$

elde edilir. Bu bağıntıda

$$b_1 = \frac{1}{k_1}$$

$$b_2 = -\frac{k_2}{k_1} - \frac{1}{k_1^2}$$

$$b_3 = (2 \frac{k_2^2}{k_1^2} - \frac{k_3}{k_1}) \frac{1}{k_1^3}$$

⋮

dir. Diğer taraftan optimum  $R_g$  direncini veren (4.9) bağıntısı

$$R_{g(opt)} = \frac{V_T}{I_{BQ}} \left( \frac{1}{2I_{BQ}} \frac{\frac{k_1^2}{k_2} - 1}{k_1} \right)$$

de  $k_1$  ve  $k_2$  katsayılarının değeri yerine konaca olursa,

$$R_{g(opt)} = \frac{V_T}{I_{BQ}} \frac{1}{I_{BQ}} \frac{\frac{AO+\theta^2 I_{CQ} \cdot BO}{DO+\theta^2 \cdot EO}}{(7.13)}$$

bulunur. Bu bağıntıda

$$AO = I_{so} \left( 1 + \frac{M}{2} V_{CEQ}^N \right) \left[ 1 + MV_{CEQ}^N (1 + R_C^{NV-1} I_{CQ}) \right]$$

$$BO = \left\{ 2 + MV_{CEQ}^N \left[ 3 + \frac{3}{2} NV_{CEQ}^{N-1} R_C I_{CQ} + MV_{CEQ}^N (1 + \frac{1}{2} R_C^{NV-1} I_{CQ}) \right] \right\}$$

$$D10 = I_{so}^2 \left( 1 + \frac{M}{2} V_{CEQ}^N \right)^4 (1 + MV_{CEQ}^N) \beta_{Fo} \quad (7.14)$$

$$D20 = -MR_C^2 N(N-1) V_{CEQ}^{N-2} I_{CQ} (1 + MV_{CEQ}^N)$$

$$D30 = 2MNR_C V_{CEQ}^{N-1} (1+MV_{CEQ}^N + R_C NMV_{CEQ}^{N-1} I_{CQ})$$

$$D0 = D10 \cdot (D20 + D30)$$

(7.14)

$$E10 = \beta_{Fo} I_{so} (1+MV_{CEQ}^N) (1 + \frac{M}{2} V_{CEQ}^N)$$

$$E20 = (1+MV_{CEQ}^N) (1 + \frac{M}{2} V_{CEQ}^N)$$

$$E30 = 2+MV_{CEQ}^N (3+MV_{CEQ}^N) - NR_C^2 MV_{CEQ}^{N-2} I_{CQ}^2 \left[ \frac{3}{2} (N-1) + 2V_{CEQ}^N M(N-1) \right]$$

$$E40 = MR_C NV_{CEQ}^{N-1} I_{CQ} (3+2MV_{CEQ}^N)$$

$$E50 = 2+MV_{CEQ}^N \left[ 3+MV_{CEQ}^N + NR_C V_{CEQ}^{-1} I_{CQ} \left( \frac{3}{2} + MV_{CEQ}^N \right) \right]$$

$$E0 = E10 \cdot (E20 \cdot E30 + E40 \cdot E50)$$

dir. (7.13) bağıntısında  $\theta = 0$  konacak olursa

$$R_g(opt) = \frac{V_T}{I_{BQ}} \left( \frac{1}{I_{BQ}} - \frac{A0}{D0} - 1 \right) \quad (7.15)$$

elde edilir. A0 ve D0 nin ifadeleri konacak olursa

$$R_g(opt) = \frac{V_T}{I_{BQ}} \left\{ \frac{1}{I_{BQ}} - \frac{\left[ 1+MV_{CEQ}^N (1+R_C NV_{CEQ}^{-1} I_{CQ}) \right]^2}{\left[ -MR_C^2 N(N-1) V_{CEQ}^{N-2} I_{CQ} (1+MV_{CEQ}^N) + 2MNR_C V_{CEQ}^{N-1} (1+MV_{CEQ}^N + R_C NMV_{CEQ}^{N-1} I_{CQ}) \right]^{-1}} \right\}$$

bulunur ki bu da (4.11) bağıntısının aynıdır.

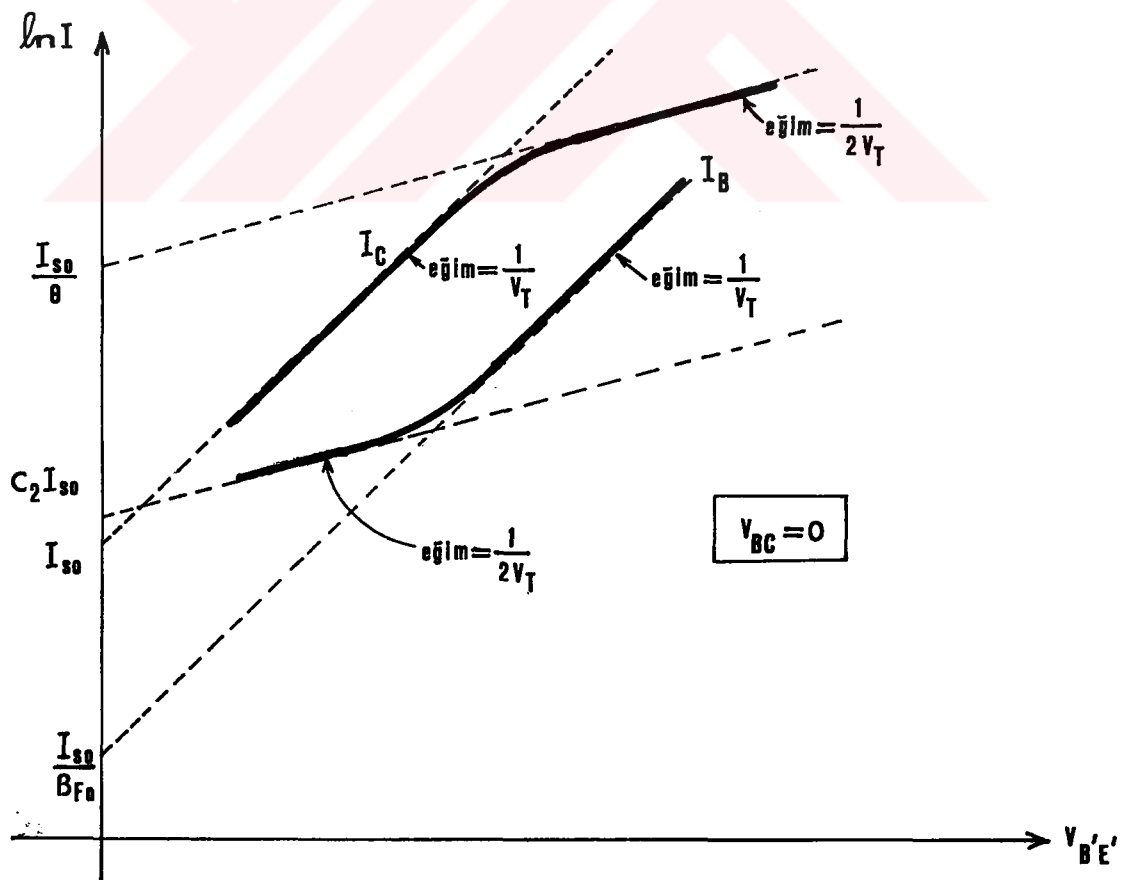
(7.13) bağıntısının kullanılabilmesi için bu bağıntıda ortaya çıkan  $\theta$  parametresinin bilinmesi yada ölçülmesi gerekmektedir. (7.13) bağıntısına ilişkin bilgisayar programı EK:D de verilmiştir.

## 7.2. $C_2$ ve $\theta$ Parametrelerinin Ölçülmesi

Parametre analizörü ve eğri izleyicisi ile  $C_2$  ve  $\theta$  parametrelerinin değeri belirlenir. Bu belirlemede doğrudan ölçme yöntemi ile doğrudan olmayan ölçme yöntemi olmak üzere iki yöntem kullanılır.

### 7.2.1. Doğrudan Ölçme Yöntemi

$C_2$  ve  $\theta$  parametrelerinin değerleri,  $\ln(I_C, I_B) = f(V_{BE})$  eğrisinden yararlanılarak grafik yöntemiyle kolaylıkla elde edilebilir (Şekil-7.2).



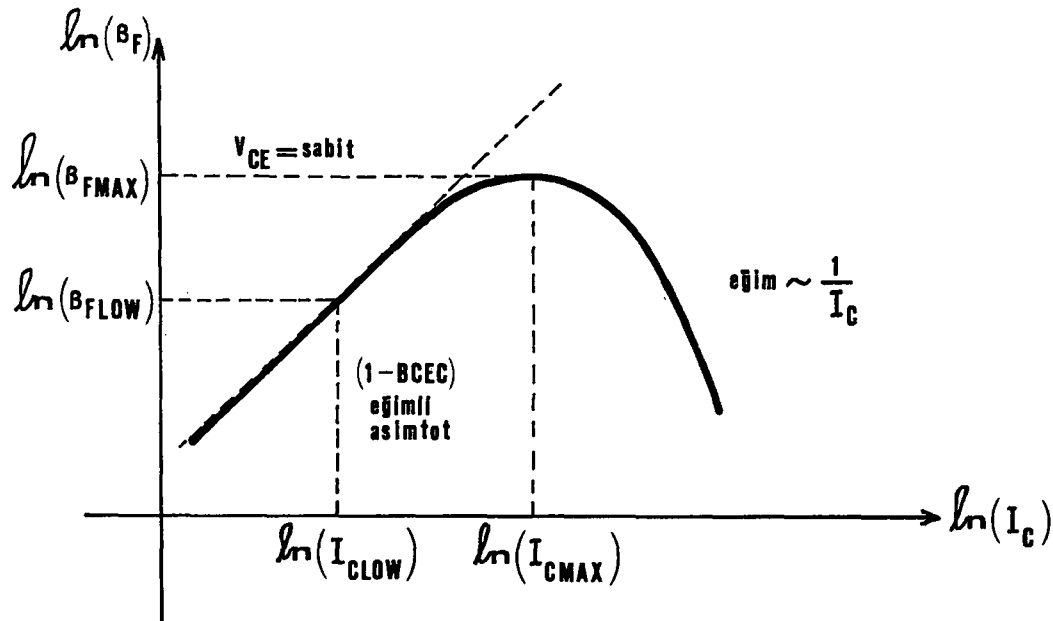
Şekil-7.2 Baz ve Kolektör akımlarının  $V'_{BE}$ , gerilimine bağlı olarak değişimleri

Şekil-7.2 de  $V_{BC} = 0$  şartı altında,  $\ln I_C$  ve  $\ln I_B$  nin  $V_{BE}$  ile değişimi görülmektedir. Bu eğrinin elde edilmesi iki kademede olur. Birinci kademede  $V_{BE}$  nin fonksiyonu olarak  $\ln I_C$  ve  $\ln I_B$  nin ölçülmesi yapılır. İkinci kademede  $V_{BE}$ ,  $V_{B'E'}$  ne indirgenir.  $1/V_T$  eğimli  $I_C$  eğrisinin uzantısının  $\ln(I)$  eksenini kestiği noktası  $I_{SO}$  vermektedir. Benzer şekilde  $1/2V_T$  eğimli  $I_B$  eğrisinin uzantısının  $\ln(I)$  eksenini kestiği noktası  $C_2 I_{SO}$  çarpımının değerini vermektedir.  $I_{SO}$  bilindigine göre  $C_2$  nin değeri bulunur. Benzer şekilde  $I_{SO}/\theta$  nin değeri okunarak  $\theta$  bulunur.

Eğer  $\beta_F = f(I_C)$  eğrisinde II.bölge yoksa -ki herzaman olmayabilir- bu durumda model parametrelerinin doğrudan yöntemle bulunması mümkün degildir. O zaman model parametreleri doğrudan olmayan yöntemle belirlenebilirler.

#### 7.2.2. Doğrudan Olmayan Ölçme Yöntemi

Bu yöntemde önce model parametrelerine ilişkin giriş parameteleri bulunur. Bu giriş parametrelerinin ( $\beta_{FMAX}$ ,  $I_{CMAX}$ ,  $\beta_{FLOW}$ ,  $B_{CEC}$ ) nasıl elde edildikleri Şekil-7.3 de gösterilmiştir.



Şekil-7.3 Akım kazancının kolektör akımı ile değişimi

Bu yöntem için hazırlanmış bilgisayar programı ile bu giriş parametelerinden yararlanarak model parametrelerinin değeri hesaplanmaktadır [19].

### 7.3. Ölçü Sonucu ve Karşılaştırma

4145 HP parametre analizörü ile deneyde kullanılan M139T transiztoru için  $\theta = 1.95 \cdot 10^{-7}$  ve  $C_2 = 180$  olarak ölçülmüştür.

$\theta$  nin ölçülen bu değeri (7.13) bağıntısında yerine konursa  $R_{g(opt)} = 3657.2 \Omega$  bulunur. Elde edilen bu değer Tablo-4.5 deki deneysel sonuç olan  $R_{g(opt)} = 3.8 \text{ k}\Omega$  ile karşılaştırılırsa her iki sonucun birbiriyle uyumlu olduğu görülmektedir.

Diğer taraftan  $\theta$  parametresinin optimum  $R_g$  direncine etkisini görebilmek için (7.13) analitik bağıntısında  $\theta$  parametresini değişken yapıp, deneysel olarak ölçülen değerinin altında ve üstünde çeşitli değerler verilirse ve bu değerlere ilişkin  $R_{g(opt)}$  değerleri hesaplanırsa aşağıdaki değerler elde edilir.

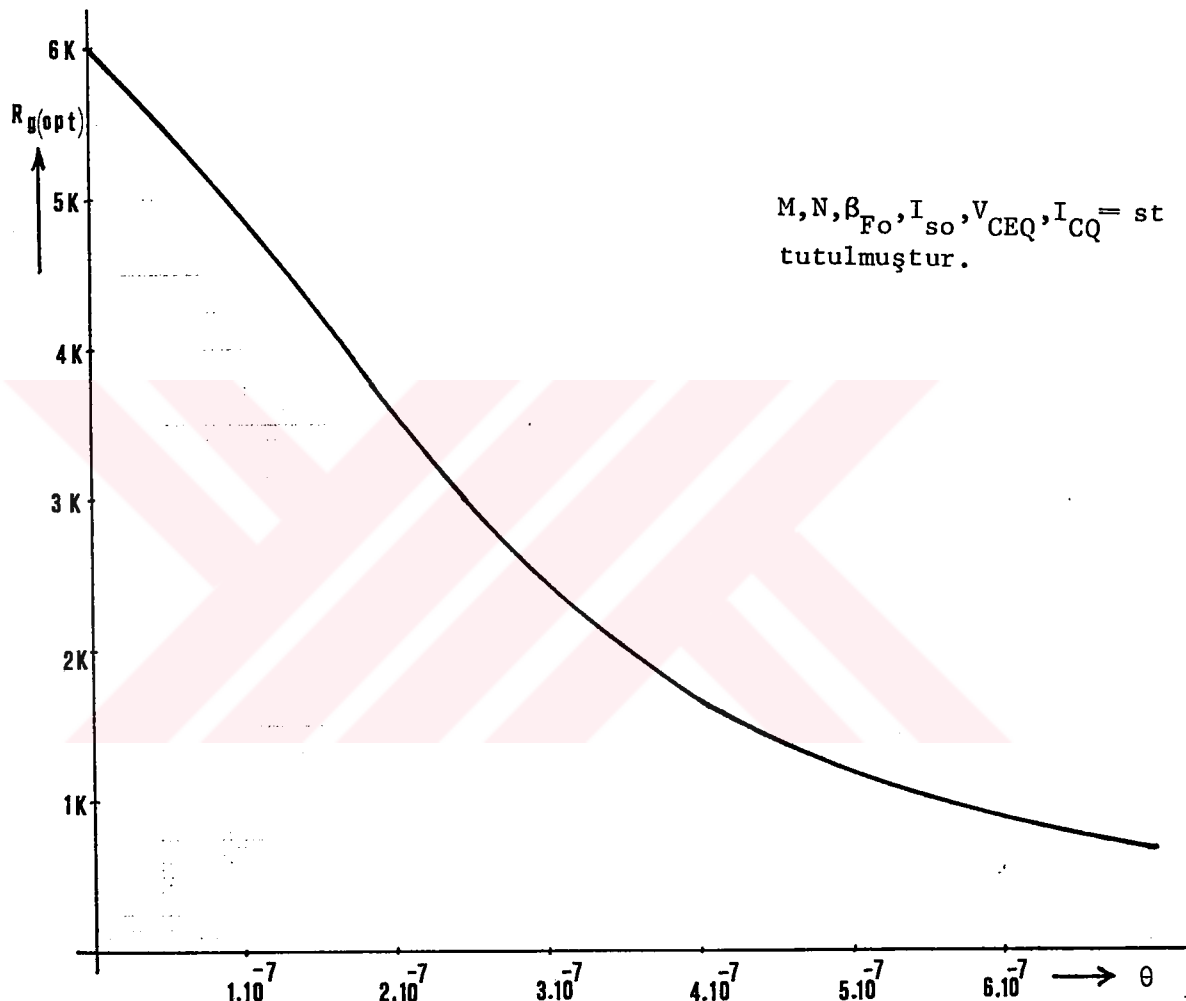
$\theta [-]$	$R_{g(opt)} [\text{k}\Omega]$	$\theta [-]$	$R_{g(opt)} [\text{k}\Omega]$
$1 \cdot 10^{-8}$	5.71	$2 \cdot 1 \cdot 10^{-7}$	3.44
$2 \cdot 10^{-8}$	5.68	$2.2 \cdot 10^{-7}$	3.31
$1.2 \cdot 10^{-7}$	4.7	$2.3 \cdot 10^{-7}$	3.18
$1.3 \cdot 10^{-7}$	4.56	$2.4 \cdot 10^{-7}$	3.1
$1.4 \cdot 10^{-7}$	4.41	$2.5 \cdot 10^{-7}$	2.98
$1.5 \cdot 10^{-7}$	4.22	$2.6 \cdot 10^{-7}$	2.84
$1.6 \cdot 10^{-7}$	4.13	$2.7 \cdot 10^{-7}$	2.73
$1.7 \cdot 10^{-7}$	3.98	$2.8 \cdot 10^{-7}$	2.62
$1.8 \cdot 10^{-7}$	3.85	$2.9 \cdot 10^{-7}$	2.53
$1.9 \cdot 10^{-7}$	3.71	$3.0 \cdot 10^{-7}$	2.44
$2 \cdot 10^{-7}$	3.57	$5.0 \cdot 10^{-7}$	1.22

Yukarıdaki değerlere göre  $R_{g(opt)} = f(\theta)$  değişimi çizilirse Şekil-7.4 deki eğri elde edilir. Şu halde  $R_{g(opt)}$  direncinin büyük akımlarda  $\theta$  parametresinden oldukça etkilendiği ve  $\theta$  daki küçük bir değişim bile  $R_{g(opt)}$  direncinin değerini değiştirmeye yetmektedir.

$\theta$  parametresi yüksek akımlar bölgесine ilişkin katsayıdır ve

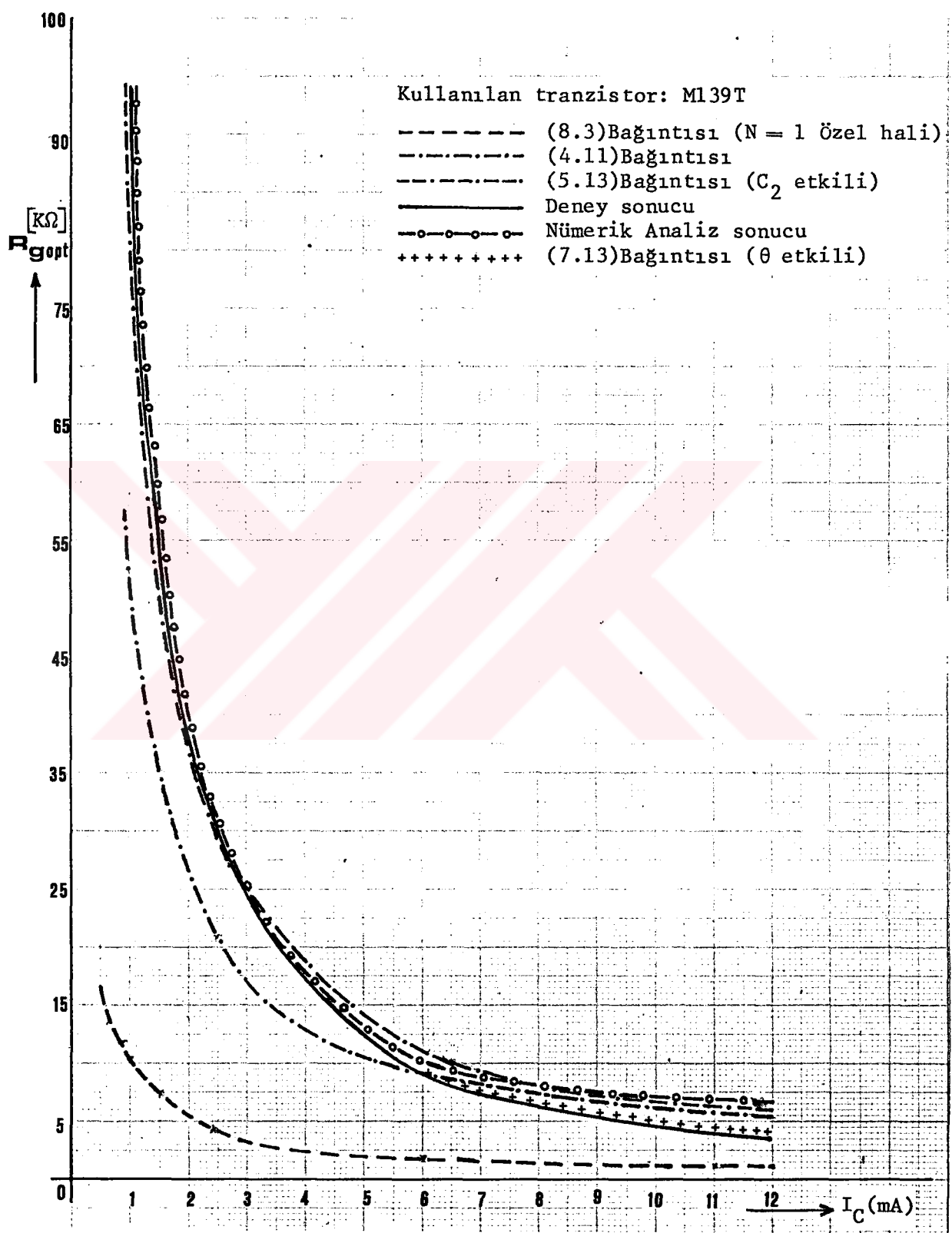
$$\theta = \sqrt{\frac{I_{so}}{I_k}}$$

tarzında da yazılabilir [19]. Burada  $I_k$  Şekil-7.1 de gösterildiği gibi kırılma noktasına ilişkin akımdır.



Şekil-7.4 Optimum kaynak direnci  $R_{g(opt)}$  nın  $\theta$  parametresine bağlı olarak değişimi

Şimdiye kadar elde edilen sonuçları topluca görebilmek ve kolayca karşılaştırmak amacıyla Şekil-7.5 deki egriler çizilmiştir. Bundan sonraki bölümde ayrıca anlatılacağından (4.11) bağıntısında  $N = 1$  verildiğinde elde edilen bağıntiya ilişkin eğri de çizilmiştir. Diğer taraftan  $N = 1$  durumu, geometrik yaklaşımla elde edilen bağıntıya [4] karşılık düşüğü hatırlanacak olursa sonuçlar kolaylıkla karşılaştırılabilir.



Şekil-7.5 Optimum kaynak direnci  $R_{g(opt)}$  un kolektör akımı ile değişimi

BÖLÜM 8. OPTİMUM KAYNAK DİRENCİNİ VEREN BAĞINTILARIN KISALTILMASI

Bu bölümde optimum kaynak direncini veren bağıntının daha basit yazılabileceği gösterilecektir. Şimdiye kadar optimum kaynak direncini veren bağıntı genel ifadesi ile verilmiş hiçbir basitleştirme ya da kısaltma yapılmamıştır.

8.1. (4.11) Bağıntısının Kısaltılması ve Yaklaşık Bağıntının Çıkarılması

Buna geçmeden önce  $N = 1$  olması halinin ele alınmasında yarar vardır. Hatırlanacağı gibi M ve N parametreleri Early olayını temsil eden parametrelerdir. M parametresi Early gerilimi diye bilinen  $V_A$  gerilimi [23] ile ilgili bir parametredir. N ise, w geçiş bölgesi genişliğinin  $V_{CE}$  kutuplama gerilimine bağlı olarak

$$w = m(\psi_o + V_{CB})^N$$

ile ifade edilen bağıntıda [22] katkı yoğunluklarının belirlediği bir büyülüktür. O halde w geçiş bölgesi genişliğinin değişimi lineer değildir. Eğer  $N = 1$  alınacak olursa bu değişim lineer olacaktır. Bu da, çıkış karakteristiğinde sabit  $I_B$  doğrusunun eğrisel değil de doğrusal olmasına tekabül etmektedir. Bunun etkisini görmek amacıyla (4.11) bağıntısını yeniden yazalım.

$$R_{g(opt)} = \frac{V_T}{I_{BQ}} \left\{ \frac{1}{\frac{I_{BQ}}{MNR_C V_{CEQ}^{N-1} \beta_F (1+MV_{CEQ}^N)}} \left[ \frac{(1+NR_C V_{CEQ}^{-1} I_{CQ})^2}{-(N-1) R_C V_{CEQ}^{-1} I_{CQ} (1+MV_{CEQ}^N) + 2 \left[ 1+MV_{CEQ}^N (1+NR_C V_{CEQ}^{-1} I_{CQ}) \right]} \right]^{-1} \right\}^{-1} \quad (8.1)$$

O halde ilk adım olarak (8.1) bağıntısında  $N = 1$  konacak olursa,

$$\begin{aligned}
 R_g(\text{opt}) &= \frac{V_T}{I_{BQ}} \left\{ \frac{1}{I_{BQ}} - \frac{\left[ 1 + MV_{CEQ} (1 + R_C V_{CEQ}^{-1} I_{CQ}) \right]^2}{MR_C \beta_{Fo} (1 + M_{CEQ}) \left\{ 2 \left[ 1 + MV_{CEQ} (1 + R_C V_{CEQ}^{-1} I_{CQ}) \right] \right\}} - 1 \right\} \\
 &= \frac{V_T}{I_{BQ}} \left( \frac{1}{I_{BQ}} - \frac{1 + MV_{CEQ} + MR_C I_{CQ}}{2MR_C \beta_{Fo} (1 + MV_{CEQ})} - 1 \right) \quad (8.2)
 \end{aligned}$$

bulunur. Bu ifadede  $(1 + MV_{CEQ})$  parantezi teşkil edilerek pay ve payda bununla bölünürse,

$$\begin{aligned}
 R_g(\text{opt}) &= \frac{V_T}{I_{BQ}} \left( \frac{1}{I_{BQ}} - \frac{(1 + MV_{CEQ}) + MR_C I_{CQ}}{2MR_C \beta_{Fo} (1 + MV_{CEQ})} - 1 \right) \\
 &= \frac{V_T}{I_{BQ}} \left( \frac{1}{I_{BQ}} - \frac{1 + \frac{MR_C I_{CQ}}{1 + MV_{CEQ}}}{2MR_C \beta_{Fo}} - 1 \right) \quad (8.3)
 \end{aligned}$$

bulunur. Dikkat edilecek olursa bağıntının

$$\frac{MI_{CQ}}{1 + MV_{CEQ}}$$

teriminin  $N=1$  için  $h_{oe}$  den başka birşey olmadığı görülür. O halde (8.3) bağıntısında bu terim yerine  $h_{oe}$  konursa,

$$R_g(\text{opt}) = \frac{V_T}{I_{BQ}} \left( \frac{1}{I_{BQ}} - \frac{1 + h_{oe} R_C}{2M\beta_{Fo} R_C} - 1 \right)$$

bulunur veya

$$K = 2M\beta_{F_0}$$

denirse,

$$R_g(\text{opt}) = \frac{V_T}{I_{BQ}} \left( \frac{1}{I_{BQ}} - \frac{\frac{1+h_{oe} R_C}{KR_C} - 1}{2} \right) \quad (8.4)$$

elde edilir. Demek ki  $h_{oe}$ ,  $R_C$  ve  $I_{BQ}$  hesaplanıp (8.3) bağıntısında yerine konursa  $R_g(\text{opt})$  direnci kolaylıkla hesaplanabilir. Ancak fiziksel olarak  $N = 1$  degildir. Diğer deyişle  $w$  geçiş bölgesi genişliğinin değişimi lineer degildir ve bu da kendisini çıkış özeğrisinde sabit baz akımı doğrularının eğrisel olmasına göstermektedir.

Yukarıda yazılan (8.1) bağıntısını yeniden ele alarak aşağıdaki gibi düzenlenirse,

$$R_g(\text{opt}) = \frac{V_T}{I_{BQ}} \left\{ \frac{1}{I_{BQ}} - \frac{\frac{1+MV_{CEQ}^N (1+NR_C V_{CEQ}^{-1} I_{CQ})}{1+MV_{CEQ}^N (1+NR_C V_{CEQ}^{-1} I_{CQ})}^2}{MNR_C V_{CEQ}^{N-1} \beta_{F_0} (1+MV_{CEQ}^N)} \left\{ 2 - \frac{(N-1)R_C V_{CEQ}^{-1} I_{CQ} (1+MV_{CEQ}^N)}{1+MV_{CEQ}^N (1+NR_C V_{CEQ}^{-1} I_{CQ})} \right\}^{-1} \right\}$$

$$R_g(\text{opt}) = \frac{V_T}{I_{BQ}} \left\{ \frac{1}{I_{BQ}} - \frac{\frac{1+MV_{CEQ}^N (1+NR_C V_{CEQ}^{-1} I_{CQ})}{1+MV_{CEQ}^N (1+NR_C V_{CEQ}^{-1} I_{CQ})}^2}{MNR_C V_{CEQ}^{N-1} \beta_{F_0} (1+MV_{CEQ}^N)} \left[ 2 - \frac{(N-1)R_C V_{CEQ}^{-1} I_{CQ} (1+MV_{CEQ}^N)}{1+MV_{CEQ}^N (1+NR_C V_{CEQ}^{-1} I_{CQ})} \right]^{-1} \right\}$$

$$R_g(\text{opt}) = \frac{V_T}{I_{BQ}} \left\{ \frac{1}{I_{BQ}} - \frac{\frac{(1+MV_{CEQ}^N) + MNR_C V_{CEQ}^{N-1} I_{CQ}}{(1+MV_{CEQ}^N) + MNR_C V_{CEQ}^{N-1} I_{CQ}}^2}{MNR_C V_{CEQ}^{N-1} \beta_{F_0} (1+MV_{CEQ}^N)} \left[ 2 - \frac{(N-1)R_C V_{CEQ}^{-1} I_{CQ} (1+MV_{CEQ}^N)}{(1+MV_{CEQ}^N) + MNR_C V_{CEQ}^{N-1} I_{CQ}} \right]^{-1} \right\}$$

bulunur. Bu ifadenin pay ve paydasını  $(1+MV_{CEQ}^N)$  ile bölünürse,

$$R_{g(opt)} = \frac{V_T}{I_{BQ}} \left\{ \frac{1}{1 + \frac{MNV_{CEQ}^{N-1} I_C Q R_C}{1 + MV_{CEQ}^N}} - 1 \right\} \quad (8.5)$$

$$\text{MNR}_C V_{CEQ}^{N-1} \beta_{Fo} \left[ 2 - \frac{(N-1) R_C V_{CEQ}^{-1} I_C Q}{1 + \frac{MNV_{CEQ}^{N-1} I_C Q R_C}{1 + MV_{CEQ}^N}} \right]$$

bulunur. Bu son ifadedeki,

$$\frac{MNV_{CEQ}^{N-1} I_C Q}{1 + MV_{CEQ}^N} \quad (8.6)$$

terimi  $h'_{oe}$  dan başka birşey değildir [8].  $N = 1$  şartı altında bulunan  $h_{oe}$  ile karışmaması için bu  $h_{oe}$  yi  $h'_{oe}$  olarak alıp (8.5) bağıntısında (8.6) terimi yerine  $h'_{oe}$  konursa

$$R_{g(opt)} = \frac{V_T}{I_{BQ}} \left\{ \frac{1}{1 + \frac{1 + h'_{oe} R_C}{MNR_C V_{CEQ}^{N-1} \beta_{Fo} \left[ 2 - \frac{(N-1) R_C V_{CEQ}^{-1} I_C Q}{1 + h'_{oe} R_C} \right]}} - 1 \right\} \quad (8.7)$$

veya

$$R_{g(opt)} = \frac{V_T}{I_{BQ}} \left\{ \frac{1}{1 + \frac{(1 + h'_{oe} R_C)^2}{MNR_C V_{CEQ}^{N-1} \beta_{Fo} \left[ 2(1 + h'_{oe} R_C) - (N-1) R_C V_{CEQ}^{-1} I_C Q \right]}} - 1 \right\} \quad (8.8)$$

bulunur. Gerek (8.6), gerekse (8.7) ifadesinde  $N = 1$  yapılınrsa yine (8.3) ifadesinin elde edileceği kolaylıkla görülebilir.

Diger taraftan (8.1) ifadesinde sayısal değerler kullanılırsa daha da kısaltılabilir.

$$A17 = \left[ \frac{1+MV_{CEQ}^N}{1+NR_C V_{CEQ}^{-1} I_{CQ}} \right]^2$$

$$B1 = MN \frac{V_{CEQ}^{N-1}}{I_B} (1+MV_{CEQ}^N)$$

$$C1 = -(N-1) R_C V_{CEQ}^{-1} I_{CQ} (1+MV_{CEQ}^N)$$

$$D4 = 2 \left[ \frac{1+MV_{CEQ}^N}{1+R_C N V_{CEQ}^{-1} I_{CQ}} \right]$$

göstermek üzere,

$$R_g(opt) = \frac{V_T}{I_{BQ}} \left( \frac{1}{I_{BQ}} \frac{\frac{A17}{B1 \cdot C1 + D4} - 1}{R_C} \right) \quad (8.9)$$

tarzında yazılabilir. Kullanılan tranzistor için gerekli bütün büyükliklerin değerleri yerine konursa ve örneğin  $V_{CEQ}$  sabit tutulup  $I_C$  kolektör akımına çeşitli değerler verilecek olursa  $A1$ ,  $B1$ ,  $D4$  terimlerinin değerlerinin pek değişmediği, bu değerlerin

$$A17 = 1.30$$

$$B1 = 0.812$$

$$C1 = 0.5$$

$$D4 = 2.27$$

olduğu görülür. Bu değerler (8.9) bağıntısında yerine konursa,

$$R_g(opt) \approx \frac{V_T}{I_{BQ}} \left[ \frac{1}{I_{BQ}} \frac{1.30}{R_C \cdot 0.812(0.5+2.27)} - 1 \right]$$

$$R_g(opt) \approx \frac{26 \cdot 10^{-3}}{I_{BQ}} \left[ \frac{1}{I_{BQ}} \frac{1.30}{2 \cdot 25 R_C} - 1 \right]$$

veya

$$R_g(opt) = \frac{V_T}{I_{BQ}} \left( \frac{1}{I_{BQ}} - \frac{0.575}{R_C} - 1 \right) \quad (8.10)$$

bulunur.  $V_{CEQ} = 12.5$  Voltta çeşitli kolektör akımları için (8.1) ve (8.10) ifadeleri ile hesap yapılırsa elde edilen sonuçların kolayca karşılaştırılabilmesi için tablo halinde verilmiştir (Tablo-8.1).

Tablo-8.1 Basitleştirme yapılarak çıkarılan (8.1) ve (8.10) bağıntıları ile elde edilen teorik sonuçlar

$I_{CQ}$ [mA]	$I_{BQ}$ [ $\mu$ A]	$R_C$ [K $\Omega$ ]	$R_g(opt)$ [K $\Omega$ ] (8.1) Bağıntısı	$R_g(opt)$ [K $\Omega$ ] (8.10) Bağıntısı
1	4.42	12.5	53.53	51.3
1.5	6.64	8	37.57	36.7
2.5	11.06	5	21.41	20.51
6	26.55	2	9.40	8.79
11	48.68	1	5.72	5.06

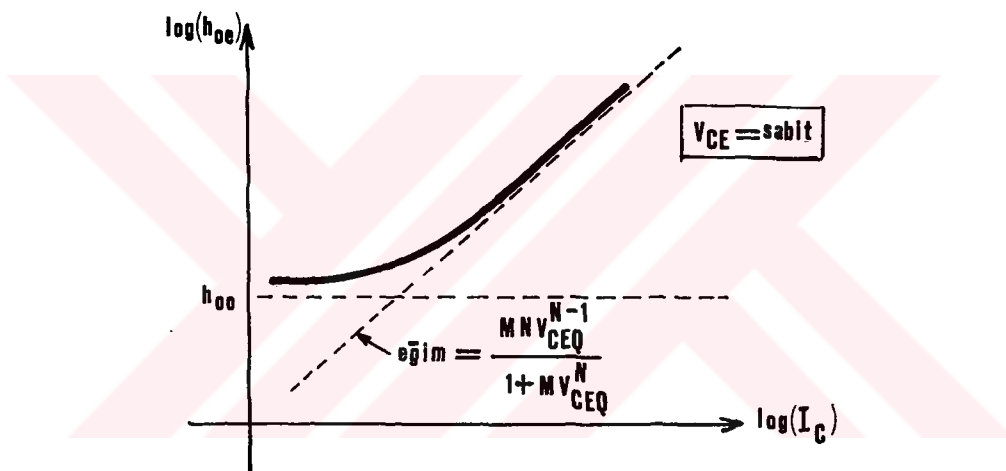
Yukarıdaki tablodan da görüleceği tam bağıntı (8.1) ile yaklaşık bağıntı (8.10) olan elde edilen sonuçlar birbirine oldukça yakındır. Şu halde fiziksel parametreleri ve dış şartları belli bir tranzistorla kurulan bir kuvvetlendiricide, optimum direncin bulunabilmesi oldukça kolaylaşmaktadır. Fiziksel parametre değerleri birbirine yakın veya aynı olması şartıyla tranzistorların değiştirilmesi halinde optimum  $R_g$  direncinin değerinin pek değişmeyeceği açıkça görülebilir. Yukarıdaki (8.7) ve (8.8) ifadelerinde  $h_{oe}$  çıkış iletkenliği de işin içine girdiğinden sırası gelmişken bu terime deðinmekte yarar vardır.

## 8.2. $h_{oe}$ Parametresinin $I_C$ Kolektör Akımı İle Değişimi

$h_{oe}$  Parametresinin kolektör akımı ile değişimini izah edebilmek için (8.6) ifadesini yeniden yazalım.

$$h_{oe} = \frac{MN^{N-1}}{1+MV_{CEQ}^N} I_C$$

Bu ifadede M ve N parametreleri verilen bir tranzistor için ölçülebilir veya bilinen sabit büyüklüklerdir.  $V_{CE}$  kolektör-emetör gerilimi sabit tutularak  $I_C$  kolektör akımı değiştirildiğinde  $h_{oe}$  nin değişimi çizilecek olursa, bu değişimin Şekil-8.1 de görüldüğü gibi  $MNV_{CEQ}^{N-1}/(1+MV_{CEQ}^N)$  eğimli asimtotu takibetmesi diğer deyişle bu değişimin doğrusal olması gerekmektedir.



Şekil-8.1 Kolektör akımının çıkış iletkenliğine bağlı değişimi

Fakat  $I_C$  kolektör akımının küçük değerlerinde, eğrinin  $h_{oe}$  ile gösterilen doğruya asimtot olduğu görülmektedir. Bunun nedeni küçük akımlarda  $R_{CB}$  kaçak direncinin etkili olmasıdır. O halde  $R_{CB}$  kaçak direncinden dolayı gelen terim,

$$h_{oe} = \frac{1+\beta_F (1+MV_{CEQ}^N)}{R_{CB}}$$

tarzındadır [21]. Şu halde  $I_C$  kolektör akımının küçük değerlerinde optimum kaynak direncinin bulunması amacıyla tasarım yapıldığında

gerek (8.8) gerekse içinde  $h_{oe}$  terimi bulunan diğer bağıntılar kullanılırken bu bağıntılardaki  $h_{oe}$  terimi yerine

$$h_{oe} = h_{oo} + h'_{oe}$$

teriminin konularak bir düzeltme yapılması gerekmektedir. Böylece  $I_C$  nin küçük değerlerinde  $h'_{oe}$  teriminden dolayı oluşacak hata giderilmiş olacaktır.

### 8.3. (5.13) Bağıntısının Kısıtlaması ve Yaklaşık Bağıntının Çıkarılması

Bölüm 5 de çıkarılan (5.13) bağıntısındaki sembollerin yerine bunların eşitleri yazılırsa, bazı terimlerin tekrarlandığı, bazı terimlerin de benzer olduğu görülür. Diğer taraftan  $b_1/b_2$  oranına karşılık düşen terimin pay ve paydası  $(1+MV_{CEQ}^N)^2$  terimi ile bölünürse,

$$\frac{MNV_{CEQ}^{N-1} I_{CQ}}{(1+MV_{CEQ}^N)}$$

terimi ortaya çıkar ki bu da  $h'_{oe}$  dür. O halde,

$$E1 = 1/\beta_{Fo}$$

$$E2 = e^{-\frac{V_{BEQ}}{2V_T}}/2$$

$$I'_{CQ} = I_{so} e^{-\frac{V_{BEQ}}{V_T}}$$

$$A4 = (1+h'_{oe} R_C)$$

$$\beta_{FM} = \beta_{Fo} (1+MV_{CEQ}^N)$$

$$A5 = M R_C V_{CEQ}^{N-1} I_{CQ} \left(1 + \frac{M}{2} V_{CEQ}^N\right)^{-\frac{1}{2}}$$

$$A6 = \left(1 + \frac{M}{2} V_{CEQ}^N\right)^{-\frac{1}{2}}$$

$$A7 = -(N-1) R_C V_{CEQ}^{-1} I_{CQ}$$

$$A8 = \frac{1}{4} N M V_{CEQ}^{N-1} I_{CQ} R_C \left(1 + \frac{M}{2} V_{CEQ}^N\right)^{-1}$$

$$A9 = \frac{1}{A6} = \left(1 + \frac{M}{2} V_{CEQ}^N\right)^{\frac{1}{2}}$$

$$K1 = \sqrt{I_{CQ} I_{SO}}$$

$$A10 = \beta_{FO} M N I_{CQ}^2 R_C V_{CEQ}^{N-1}$$

olmak üzere (5.13) bağıntısı

$$R_g(\text{opt}) = \frac{V_T}{I_{CQ}' (E1 + C_2 \cdot E2)} \left\{ \frac{1}{I_{CQ}'} \frac{E1 + C_2 \frac{E2}{2}}{(E1 + C_2 \cdot E2)^2} \frac{\left[ A4 \cdot I_{CQ} + C_2 \frac{\beta_{FM}}{4} K1 (A6 - \frac{A5}{2}) \right]^2}{A10 (A7 + 2 \cdot A4) I_{CQ}' - C_2 \frac{\beta_{FM}^2}{4} K1 \left[ N \cdot A5 (A7 + A8 + A9) + A6 \right]}^{-1} \right\} \quad (8.11)$$

tarzında bir mertebe daha kısaltılarak yazılabilir. Yukarıdaki K1 ve E2 terimleri dışında kalan diğer terimlerin belli bir tranzistor için ya da bütün parametreleri birbirinin aynı ya da birbirine çok yakın olan tranzistörler için belli bir  $V_{CE}$  değerinde akım ve buna bağlı olarak  $R_C$  değiştirilse bile değerlerinin sabit olduğu görülür. (8.11) bağıntısında değerleri sabit olan terimlerden oluşan grupta değerlerinin sabit kalacağı açıktır. Bağıntıyı daha da kısa yazabilmek amacıyla bu gruplara

$$A11 = A6 + \frac{A5}{2}$$

$$A12 = N \cdot A5 (A7 + A8 + A9) + A6$$

$$A13 = A10(A7+2.A4)$$

$$A14 = C_2 \frac{\beta_{FM}}{2} A11 \sqrt{I_{so}}$$

$$A15 = C_2 \frac{\beta_{FM}^2}{4} A12 \sqrt{I_{so}}$$

$$E3 = E1 + C_2 \frac{E2}{2}$$

$$E4 = E1 + C_2 E2$$

denirse (8.11) bağıntısı,

$$R_g(opt) = \frac{V_T}{I_{CQ}' E4} \left[ \frac{1}{I_{CQ}'} - \frac{E3}{(E4)^2} \frac{(A4 \cdot I_{CQ} + A14 \sqrt{I_{CQ}})^2}{(A13 \cdot I_{CQ} - A15 \sqrt{I_{CQ}})} - 1 \right] \quad (8.12)$$

tarzında yazılabılır.  $V_{CE}$  kolektör-emetör geriliminin örneğin 12.5 Voltta sabit tutulup sabit terimlerin değerleri yazılacak olursa (8.12) bağıntısı,

$$R_g(opt) = \frac{V_T}{\frac{V_{BEQ}}{I_{so} e} \left( \frac{1}{\beta_{FO}} + \frac{c_2}{2} e^{-\frac{V_{BEQ}}{2V_T}} \right)} \left[ \frac{1}{\frac{V_{BEQ}}{I_{so} e} \left( \frac{1}{\beta_{FO}} + \frac{c_2}{2} e^{-\frac{V_{BEQ}}{2V_T}} \right)} \left( \frac{1}{\beta_{FO}} + \frac{c_2}{2} e^{-\frac{V_{BEQ}}{2V_T}} \right) \frac{(1.041 I_{CQ} + 2.6505 10^3 \sqrt{I_{CQ}})^2}{(24.216 I_{CQ} - 3.286 10^1 \sqrt{I_{CQ}})} - 1 \right] \quad (8.13)$$

haline gelerek kısaltılmış olur. Şu halde tranzistorun parametreleri bilindiğine göre dış şartların verilmesi yeterlidir. Önce, belirlenen  $V_{CEQ}$  ya ilişkin sabit terimlerin değerleri hesaplanarak (8.13) bağıntısında yerine konur. Daha sonra çeşitli  $I_{CQ}$  kolektör akımı ve buna ilişkin (4.24) bağıntısı yardımıyla hesaplanan  $V_{BE}$  baz-emetör geriliği aynı bağıntıda yerine konursa ikinci harmonik distorsyonunu en aza (pratik olarak sıfır) indirecek olan kaynak direnci bulunabilir.

(8.13) Bağıntısında köşeli parantez içindeki

$$\frac{1}{\beta_{Fo}} + \frac{C_2}{4} - \frac{V_{BEQ}}{e^{2V_T}} \approx \frac{1}{\beta_{Fo}} + \frac{C_2}{2} - \frac{V_{BEQ}}{e^{2V_T}}$$

ifadeler yaklaşık olarak birbirine eşit olduğundan gerekli kısaltma yapılrsa (8.13) ifadesi

$$R_g(\text{opt}) = \frac{\frac{V_T}{I_{so} e^{\frac{V_{BEQ}}{V_T}} \left( \frac{1}{\beta_{Fo}} + \frac{C_2}{2} - \frac{V_{BEQ}}{2V_T} \right)}}{\left[ \frac{1}{I_{so} e^{\frac{V_{BEQ}}{V_T}}} \frac{1}{\left( \frac{1}{\beta_{Fo}} + \frac{C_2}{2} - \frac{V_{BEQ}}{2V_T} \right)} \frac{(1.041 I_{CQ} + 2.605 10^3 \sqrt{I_{CQ}})^2}{(24.216 I_{CQ} - 3.286 10^1 \sqrt{I_{CQ}}) - 1} \right]} \quad (8.14)$$

halinde yaklaşık olarak yazılabilir. Diğer taraftan 1 mA mertebeleme kadar

$$\frac{1}{\beta_{Fo}} \gg \frac{C_2}{2} - \frac{V_{BEQ}}{2V_T}$$

olduğundan bir yaklaşık daha yapılarak (8.14) bağıntısı

$$R_g(\text{opt}) = \frac{\frac{\beta_{Fo} V_T}{I_{so} e^{\frac{V_{BEQ}}{V_T}}}}{\left[ \frac{\beta_{Fo}}{I_{so} e^{\frac{V_{BEQ}}{V_T}}} \frac{(1.041 I_{CQ} + 2.605 10^3 \sqrt{I_{CQ}})^2}{(24.216 I_{CQ} - 3.286 10^1 \sqrt{I_{CQ}}) - 1} \right]} \quad (8.15)$$

tarzında yazılabilir.

(8.13), (8.14) ve (8.15) bağıntıları kullanılarak elde edilen sonuçların karşılaştırılabilmesi için tablo halinde verilmiştir (Tablo-8.2).

Tablo-8.2 Yaklaşıklık yapılarak çıkarılan (8.13), (8.14) ve (8.15) bağıntıları ile elde edilen teorik sonuçlar

$v_{CE}$ [V]	$I_C$ [mA]	$R_g(opt)$ [KΩ] (8.13)Bağınt.	$R_g(opt)$ [KΩ] (8.14)Bağınt.	$R_g(opt)$ [KΩ] (8.15)Bağınt
12.5	1	98.87	97.28	114
	1.5	57.31	56.15	63.99
	2.5	29.14	29.89	33.12
	6	10.76	10.497	11.699
	11	5.138	5.205	5.468

Yukarıdaki tablo incelendiğinde (8.13) bağıntısı ile elde edilen değerlerin (8.11) bağıntısı ile elde edilen değerlerle (Tablo-4.4) uyuştuğu görülmektedir. (8.14) yaklaşık bağıntısı ile de elde edilen sonuçlar arasında da pek fark yoktur. (8.15) yaklaşık bağıntısı ile elde edilen sonuçlarda görülen fark ise 1.5 mA e kadar olan kısma kadar makul karşılaşabilir. Ancak 1 mA e tekabül eden direnç değerinde oldukça büyük fark görülmekte ise de bunun

$$\frac{1}{\beta_{FO}} \gg \frac{C_2 - \frac{V_{BEQ}}{2V_T}}{2e}$$

yaklaşıklığından diğer deyişle  $C_2$  katsayısının ihmal edilmesinden dolayı olduğu açıktır.

#### 8.4. (7.13) Bağıntısının Kısıtlılması ve Yaklaşık Bağıntının Çıkarılması

Bölüm 7 de çıkarılan (7.13) bağıntısındaki sembollerin yerine bunların (7.14) de verilen eşitleri yazılırsa, bazı terimlerin tekrarlandığı bazı terimlerin de benzer olduğu görülür. Diğer taraftan  $b_1/b_2$  oranına karşılık düşen terimin pay ve paydası  $(1+MV_{CEQ}^N)^2$  terimi ile bölnürse,

$$\frac{MNV_{CE}^{N-1} I_{CQ}}{(1+MV_{CEQ}^N)}$$

terimi çıkar -ki bu da  $h'_{oe}$  den başka birşey değildir- ve diğer terimlerin de kısaltıldığı görülür. Buna göre kısaltılmış terimler,

$$A4 = 1 + h'_{oe} R_C$$

$$A15 = I_{so} \left(1 + \frac{M}{2} V_{CEQ}^N\right)^2$$

$$B5 = 2 + (3 + MV_{CEQ}^N) \left[ MV_{CEQ}^N + \frac{1}{2} h'_{oe} R_C (3 + MV_{CEQ}^N) \right] / (1 + MV_{CEQ}^N)$$

$$D4 = (A15)^2 \cdot D5 \cdot R_C$$

$$D5 = \beta_{Fo} N M V_{CEQ}^{N-1}$$

$$D6 = R_C V_{CEQ}^{-1} I_{CQ}$$

$$D7 = (1-N) \cdot D6 + 2 \cdot A4$$

$$D8 = I_{so} \left(1 + \frac{M}{2} V_{CEQ}^N\right) \beta_{Fo}$$

$$D9 = \left(1 + \frac{M}{2} V_{CEQ}^N\right) \left[ 2 + MV_{CEQ}^N (3 + MV_{CEQ}^N) + N(1-N) MV_{CEQ}^N (D6)^2 \left(\frac{3}{2} + 2MV_{CEQ}^N\right) \right]$$

$$D12 = h'_{oe} R_C$$

$$D11 = (3 + 2MV_{CEQ}^N) \left\{ 2 + MV_{CEQ}^N \left[ 3 + MV_{CEQ}^N + N \cdot D6 \cdot \left(\frac{3}{2} + MV_{CEQ}^N\right) \right] \right\}$$

olmak üzere (7.13) bağıntısı kısaltılmış olarak

$$R_g(opt) \approx \frac{V_T}{I'_{BQ}} \left\{ \frac{1}{I'_{BQ}} \frac{(A15 \cdot A4 + \theta^2 I_{CQ} \cdot B5)^2}{(A15)^2 \cdot D5 \cdot [(1-N) \cdot D6 + 2 \cdot A4] R_C + \theta^2 \cdot D8 \cdot (D9 + D12 \cdot D11)} - 1 \right\} \quad (8.16)$$

tarzında yazılabilir. Bu bağıntıda bazı ihmaller ve yaklaşıklıklar yapılabilir. Yukarıdaki terimler incelemişinde,

$$A4 \approx 1$$

$$B5 \approx 2 / (1 + MV_{CEQ}^N)$$

olduğu ve

D9>>D12.D11

olduğundan D9 yanında D12.D11 çarpımı ihmal edilebilir. Bunlar göz-önüne alınırsa (8.16) bağıntısı

$$R_g(\text{opt}) \approx \frac{V_T}{I_{BQ}'} \left\{ \frac{1}{I_{BQ}'} - \frac{\frac{A15 + \theta^2 I_{CQ} \cdot B5}{(A15)^2 \cdot D5 [(1-N) \cdot D6 + 2 \cdot A4]} R_C + \theta^2 \cdot D8 \cdot D9}{-1} \right\}$$

tarzında daha kısaltılarak yazılabilir. Bu bağıntıdaki semboller ye-rine doğrudan eşitlikleri yazılırsa,

$$R_g(\text{opt}) \approx \frac{V_T}{I_{BQ}'} \left\{ \frac{1}{I_{BQ}'} - \frac{\left[ I_{so} \left( 1 + \frac{M}{2} V_{CEQ}^N \right)^2 + \theta^2 I_{CQ}^2 / (1 + M V_{CEQ}^N) \right]^2}{I_{so} \left( 1 + \frac{M}{2} V_{CEQ}^N \right)^2 \beta_{Fo} \left[ I_{so} \left( 1 + \frac{M}{2} V_{CEQ}^N \right)^2 N M V_{CEQ}^{N-1} (3-N) R_C + \theta^2 (2+3 M V_{CEQ}^N + M^2 V_{CEQ}^{2N}) \right]} -1 \right\} \quad (8.16)$$

elde edilir. Yine bu bağıntıda  $3 M V_{CEQ}^N > M^2 V_{CEQ}^{2N}$  olduğundan  $3 M V_{CEQ}^N$  terimi  $M^2 V_{CEQ}^{2N}$  yanında ihmal edilirse (8.16) bağıntısı,

$$R_g(\text{opt}) \approx \frac{V_T}{I_{BQ}'} \left\{ \frac{1}{I_{BQ}'} - \frac{\left[ I_{so} \left( 1 + \frac{M}{2} V_{CEQ}^N \right)^2 + \theta^2 I_{CQ}^2 / (1 + M V_{CEQ}^N) \right]^2}{I_{so} \left( 1 + \frac{M}{2} V_{CEQ}^N \right)^2 \beta_{Fo} \left[ I_{so} \left( 1 + \frac{M}{2} V_{CEQ}^N \right)^2 N M V_{CEQ}^{N-1} (3-N) R_C + \theta^2 (2+3 M V_{CEQ}^N) \right]} -1 \right\} \quad (8.17)$$

tarzında yazılabilir. Bu bağıntıda  $\left( 1 + \frac{M}{2} V_{CEQ}^N \right) \approx 1$  alınırsa bağıntı bir mertebe daha kısaltılarak

$$R_g(\text{opt}) = \frac{V_T}{I_{BQ}'} \left\{ \frac{1}{I_{BQ}'} - \frac{\left( I_{so} + 2 \theta^2 I_{CQ} \right)^2}{I_{so} \beta_{Fo} \left[ 2 I_{so} N M V_{CEQ}^{N-1} R_C + \theta^2 \cdot (2+3 M V_{CEQ}^N) \right]} -1 \right\} \quad (8.18)$$

bağıntısı elde edilir. Bölüm 7 deki tranzistor için aynı şartlar al-tında olmak üzere aynı değerler verilerek (8.16), (8.17) ve (8.18) bağıntıları ile elde edilen sonuçlar tablo halinde aşağıda verilmiş-tir (Tablo-8.3). Bu tablodan gerçek bağıntı ile yaklaşık bağıntıla-rın verdiği sonuçlar arasındaki farkın pek fazla olmadığı kolayca gö-rülebilir.

Tablo-8.3 Büyük akımlara ilişkin ifadenin basitleştirilmesinden elde edilen ifadelerin verdiği teorik sonuçlar

$V_{CE}$ [V]	$I_C$ [mA]	$R_C$ [kΩ]	$R_g(opt)$ [KΩ] (8.16) Bağınt.	$R_g(opt)$ [KΩ] (8.17) Bağınt.	$R_g(opt)$ [KΩ] (8.18) Bağınt.
12.5	11	1	3.28	3.39	3.63

Yine yukarıdaki (8.16) bağıntısında tranzistorun parametreleri belli iken belli bir  $V_{CE}$  kolektör emetör gerilimi için D5 terimi dışında bazı terimlerin değerlerinin sabit kaldığı, bazı terimlerin değerlerinin de pek fazla değişmediği gözlenmektedir. O halde bu terimler örneğin  $V_{CE} = 12.5$  V için hesaplanıp, bulunan değerler aynı bağıntıda yerine konursa,

$$R_g(opt) = \frac{V_T}{I'_{BQ}} \left[ \frac{1}{I'_{BQ}} \frac{(1.959 + I_{CQ}) 1.042 \cdot 10^{-13}}{(7.026 \cdot 10^{-28} \cdot R_C + 4.684 \cdot 10^{-25})} - 1 \right] \quad (8.19)$$

bulunur. O halde büyük değerli kolektör akımlarında devre tasarımlı sözkonusu olduğu zaman kullanılacak olan (8.19) bağıntısında  $V_{CE}$  nin dışında sadece  $I_C$  kolektör akımı ile  $R_C$  kolektör direncinin verilmesi yeterlidir.  $I'_{BQ}$  baz akımı ise (7.8) ifadesine göre hesaplanan  $I_{BQ}$  baz akımından başka birsey değildir.

### SONUÇLAR VE ÖNERİLER

Bu tezde dirençle yüklü tranzistorlu kuvvetlendiricilerde oluşan harmonik distorsyonunun azaltılması için yapılan çalışmaların yetersiz kalan yanları araştırılmış, tek katlı kuvvetlendiricilerde baskın bileşen olan ikinci harmonik distorsyonunun minimum yapılması ni sağlayan optimum  $R_g$  sürücü kaynak direncini hesaplamak üzere, akım kazancının akıma bağımlılığı da gözönüne alınarak ve Early olayının fiziksel olarak modellenmesinden hareket edilerek farklı çalışma bölgeleri için yeni analitik bağıntılar çıkartılmıştır.

İkinci harmonik distorsyonunu teorik olarak sıfır yapan sürücü kaynak direnci şartı çıkartılırken çıkış özeğrilerinde sabit baz akımı doğrularının belli eğimli düz doğrular şeklinde değiştiği kabulünün yetersiz kaldığı gösterilmiş, Early olayını temsil etmek üzere çıkış özeğrilerinin sabit eğimli doğrular şeklinde kabul edilen geometrik yaklaşım yerine eleman fiziğinden hareketle çıkartılmış olan ve presizyonlu sonuçlar veren geliştirilmiş Ebers-Moll modelinin hareket noktası olarak alınmasıyla daha gerçekçi sonuçlar veren bir bağıntı elde edileceği ortaya konmuştur.

Bu hareket noktasından yola çıkılarak kolektör akımının işaret kaynağını gerilimine bağlı olarak değişimini veren bağıntı, geliştirilmiş Ebers-Moll modelinde Early olayını temsil eden M ve N fiziksel parametreleri cinsinden elde edilmiştir. Bu bağıntıdan yararlanılarak ikinci harmonik distorsyonunun minimum olma şartı aynı fiziksel parametreler cinsinden elde edilmiştir. Daha sonra analitik bağıntı ile elde edilen sonuçlar ve nümerik analiz sonuçları birbirleriyle karşılaştırılarak aralarındaki farkın sebebi üzerinde durulmuştur. Küçük ve büyük akımlara doğru gidildikçe ortaya çıkan farklılığın  $\beta_F$  akım kazancının  $I_C$  kolektör akımına bağımlılığının bir sonucu olduğu vurgulanmıştır. Bu özelliğin çıkartılan bağıntıya ne şekilde katılabileceği araştırılmış ve bağıntı kapsamına alınmasının EM3 modelinde aynı

olayları temsil eden parametrelerin burada da kullanılmasıyle mümkün olabileceği ortaya konmuştur. Değişim, önce burada belirgin olduğundan orta ve küçük akımlar bölgesinde incelenmiş, bu bölge için farklı model parametrelerinin kullanıldığı bir bağıntı çıkartılmış ve önerilmiştir. Orta ve küçük akımlar bölgesi için tanımlanan  $C_2$  Sah-Noyce-Schokley katsayısının elemanın davranışını belirlemek açısından önem taşıdığı gösterilmiş, bu amaçla sözkonusu bölgede kolektör akımı ile baz akımı arasındaki bağıntı tam olarak verilmiş ve bağıntıdan yararlanılarak ikinci harmonik distorsiyonunun minimum olma şartını veren bağıntı geliştirilmiştir.

Büyük akımlarda etkili olan Webster olayının etkisini dikkate almak üzere EM3 modelinin  $\theta$  parametresinden yararlanılmış, çıkarılan analitik ifade kapsamına alınabilmesi amacıyla baz akımı ile kolektör akımı arasındaki bağıntı yeniden düzenlenmiştir.

Elde edilen bağıntıların presizyonlu olmalarına karşılık uzun oldukları ancak bilgisayar programları ile kolayca kullanılabilecekleri gösterilmiştir. Çıkarılan analitik ifadelerin sadeleştirilmesi halinde daha basit ve pratik ifadelerin elde edilebileceği ve elde edilen sonuçların öncekilere göre pek farklı olmayacağı gösterilmiştir.

Harmonik distorsiyon ile intermodülasyon distorsiyonu arasında sıkı bir ilişki olduğu gözönüne alınırsa, intermodülasyon distorsiyonun aynı bağıntılardan yararlanılarak minimum yapılabileceği açıklır.

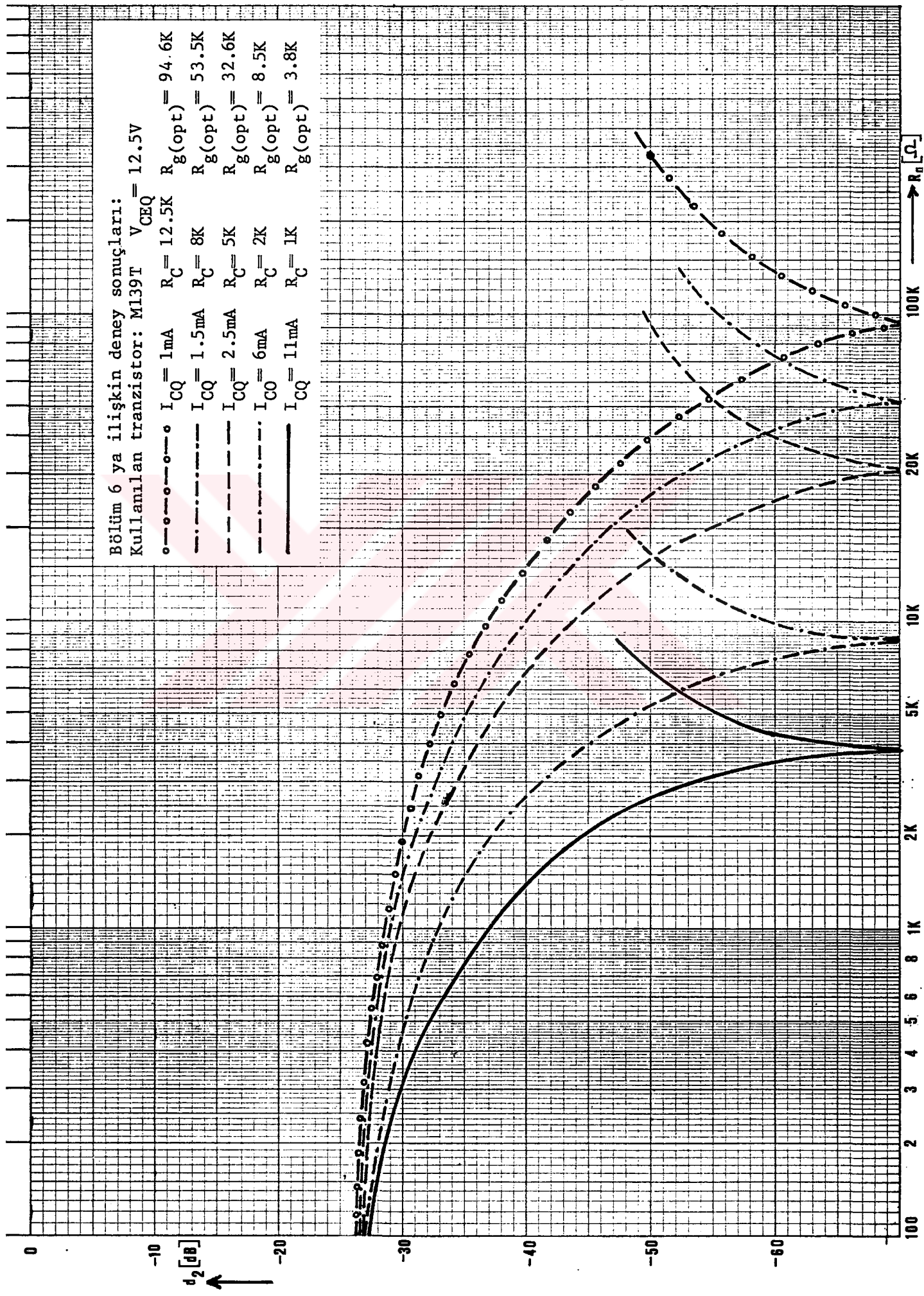
Bu tezde kullanılan bağıntı ve sonuçlardan yararlanılarak uzun kuyruklu devrelerdeki distorsiyonun incelenmesinde yeni olanaklar elde edilmektedir.

KAYNAKLAR

- [1] SPESCHA,G.A., STRUTT,M.J.O., Theoretische und Exprimentelle Untersuchung der Verzerrungen in Niederfrequenz-Flachen-Tranzistor-Vierpolen, Arch.Elekt.Übertr, August, 1957
- [2] MEYER,N.I., Non-linear Distortion in Transistor Amplifiers at Low Signal Levels at Low Frequencies, Prog.Inst.Elect.Eng. March 1957
- [3] ABBE van H.H., SLAGMAAT, Non-linear distortion of Transistorised Amplifiers, Electronic Applications, 1059-1960
- [4] LEBLEBİCİ,D., Tranzistorlu gerilim kuvvetlendiricilerinde minimum distorsiyon şartı ve devre hesabına uygulanması, (Doçentlik Tezi) 1975, İ.T.Ü.Kütüphanesi, Sayı:1016
- [5] HONICKE,H., Verzerrungsverhalten von Gegenkoppelten Transistortufen bei tiefen Frequenzen, Feb.1964
- [6] MILLMAN,J., HALKIAS,C., Integrated Electronics: Analog and Digital Circuits and Systems, McGraw-Hill Company, N.Y. 1972
- [7] SIMONS, Decibel Relationships Between Distortion Products, Proc.IEEE, Vol.58, No.7, Page 1071-1075, July 1970
- [8] LEBLEBİCİ,D., Geliştirilmiş bir Ebers-Moll Modeli, Rapor 80-14 İ.T.Ü.Elektrik Fakültesi, Elektronik ve Yüksek Frekans Tekniği Kürsüsü, 1980
- [9] GRANVILLE,W.A., SMITH,P.F., LONGLEY,W.R., Diferansiyel ve Integral Hesap, Çeviren: N.,İskender 1950
- [10] SCARBOROUGH,J.B., Numerical Mathematical Analysis, P. 96
- [11] MACDONALD,J.R., Nonlinear Distortion Reduction by Complementary Distortion, IRE Trans.on Audio, C.AU-7, No.5, P.128-133 Sept.-Oct. 1959
- [12] EARLY,J.M., Effects of Space-Charge Layer Widening in Junction Tranzistors Proc. IRE, Vol.40, P.1406, 1982
- [13] ÖZMEN,H., Düşük Distorsyonlu Ses Frekansı Kuvvetlendiricisinin Bilgisayar Yardımıyle Tasarlanması, Bitirme Ödevi 1983-84 İ.T.Ü.Elektrik-Elektronik Fakültesi
- [14] ÇELİK,H., Geliştirilmiş Bir Lineer olmayan Devre Analizi Programı Bitirme Ödevi, 1985, İ.T.Ü.Elektrik-Elektronik Fakültesi

- [15] SAH,C.T., Effect of Surface Recombination and Channel on p-n Junction and Transistor Characteristics. IRE Tarns.Elec. Devices, Vol.ED-9, p.94-108, Jan. 1962
- [16] BITTMAN,C.A., WILSON,G.H., WHITTIER, R.J., WAITS,R.K., Technology for the Design of Low Power Circuit, IEEE J. Solid-State Circuits, Vol,SC-5, p.29-37, Feb. 1970
- [17] WEBSTER,W.M., On the Variation of Junction-Transistor Current-Amplification Factor with Emitter Current, Proc. IRE, Vol. 42, p.914-920, June 1954
- [18] KUNTMAN,H., Ebers-Moll Modeli Üzerinde Yeni Bir Modifikasyon, Doktora çalışması, s.35, 1982, İ.T.Ü.Elektrik Fakültesi
- [19] GETREU,J., Modeling the Bipolar Transistors, Textronix Inc. Beaverton, Oregon 1976
- [20] KUNTMAN,H., ÇELİK,H., A nonlinear analysis and Simulation Program for Bipolar Transistor Circuits, Bull, Tech.Univ. Istanbul, Vol.39, p.89-107, 1986
- [21] KUNTMAN,H., Ebers-Moll Modeli üzerinde yeni bir modifikasyon Doktora çalışması, s.43, İ.T.Ü.Elektrik Fakültesi, 1982
- [22] ZIEL,D.V., Solid State Physical Electronics, Prentice Hall, 1976
- [23] LINDHOLM,F.A., HAMILTON,D.J., Incorporation of the Early Effect in the Ebers-Moll Model, Prof.IEEE, Vol.59, p.1377-1378 1971
- [24] KIRK,C.T., A Theory of Transistor Cutoff Frequency ( $f_T$ ) Falloff at High Current Densities, IRE Trans.Elec.Devices, Vol. ED-9, p.164-174, March 1962
- [25] KUNTMAN,H., "Application of Modified Ebers-Moll Model to Nonlinear Distortion Analysis of Transistor Amplifiers", Electronic letters 17 th Feb.1983, Vol.19, No.4
- [26] MACHEK,J.FULOP,W., "Numerical Analysis of Harmonic Distortion in a Bipolar Transistor", Nasecode II Conference, June, 1981
- [27] CHOMA,J., "Harmonic and Intermodulation Distortion in Current Feedback Bipolar Transistor Amplifiers", IEE.Proc. 128 Pt 6,5, October, 1981
- [28] MARTINEZ,P.A., LOZAND,M., "Nonlinear Distortion in Current-Feedback Amplifiers", Microelectronics Journal, Vol.16, No.5, 1985
- [29] MURRAY,R.S., Schaum's Outline of Theory and Problems of Complex Variables. Schaum Publishing Company, p.143,1964.

EK A : BÖLÜM 6 DA YAPILAN DENEYDEN ELDE EDİLEN VERİLERLE ÇİZİLEN EĞRİLER



EK B : (4.11) BAĞINTISINA İLİŞKİN BİLGİSAYAR PROGRAMI

```
5 REM R
10 REM Bu Program Rg(opt) direncinin (4.11) analitik bağıntisi
    ile hesaplanmasında kullanılır. (not: SAH-NOYCE-SCHOCKLEY
    ve WEBSTER olayları bu bağıntıda temsil edilmemektedir.)
20 INPUT "M="; M
30 INPUT "N="; N
40 INPUT "BFO="; BFO
50 INPUT "VT="; VT
60 INPUT "ISO="; ISO
70 INPUT "VCC="; VCC
80 INPUT "RC="; RC
90 INPUT "ICQ="; ICQ
100 INPUT "VCEQ="; VCEQ
110 VCEK=VCC-ICQ*(RC+RE)
120 IBQ=ICQ/(BFO*(1+M*VCEQ^N))
130 R1=VT/IBQ
140 R2=1/IBQ
150 A=M*VCEQ^N*(1+N*RC*VCEQ^-1*ICQ)
160 B1=-M*N*VCEQ^(N-1)*RC
170 B2=(N-1)*RC*VCEQ^-1*ICQ
180 B3=BFO*(1+M*VCEQ^N)^2
190 B=B1*B2*B3
200 D1=2*BFO*M*N*RC*VCEQ^(N-1)*(1+M*VCEQ^N)
210 D2=1+M*VCEQ^N*(1+N*RC*VCEQ^-1*ICQ)
220 D=D1+D2
230 RG=R1*(R2*(1+A)^2/(B+D)-1)
240 RG=RG*.001
250 PRINT "RG(opt)="; RG; "Kohm"
260 STOP
```

EK C : (5.13) BAĞINTISINA İLİŞKİN BİLGİSAYAR PROGRAMI

```
10 REM RR
20 REM Bu Program Rg(opt)direncinin (5.13) analitik bagintisi
    ile hesaplanmasinda kullanilir.
    (not:SAH-NOYCE-SCHOCKLEY olayi bu bagintinin kapsamina
     alinmistir.)
30 INPUT "M=";M
40 INPUT "N=";N
50 INPUT "BFO=";BFO
60 INPUT "VT=";VT
70 INPUT "C2=";C2
80 INPUT "ISO=";ISO
90 INPUT "VCC=";VCC
100 INPUT "RC=";RC
110 INPUT "ICQ=";ICQ
120 INPUT "VCEQ=";VCEQ
130 IBQ=(ICQ*SQR(ICQ)+BFO*(1+M*VCEQ^N)*C2*SQR((ISO*
    (1+M/2*VCEQ^N)))*ICQ)/(BFO*(1+M*VCEQ^N)*SQR(ICQ))
140 U1=(-C2*ISO+SQR((C2*ISO)^2+4*IBQ*ISO/BFO))/(2*ISO/BFO)
150 U=U1^2
160 VBEQ=VT*LOG(U)
170 S1=-VBEQ/(2*VT)
180 S2=VBEQ/VT
190 E=1/BFO+C2/2*EXP(S1)
200 D=1/BFO+C2/4*EXP(S1)
210 A=M*VCEQ^N*(1+N*RC*VCEQ^-1*ICQ)
220 A1=BFO*(1+M*VCEQ^N)^2*SQR((ISO*ICQ))
230 A2=-1/4*M*RC*VCEQ^(N-1)/SQR((1+M/2*VCEQ^N))*ICQ+1/2*SQR((1+M/2*VCEQ^N))
240 A3=A1*A2
250 B=BFO*(1+M*VCEQ^N)*ICQ^2*M*N*RC*VCEQ^(N-1)
260 B1=-RC*VCEQ^-1*ICQ*(N-1)*(1+M*VCEQ^N)
270 B2=2*(1+M*VCEQ^N*(1+RC*N*VCEQ^-1*ICQ))
280 B9=B*(B1+B2)
290 B3=BFO^2*(1+M*VCEQ^N)^4*SQR((ICQ*ISO))
300 B6=1/4*M*N*RC*VCEQ^(N-1)*ICQ/SQR(1+M/2*VCEQ^N)
310 B7=-(N-1)*VCEQ^-1*RC*ICQ+1/4*N*M*VCEQ^(N-1)*ICQ*
    RC/(1+M/2*VCEQ^N)+1/SQR((1+M/2*VCEQ^N))
320 B8=1/4*SQR((1+M/2*VCEQ^N))
330 B5=(B6*B7+B8)
340 B10=B3* B5
350 R5=VT/(EXP(S2)*ISO*E)
360 R6=1/(ISO*EXP(S2))
370 R7=D/E^2
380 RG2=R5*(R6*R7*(1+A)^2/(BS*BK)-1)
390 RG1=R1*(R2*(1+A)^2/(BK*BS)-1)
400 RG3=R5*(R6*R7*((1+A)*ICQ+C2*A3)^2/(B9-C2*B10)-1)
410 RG3=RG3*. 001
420 PRINT"RG3=";RG3;"Kohm"
430 LPRINT"RG3=";RG3
440 PRINT"DEVAM MI?";" E/H?"
450 INPUT"A$=";A$
460 IF A$="E" THEN GOTO 100
470 IF A$="H" GOTO 500
480 PRINT" DIKKAT ! E YA DA H YAZINIZ!"
490 GOTO 450
500 STOP
```

EK D : (7.13) BAĞINTISINA İLİŞKİN BİLGİSAYAR PROGRAMI

```
10 REM RRR
20 REM Bu Program Rg(opt) direncinin (7.13) analitik bağıntisi
     ile hesaplanmasıında kullanılır.
     (Not:WEBSTER olayı bu bağıntının kapsamına alınmıştır.)
30 INPUT "M=";M
40 INPUT "N=";N
50 INPUT "VT=";VT
60 INPUT "BFO=";BFO
70 INPUT "ISO=";ISO
80 INPUT "VCC=";VCC
90 INPUT "RC=";RC
100 INPUT "ICQ=";ICQ
110 INPUT "VCEQ=";VCEQ
120 INPUT "TETA=";TE
130 IBQ=(ICQ*ISO*(1+M/2*VCEQ^N)+TE^2*ICQ^2)/
     (BFO*(1+M*VCEQ^N)*ISO*(1+M/2*VCEQ^N))
140 R1=VT/IBQ
150 R2=1/IBQ
160 A1=ISO*(1+M/2*VCEQ^N)^2
170 A2=1+M*VCEQ^N*(1+RC*N*VCEQ^-1*ICQ)
180 A0=A1*A2
190 B1=3+RC*N*VCEQ^(-1)*3/2*ICQ
200 B2=M*VCEQ^N*(1+1/2*RC*N*VCEQ^-1*ICQ)
210 B0=2+M*VCEQ^N*(B1+B2)
220 D10=ISO^2*(1+M/2*VCEQ^N)^4*(1+M*VCEQ^N)*BFO
230 D20=-M*RC^2*N*(N-1)*VCEQ^(N-2)*ICQ*(1+M*VCEQ^N)
240 D30=2*M*N*RC*VCEQ^(N-1)*(1+M*VCEQ^N+RC*N*M*VCEQ^(N-1)*ICQ)
250 D0=D10*(D20+D30)
260 E10=BFO*ISO*(1+M*VCEQ^N)*(1+M/2*VCEQ^N)
270 E20=(1+M*VCEQ^N)*(1+M/2*VCEQ^N)
280 E30=2+M*VCEQ^N*(3+M*VCEQ^N)-N*RC^2*M*VCEQ^(N-2)*
     ICQ^2*(3/2*(N-1)+M*VCEQ^N*(2*N-1))
290 E40=M*RC*N*VCEQ^(N-1)*ICQ*(3+2*M*VCEQ^N)
300 E50=2+M*VCEQ^N*((3+M*VCEQ^N)+N*RC*VCEQ^-1*
     ICQ*(3/2+M*VCEQ^N))
310 EO=E10*(E20+E30+E40+E50)
320 RG=R1*(R2*(A+TE^2*ICQ*B)^2/(D+TE^2*E)-1)
330 RG= RG*.001
340 PRINT "RG=";RG           "Kohm"
350 PRINT "DEVAM MI? "; "E/H?"
360 INPUT "A$=";A$
370 IF A$="E" THEN GOTO 120
380 IF A$="H" GOTO 410
390 PRINT "DIKKAT ! YA E YA DA H YAZINIZ"
400 GOTO 360
410 STOP
```

EK:E

Bu tezde serilerden geniş ölçüde yararlanılmıştır. Seriler bir veya birden fazla sayıda değişken cinsinden ifade edildiğine göre, bu değişkenlerin aldıkları değerlere göre yakınsamaları veya iraksamaları sözkonusu olmaktadır. Bu yüzden bu ekte, tezde kullanılmış olan serilerin yakınsaklık koşulları incelenmiştir.

$x$  bir değişken ve  $a_1, a_2, a_3 \dots$  katsayıları  $x$  e bağlı olmayan katsayılar olmak üzere,  $x$  in kuvvetleri cinsinden bir kuvvet serisi

$$a_0 + a_1 x + a_2 x^2 + a_3 x^3 + \dots + a_n x^n + \dots$$

birimde ifade edilir.

Bir fonksiyon bu biçimde yazılabilen ve yakınsak olmak koşulu ile bir kuvvet serisi ile gösterilebilir.

$f(x)$  ile gösterilen bir fonksiyon,  $x$  in yakınsaklık aralığında  $x$  in bütün değerlerinin bir fonksiyonu olan bir kuvvet serisi cinsinden

$$f(x) = a_0 + a_1 x + a_2 x^2 + a_3 x^3 + \dots + a_n x^n + \dots \quad (E.1)$$

birimde yazılabilir. Buna  $f(x)$  in  $x=0$  civarında açılımı denir. Bir fonksiyon bu biçimde bir kuvvet serisi ile temsil edildiğine göre,  $a_0, a_1, a_2, \dots, a_n, \dots$  katsayılarının hesaplanması gerekmektedir.  $f(x)$  fonksiyonunun sürekli ve bütün türevlerinin mevcut olması koşulu ile türevleri alınıp  $x=0$  noktasına ilişkin  $a_i$  ( $i=1 \dots n$ ) katsayıları bulunabilir. Böylece  $x$  in küçük değerleri için fonksiyonunun değeri hesaplanabilir.

Yukarıdakine benzer şekilde,  $a$  bir sabit ve  $b_1, b_2, \dots, b_n$  katsayılar olmak üzere, ele alınan bir  $f(x)$  fonksiyonu

$$f(x) = b_0 + b_1(x-a) + b_2(x-a)^2 + \dots + b_n(x-a)^n + \dots \quad (E.2)$$

birimde de yazılabilir. Bu takdirde bu seride  $f(x)$  in  $x = a$  noktası civarındaki açılımı adı verilir ve  $f(x)$  fonksiyonunun türevleri alınıp  $x = a$  noktasına ilişkin  $b_i$  ( $i=1\dots n$ ) katsayıları bulunabilir.

İster  $x = 0$  civarında olsun, ister  $x = a$  civarında olsun kat sayılar hesaplanıp yerlerine konulması ile elde edilen formüllere Taylor formülü veya serisi denilmektedir.

### (3.5) Kuvvet serisinin yakınsaklık koşulu:

---

$(v_{CEQ} + v_{ce})^N$  ifadesi seride açıldığında,

$$\begin{aligned} (v_{CEQ} + v_{ce})^N &= v_{CEQ}^N + N v_{CEQ}^{N-1} v_{ce} + \frac{N(N-1)}{2!} (v_{CEQ})^{N-2} v_{ce}^2 + \frac{N(N-1)(N-2)}{3!} v_{CEQ}^{N-3} v_{ce}^3 \\ &\quad + \frac{N(N-1)(N-2)(N-3)}{4!} v_{CEQ}^{N-4} v_{ce}^4 + \frac{N(N-1)(N-2)(N-3)(N-4)}{5!} v_{CEQ}^{N-5} v_{ce}^5 + \dots \\ &\quad + \dots + \frac{N(N-1)(N-2)(N-3)(N-4)\dots [N-(n-1)]}{n!} v_{CEQ}^{N-n} v_{ce}^n + \dots \end{aligned}$$

şeklinde terimler bulunur. Diğer taraftan

$$x = \frac{v_{ce}}{v_{CEQ}}$$

denirse

$$(v_{CEQ} + v_{ce})^N = v_{CEQ}^{(1+x)^N}$$

birimde yazılabilir. Eşitliğin sağ tarafındaki ikinci çarpan binom serisinden başka birsey değildir. Bu önemli seri,  $N$  pozitif bir sayı ve binom katsayısı

$$\binom{N}{n} = \frac{N(N-1)\dots(N-n+1)}{n!}$$

olmak üzere,

$$(1+x)^N = 1+Nx + \frac{N(N-1)}{2!} x^2 + \frac{N(N-1)(N-2)}{3!} x^3 + \dots + \binom{N}{n} x^n + \dots \quad (E.3)$$

den ibarettir.

Eğer N pozitif bir tamsayı ise (E.3) serisi, terimlerinin sayısı  $n = N+1$  olan sonlu bir seridir, çünkü  $x^N$  yi ihtiva eden terimden sonra gelen bütün terimler paylarında  $(N-n)$  çarpanını içerecekleri için sıfır olurlar. Diğer taraftan (E.3) serisi,  $(1+x)$ in Nnci kuvvete açılımıyla elde edilir.

Eğer N tamsayı olmayan pozitif bir sayı ise seri sonsuz terimli bir seridir. O halde (E.3) serisinin yakınsaklığını araştırmak amacıyla ninci ve  $(n+1)$ inci terimlerinin mutlak değerleri yazılırsa,

$$u_n = \left| \frac{N(N-1)(N-2)\dots(N-n+2)}{1.2.3\dots(n-1)} x^{n-1} \right|$$

$$u_{n+1} = \left| \frac{N(N-1)(N-2)\dots(N-n+2)(N-n+1)}{1.2.3\dots(n-1)n} x^n \right|$$

elde edilir. Önce ninci terimin  $n \rightarrow \infty$  gittiginde limitini bulalım.  $N < 1$  olduğundan ve  $|N-n| < |n|$  olduğu gözönüne alınıp  $B_n$  terimi teşkil edilirse,  $|x| < 1$  olmak koşulu ile

$$\lim_{n \rightarrow \infty} B_n = \left| \frac{N(n-2)!}{(n-2)!(n-1)} x^{n-1} \right| = \lim_{n \rightarrow \infty} \left| N \frac{x^{n-1}}{(n-1)} \right| = 0$$

bulunur.  $u_n < B_n$  olduğundan

$$\lim_{n \rightarrow \infty} u_n = 0$$

bulunur.  $n \rightarrow \infty$  gittiğinde  $n$ inci terim sıfıra gidiyorsa, serinin yakınsak olduğu söylenebilir. Yakınsaklık aralığını bulmak için Cauchy oran testi uygulanırsa,

$$\frac{u_{n+1}}{u_n} = \left| \frac{N-n+1}{n} x \right| = \left| \frac{N+1}{n} - 1 \right| |x|$$

bulunur.

$$\lim_{n \rightarrow \infty} \left| \frac{N+1}{n} - 1 \right| = 1$$

olduğundan

$$= \lim_{n \rightarrow \infty} \frac{|u_{n+1}|}{|u_n|} = |x|$$

elde edilir.  $x$  mutlak değerce 1 den küçük ise serinin yakınsak, 1 den büyükse iraksak olduğu görülür. 0 halde serinin yakınsak olması için  $v_{ce}$  gerilimi

$$|v_{ce}| < |v_{CEQ}|$$

koşulunu sağlayacak biçimde seçilmelidir. Deneyde kullanılan kuvvetlen diricide  $v_{CEQ} = 12,5$  V ve  $v_{ce} = 2$  V değerlerinde alınarak bu koşul ye rine getirilmiştir.

### (3.22) serisinin yakınsaklık koşulu:

$$v_{be} = v_T \ln \left( 1 + \frac{i_b}{I_{BQ}} \right)$$

olduğuna göre ve

$$x = \frac{i_b}{I_{BQ}}$$

ile gösterilecek olursa,

$$\ln(1+x) = x - \frac{x^2}{2!} + \frac{x^3}{3!} - \frac{x^4}{4!} + \dots + \frac{(-1)^{n-1} x^n}{n!} + \frac{(-1)^n x^{n+1}}{(n+1)!} + \dots$$

elde edilir. Genel terim yazılıp  $n \rightarrow \infty$  gittiğinde değeri hesaplanırsa

$$u_n = \lim_{n \rightarrow \infty} \frac{x^n}{n!} = 0$$

elde edilir. Buna göre serinin yakınsak olduğu söylenebilir. Yakınsaklık koşulu bulmak için Cauchy oran testi uygulanırsa,

$$\frac{u_{n+1}}{u_n} = \left| \frac{n}{n+1} x \right|$$

elde edilir.

$$\lim_{n \rightarrow \infty} \left| \frac{n}{n+1} x \right| = |x|$$

olduğundan

$$\rho = \lim_{n \rightarrow \infty} \left| \frac{u_{n+1}}{u_n} \right| = |x|$$

bulunur. O halde bu serinin yakınsak olması için  $i_b$  akımı

$$|i_b| < |I_{BQ}|$$

koşulunu sağlayacak biçimde seçilmiş olmalıdır.

### (3.12) serisinin yakınsaklık koşulu:

#### (3.11) bağıntısı

$$f(i_C) = \frac{i_C}{\beta_{Fo}} - \frac{1}{1+M(V_{CC}-i_C R_C)^N} \quad (E.4)$$

birimindedir. Bu bağıntı Q noktası civarında Taylor serisine açıldı-

ğında elde edilen katsayılar uzun olduklarından, yakınsaklık koşulu-  
nun bulunmasında daha kısa bir yol izlenecektir:

Bu bağıntıda, birinci çarpan bir terimlik seri olarak düşünü-  
lürse, yakınsaklığa etkisi olmayacağı hemen söylenebilir. O halde  
ikinci çarpan seride açılarak yakınsaklık şartı bulunacaktır. İkinci  
çarpan doğrudan Taylor serisine açılabilir, ancak katsayılar uzun çı-  
tıklarından payındaki  $i_C$  değişkenine bağlı terimin Taylor serisine  
açılıp yakınsak olduğu gösterilirse, bu serinin 1 ile toplamının da  
yakınsak olacağı açıktır. Diğer deyişle incelenen fonksiyon,

$$f(x) = \frac{1}{1+F(x)}$$

birimindedir.  $F(x)$  fonksiyonu için bulunan yakınsaklık şartı,  $f(x)$   
için de aynıdır. Çünkü  $F(x)$ ,  $x$  değişkenine göre sürekli bir fonksiyon  
olduğuna göre,  $f(x)$  de  $x$  e göre süreklidir. O halde  $F(x)$  in yakınsak-  
lık koşulunu bulmak amacıyla Taylor serisinden yararlanılacaktır.  
Taylor serisinin bir başka şekli,

$$(x+h)^n = x^n + nx^{n-1}h + \frac{n(n-1)}{2!} x^{n-2}h^2 + \frac{n(n-1)(n-2)}{3!} x^{n-3}h^3 + \dots$$

olduğundan  $F(x)$  in  $i_C$  değişkenine bağlı terimi için,

$$\begin{aligned} (v_{CC} - i_C R_C)^N &= v_{CC}^N - N v_{CC}^{N-1} i_C R_C + \frac{N(N-1)}{2!} v_{CC}^{N-2} R_C^2 i_C^2 - \frac{N(N-1)(N-2)}{3!} v_{CC}^{N-3} R_C^3 i_C^3 \\ &+ \dots - \frac{N(N-1)(N-2)\dots(N-n+2)}{(n-1)!} v_{CC}^{N-n+1} R_C^{n-1} i_C^{n-1} + \frac{N(N-1)(N-2)\dots(N-n+1)}{n!} v_{CC}^{N-n} R_C^n i_C^n \\ &+ \frac{N(N-1)(N-2)\dots(N-n)}{(n+1)!} v_{CC}^{N-n+1} R_C^{n+1} i_C^{n+1} + \dots \end{aligned}$$

elde edilir.  $N$  pozitif ve 1 den küçük bir sayı olduğundan seri sonsuz  
terimlidir.  $N$  in pozitif bir tam sayı olması durumunda seri sonlu terim-  
li olur, çünkü  $N = n$  de paydaki çarpan sıfıra eşit olacağının terim  
sayısı  $N+1$  kadar olur.

Yakınsaklık araştırılacak olursa, önce  $n$ inci terimi yazıp  $n \rightarrow \infty$  için alacağı değerin bulunması gerekdir.

$$\frac{N(N-1)(N-2)\dots(N-n+1)}{n!} v_{CC}^{N-n} R_C i_C^n = \frac{N(N-1)(N-2)\dots(N-n+1)}{n!} v_{CC}^N \left( \frac{R_C i_C}{v_{CC}} \right)^n$$

$$\lim_{n \rightarrow \infty} \rho = \left| \frac{N(N-1)(N-2)\dots(N-n+1)}{n!} v_{CC}^N \left( \frac{R_C i_C}{v_{CC}} \right)^n \right|$$

dır. Diğer taraftan

$$0 < N < 1, v_{CC} > 0, v_{CC}^N > 0, R_C i_C > 0$$

ve daima

$$0 < \frac{R_C i_C}{v_{CC}} < 1$$

olduğundan

$$\lim_{n \rightarrow \infty} \left( \frac{R_C i_C}{v_{CC}} \right)^n = 0$$

olur. Bunu ispatlıyabilmek amacıyla,

$$\frac{R_C i_C}{v_{CC}} = 1$$

kabulu ile  $n$ inci terimin değeri büyütülecek olursa,

$$\left| \frac{N(N-1)(N-2)\dots(N-n+1)}{n!} v_{CC}^N \left( \frac{R_C i_C}{v_{CC}} \right)^n \right| < \left| \frac{N(N-1)(N-2)\dots(N-n+1)}{n!} v_{CC}^N \right|$$

$$C = |N(N-1)(N-2)\dots(N-n+1)|$$

$$A = v_{CC}^N$$

olmak üzere eşitsizliğin sağ tarafı

$$= \frac{CA}{n!}$$

olur.  $|N-n| < |n|$  olduğu gözönüne alınırsa,

$$B = \frac{N}{n}$$

olur ve  $n \rightarrow \infty$  gittiğinde

$$\lim_{n \rightarrow \infty} B = \frac{N}{n} = 0$$

bulunur. O halde serinin yakınsak olduğu söylenebilir. Cauchy oran testi uygulanırsa,

$$u_n = \left| \frac{N(N-1)(N-2)\dots(N-n+2)}{1 \cdot 2 \cdot 3 \dots (n-1)} v_{CC}^{N-n+1} R_C^{n-1} i_C^{n-1} \right|$$

$$u_{n+1} = \left| \frac{N(N-1)(N-2)\dots(N-n+2)(N-n+1)}{1 \cdot 2 \cdot 3 \dots (n-1)n} v_{CC}^{N-n} R_C^n i_C^n \right|$$

$$\frac{u_{n+1}}{u_n} = \left| \frac{\frac{N+1}{n} - 1}{\frac{R_C i_C}{V_{CC}}} \right|$$

elde edilir.

$$\lim_{n \rightarrow \infty} \left| \frac{\frac{N+1}{n} - 1}{\frac{R_C i_C}{V_{CC}}} \right| = 1$$

olduğundan

$$\rho = \lim_{n \rightarrow \infty} \frac{u_{n+1}}{u_n} = \left| \frac{\frac{R_C i_C}{V_{CC}}}{1} \right|$$

bulunur. Bu durumda,

$$\left| \frac{\frac{R_C i_C}{V_{CC}}}{1} \right| < 1 \quad \text{veya} \quad i_C < \left| \frac{V_{CC}}{R_C} \right|$$

olduğu takdirde seri yakınsak olur.

Gerçekleştirilen devrede  $i_C < \left| \frac{V_{CC}}{R_C} \right|$  koşulunun sağlanmasına dikkat edilmiştir. Devre ancak bu koşul altında çalıştırılmaktadır. Diğer taraftan  $I_{CQ} = V_{CC}/2R_C$  ve  $i_C = I_{CQ} + i_c$  olduğundan

$$i_C = I_{CQ} + i_c = \frac{V_{CC}}{2R_C} + i_c < \frac{V_{CC}}{R_C}$$

elde edilir. Buradan da

$$i_c < \frac{V_{CC}}{2R_C}$$

sonucu çıkarılır. Şu halde değişken işaret, çalışma noktasında küçük olmalıdır. Devrede  $R_C = 5 \cdot 10^3 \Omega$ ,  $V_{CC} = 25$  V değerlerinde olduğundan  $i_c < 0,025$  A bulunmaktadır ki, çalışma noktasında  $i_c$  nin en büyük değeri  $i_c = 0,8$  mA tutularak bu koşul sağlanmıştır.

0 halde ikinci çarpanın paydasının tamamı alınırsa,

$$1 + M(V_{CC} - i_C R_C)^N$$

dır. Burada M sıfırdan çok çok küçük olduğundan ve parantez içindeki ifadenin seriye açılımı da yukarıda bulunan koşul altında yakınsak olduğundan, bu serinin M ile çarpılıp 1 ile toplanması ile elde edilen seri de yakınsaktır. Paydanın 1 e bölünmesi ile elde edilen seri de yakınsak olur. Sonuç olarak  $i_B = f(i_C)$  nin Taylor açılımı yakınsak olur. Ayrı ayrı yakınsak olan iki serinin Cauchy çarpımı da yakınsaktır.

Aynı sonucu bir başka yoldan bulmak mümkündür:

$$i_B(i_C) = \frac{i_C}{\beta_{Fo} [1+M(V_{CC} - i_C R_C)^N]} \quad (E.4)$$

ifadesinin  $i_C = V_{CC}/2R_C$  noktası civarında Taylor serisine açıldığında yakınsaklık şartının ne olduğu araştırılacaktır.

$i_C = z$  denirse (E.4) bağıntısı

$$i_B(z) = \frac{z}{\beta_{Fo} [1+M(V_{CC}-zR_C)^N]} \quad (E.5)$$

birimde yazılabilir. Diğer taraftan a ve a+h, C kapalı alanı içinde bulunan iki nokta olsun. Taylor teoremine göre [29],

$$f(a+h) = f(a) + hf'(a) + \frac{h^2}{2!} f''(a) + \dots + \frac{h^n}{n!} f^{(n)}(a) + \dots$$

veya

$$z = a + h, \quad h = z - a \text{ konarak}$$

$$f(z) = f(a) + f'(a)(z-a) + \frac{f''(a)}{2!}(z-a)^2 + \dots + \frac{f^{(n)}(a)}{n!}(z-a)^n + \dots \quad (\text{E.6})$$

yazılabilir. (E.6) serisinin yakınsaklık şartı  $|z-a| < R$  olarak verilir. Burada  $R$  yakınsaklık yarıçapıdır ve  $a$  çalışma noktasından,  $f(z)$  fonksiyonuna ilişkin en yakın tekil noktasına olan uzaklığını ifade eder.

O halde (E.5) bağıntısının çalışma noktasına en yakın tekil noktasının saptanması lazımdır. Diğer taraftan bir fonksiyonun tekil noktaları aranırken, dallanma noktalarının olup olmadığını da bakılır. (E.5) ifadesinde  $N$  tam sayı olmadığından bir dallanma noktasının olduğu hemen görülebilir. Çünkü

$$f(z) = (z - z_d)^N \quad N \neq \text{tam sayı}$$

ise  $z = z_d$  için bir dallanma noktası söz konusudur. (E.5) ifadesinde

$$z_d = \frac{V_{CC}}{R_C}$$

icin bir dallanma noktası vardır. Diğer taraftan aynı ifadenin kutupları aranacak olursa,

$$(V_{CC} - R_C z)^N = -\frac{1}{M} = \frac{1}{M} e^{j(\pi + 2k\pi)} \quad k = 0, 1, 2, \dots \quad (\text{E.7})$$

$$V_{CC} - R_C z_k = \frac{1}{M^{1/N}} e^{j \frac{(\pi + 2k\pi)}{N}}$$

$$z_k = \frac{V_{CC}}{R_C} - \frac{1}{R_C M^{1/N}} e^{j \frac{(\pi + 2k\pi)}{N}} \quad (\text{E.8})$$

bulunur. Çalışma noktasında  $V_{CC} = 25$  V,  $R_C = 5k\Omega$ ,  $M = 0.03$ ,  $N = 0.464$  olduğu göz önüne alınarak,

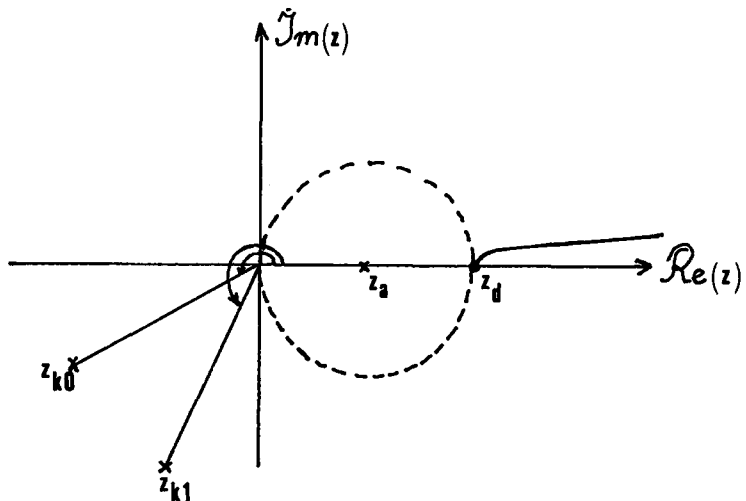
$$k = 0 \text{ için } z_{k0} = 510^3 - 0,382 e^{j28+180} = 0,376 e^{j208}$$

$$k = 1 \text{ için } z_{k1} = 510^3 - 0,382 e^{j84+180} = 0,38 e^{j264}$$

.

.

elde edilir. Kompleks düzlemede  $z_k$  lar,  $z_d$  ve  $z_a$  noktaları işaretlenirse,  $z_d$  noktasının sağ tarafında kalan kısmın yakınsaklık bölgesinin dışında kaldığı görülebilir (Şekil-E.1).



Şekil-E.1: Kutupların, dallanma ve çalışma noktalarının kompleks düzlemedeki yerleri

Bu tarzda her  $k$  değeri için bir kök bulunacaktır. Diğer taraftan payda köklerinin herbiriin a çalışma noktasına olan uzaklığını,  $z_d$  noktasının a çalışma noktasına olan  $R$  uzaklığından daha küçük yapan bir  $k$  değeri bulunmadığı gösterilirse, yakınsaklık koşulunu  $R$  yarıçapı belirleyecektir. Diğer deyişle paydanın kutupları içinde  $z_d$  den daha yakın bir tanesinin olup olmadığı araştırılacaktır.

$$z_k = \frac{V_{CC}}{R_C} - \frac{1}{R_C^{M^{-1/N}}} e^{j(2k+1)\pi/N}$$

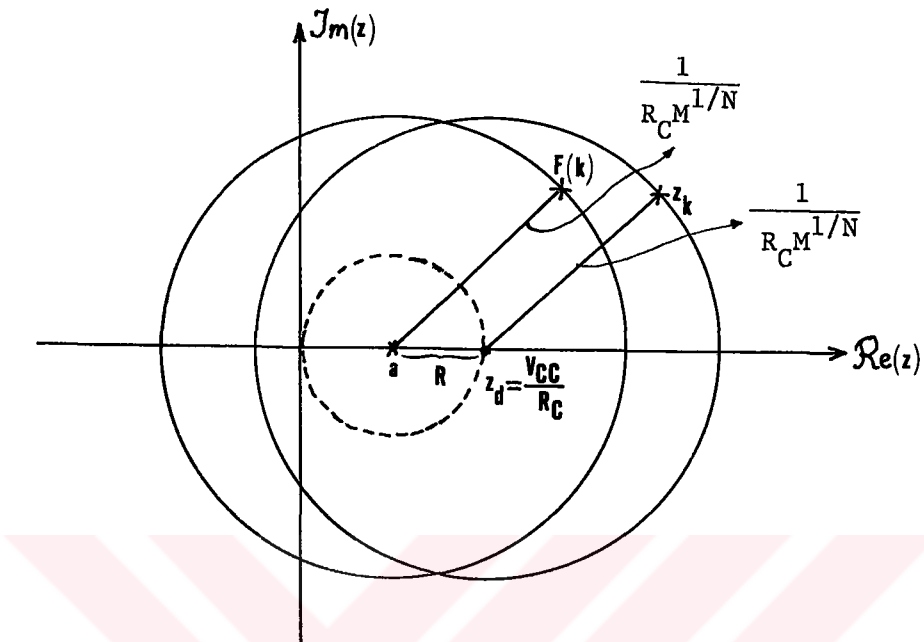
şeklindedir. Çalışma noktasının yeri  $a = \frac{V_{CC}}{2R_C}$  olduğuna göre, kutuplara olan uzaklığı için

$$z_k - a = \frac{V_{CC}}{R_C} - \frac{1}{R_C^{M^{-1/N}}} e^{j(2k+1)\pi/N} - \frac{V_{CC}}{2R_C}$$

yazılır ve her iki tarafın mutlak değeri alınırsa,

$$F(k) = |z_k - a| = \left| \frac{1}{2} \frac{V_{CC}}{2R_C} - \frac{1}{R_C^{M^{-1/N}}} e^{j(2k+1)\pi/N} \right| \quad (E.9)$$

elde edilir. Bu bağıntı merkezi  $\frac{1}{2} \frac{V_{CC}}{R_C}$ , yarıçapı  $\frac{1}{R_C^{M^{1/N}}}$  olan bir daire ifade etmektedir (Şekil-E.2).



Şekil-E.2: (E.9) bağıntısı ile elde edilen köklerin z düzleminde gösterilişi

$F(k)$  nin modülü hesaplanırsa,

$$F(k) = |z_k - a| = \left| \frac{1}{2} \frac{V_{CC}}{R_C} - \frac{1}{R_C^{M^{1/N}}} \cos((2k+1)\frac{\pi}{N}) - j \frac{1}{R_C^{M^{1/N}}} \sin((2k+1)\frac{\pi}{N}) \right|$$

$$F(k) = \sqrt{\left[ \frac{1}{2} \frac{V_{CC}}{R_C} - \frac{1}{R_C^{M^{1/N}}} \cos((2k+1)\frac{\pi}{N}) \right]^2 + \left[ \frac{1}{R_C^{M^{1/N}}} \sin((2k+1)\frac{\pi}{N}) \right]^2}$$

bulunur.  $k$  ya değerler verilirse,  $k = 6$  da  $F(k)$  nin en küçük değeri elde edilir.

$$k = 6 \text{ için } F(k) = 0.3804135$$

dir. Şu halde herbiri birer tekil nokta olan kökler için de  $z_{k6}$  nin  $a$  ya uzaklığı  $z_{k6} = 0.3804135$  ve yine bir tekil nokta olan  $z_d$  nin  $a$  ya uzaklığı  $z_d = 0.005$  olduğuna göre, bu durumda  $a$  ya en yakın tekil nokta  $z_d$  olmaktadır. Taylor teoremi yakınsaklık şartına göre  $R$  yarıçapı,

$$R = |z_d - a| = \left| \frac{V_{CC}}{R_C} - \frac{1}{2} \frac{V_{CC}}{R_C} \right| = \frac{V_{CC}}{2R_C}$$

olarak bulunur.  $V_{CC} = 25$  V,  $R_C = 5K\Omega$  konursa R yarıçapı  $0.0025$  A bulunur. Sonuç olarak söylenilirse  $R < 2,5$  mA olmak şartıyla (E.4) bağıntısının

$$a = \frac{1}{2} \frac{V_{CC}}{R_C}$$

cıvarında Taylor serisine açılımı yakınsak olmaktadır. Bu durum Şekil-(E.1) ve Şekil-(E.2) de kesik çizgili daire ile gösterilmiştir. Devrede  $R = 0.8$  mA tutularak  $R < 2,5$  mA şartı yerine getirilmiştir.

(3.25) serisinin yakınsaklık koşulu:

(3.25) serisinde genel terim

$$u_n = \frac{1}{n!} \left( \frac{v_{be}}{V_T} \right)^n$$

dır.  $n \rightarrow \infty$  gittinde limiti alınırsa,

$$\rho = \lim_{n \rightarrow \infty} \frac{1}{n!} \left( \frac{v_{be}}{V_T} \right)^n$$

yazılır. Burada  $x = v_{be}/V_T$  denirse

$$\rho = \lim_{n \rightarrow \infty} \frac{x^n}{n!} = 0$$

bulunur. Cauchy oran testi uygulanırsa,

$$\lim_{n \rightarrow \infty} \frac{1}{n+1} = 0$$

olmak üzere,

$$\rho = \lim_{n \rightarrow \infty} \left| \frac{1}{n+1} x \right| = 0$$

olduğundan seri  $v_{be}$  nin bütün değerleri için yakınsaktır.

(4.26 A) serisinin yakınsaklık koşulu:

Bu seri de (3.25) bağıntısında olduğu gibi, (4.25) bağıntısının Taylor serisine açılmasıyla elde edilmekte ve yakınsaklık koşulu yine aynı bulunmaktadır: Seri  $v_{be}$  nin bütün değerleri için yakınsaktır.

(5.7 A) serisinin yakınsaklık koşulu:

(5.7) bağıntısı Q noktası civarında Taylor serisine açılırsa yakınsaklık koşulu için (3.12) serisinde izlenen yol uygulanarak benzer tarzda bulunur.

(5.7) bağıntısı

$$i_B = \frac{i_C}{\beta_{Fo} [1+M(V_{CC}-i_C R_C)^N]} + \frac{c_2 I_s^{1/2} i_C}{i_C^{1/2}}$$

şeklindedir. Birinci terimin Taylor serisine açılımından (3.12) serisi elde edilmektedir, bunun yakınsaklık şartı yukarıda verilmiştir.

İkinci terim,  $A = c_2 I_{so}$  olmak üzere,

$$f(i_C) = c_2 i_C^{1/2} I_{so} \left[ 1+M(V_{CC}-i_C R_C)^N \right]^{1/2}$$

$$= A i_C^{1/2} \left[ 1+M(V_{CC}-i_C R_C)^N \right]^{1/2}$$

birimde yazılabilir. Burada birinci çarpan tek elemandan oluşmuş bir seri olarak düşünülürse, yakınsaklığa etkisi olmayacağından, ikinci çarpanın yakınsaklılığı için yukarıdaki yol izlenerek,

$$i_C < \frac{V_{CC}}{R_C} , \quad I_{CQ} + i_C < \frac{V_{CC}}{R} , \quad i_C < \frac{V_{CC}}{2R_C}$$

bulunur. Veya  $i_C = z$  denirse ikinci çarpan,

$$B = \left[ 1 + M(V_{CC} - zR_C)^N \right]^{1/2}$$

olarak elde edilir. Burada dallanma noktaları mevcuttur, bunlar

$$z_d = \frac{V_{CC}}{R_C}$$

$$z_{dk} = \frac{V_{CC}}{R_C} - \frac{1}{M^N} e^{j(1+2k)\frac{\pi}{N}}$$

dır. Taylor teoremine göre en yakın tekil nokta  $z_d = \frac{V_{CC}}{R_C}$  olduğundan  $R = |z_d - a|$  yarıçaplı daire yakınsaklık şartını vermektedir.

#### (4.4) Bağıntısının elde edilmesi:

(4.3) bağıntısından (4.4) bağıntısının elde edilebilmesi için bazı ihmallerin yapılması gerekmektedir. Bu amaçla (4.3) bağıntısının pay ve paydasındaki terimlerin her birinin bir sonrakine göre çok küçük kalması için sağlanması gereken koşullar çıkarılmıştır.

(3.28) kuvvet serisi,

$$i_b = a_1 v_g + a_2 v_g^2 + a_3 v_g^3 + \dots + a_n v_g^n + \dots$$

biçimindedir ve katsayılar  $n = 1, 2, 3, \dots$  olmak üzere

$$a_n = \frac{1}{n!} \frac{I_{BQ}}{V_T^n}$$

şeklinde çalışma noktası cinsinden bulunmaktadır. (3.28) serisinde  $v_g = V_{gm} \cos \omega t$  biçiminde değişen sinüzoidal bir işaret uygulandığında

$$A_o = \frac{1}{2} a_2 V_{gm}^2 + \frac{3}{8} a_4 V_{gm}^4 + \frac{5}{16} a_6 V_{gm}^6 + \dots$$

$$A_1 = (a_1 V_{gm} + \frac{3}{4} a_3 V_{gm}^3 + \frac{5}{8} a_5 V_{gm}^5 + \frac{25}{32} a_7 V_{gm}^7 + \dots) \cos \omega t$$

$$A_2 = (\frac{a_2}{2} V_{gm}^2 + \frac{1}{2} a_4 V_{gm}^4 + \frac{15}{32} a_6 V_{gm}^6 + \dots) \cos 2\omega t$$

$$A_3 = (\frac{1}{4} a_3 V_{gm}^3 + \frac{5}{16} a_5 V_{gm}^5 + \frac{9}{16} a_7 V_{gm}^7 + \dots) \cos 3\omega t$$

$$A_4 = (\frac{1}{8} a_4 V_{gm}^4 + \frac{3}{16} a_6 V_{gm}^6 + \dots) \cos 4\omega t$$

$$A_5 = (\frac{1}{16} a_5 V_{gm}^5 + \frac{7}{64} a_7 V_{gm}^7 + \dots) \cos 5\omega t$$

.

.

.

olmak üzere

$$i_b = A_o + A_1 \cos \omega t + A_2 \cos 2\omega t + A_3 \cos 3\omega t + A_4 \cos 4\omega t + A_5 \cos 5\omega t + \dots$$

elde edilir. Tanım gereğince ikinci harmonik distorsiyonu,

$$d_2 \triangleq \frac{A_2}{\sqrt{A_1^2 + A_2^2 + A_3^2 + \dots}}$$

dır. Paydada bulunan harmonik katsayılarının birbirlerine göre ihmal edilebilmesi için sağlanması gereken koşulun bulunması gerekmektedir. Harmonik katsayıları ele alınıp işlemler yapılırsa,

$$A_1 = \frac{I_{BQ}}{V_T} V_{gm} \left[ 1 + \frac{3}{4} \frac{1}{2!} \left( \frac{V_{gm}}{V_T} \right)^2 + \frac{5}{8} \frac{1}{5!} \left( \frac{V_{gm}}{V_T} \right)^4 + \frac{25}{32} \frac{1}{7!} \left( \frac{V_{gm}}{V_T} \right)^6 + \dots \right]$$

büyük. Köşeli parantez içindeki terimlerin herbirinin bir sonrakine göre büyük sayılabilmesi için,

$$\frac{V_{gm}}{V_T} < 1$$

koşulunun olması gerekeceği kolayca görülebilir. Diğer harmonik kat-

sayıları sırasıyla,

$$A_2 = \frac{1}{4} I_{BQ} \left( \frac{V}{V_T} \right)^2 \left[ 1 + \frac{1}{12} \left( \frac{V}{V_T} \right)^2 + \frac{15}{480} \left( \frac{V}{V_T} \right)^4 + \dots \right]$$

$$A_3 = \frac{1}{24} I_{BQ} \left( \frac{V}{V_T} \right)^3 \left[ 1 + \frac{5}{80} \left( \frac{V}{V_T} \right)^2 + \dots \right]$$

$$A_4 = \frac{1}{192} I_{BQ} \left( \frac{V}{V_T} \right)^4 \left[ 1 + \frac{1}{60} \left( \frac{V}{V_T} \right)^2 + \dots \right]$$

$$A_5 = \frac{1}{1920} I_{BQ} \left( \frac{V}{V_T} \right)^5 \left[ 1 + \frac{7}{168} \left( \frac{V}{V_T} \right)^2 + \dots \right]$$

.

.

Katsayılar birbirleriyle terim terime karşılaştırıldıklarında, bir kat-sayıının bir öncekine göre küçük olduğu, diğer deyişle

$$A_1 > A_2 > A_3 > A_4 > A_5 \dots$$

olduğu, ayrı ayrı kareleri alınıp karşılaştırıldıklarında ise

$$A_1^2 >> A_2^2 >> A_3^2 >> A_4^2 >> A_5^2$$

olduğu kolayca görülür. Karelerinin toplamı teşkil edilirse,

$$\sum_{i=1}^n A_i^2 = A_1^2 + A_2^2 + A_3^2 + A_4^2 + A_5^2 + \dots$$

$$= I_{BQ}^2 \left( \frac{V}{V_T} \right)^2 \left[ 1 + \frac{1}{4^2} \left( \frac{V}{V_T} \right)^2 + \frac{1}{24^2} \left( \frac{V}{V_T} \right)^4 + \frac{1}{192^2} \left( \frac{V}{V_T} \right)^6 + \frac{1}{1920^2} \left( \frac{V}{V_T} \right)^8 + \dots \right]$$

$\frac{V}{V_T} \frac{gm}{V_T} < 1$  koşulu altında köşeli parantez içindeki  $\left( \frac{V}{V_T} \right)$  li terimlerin toplamı 1 in yanında ihmal edilebilir mertebede olduğu görü-lür. O halde sonuç olarak

$$\sum_{i=1}^n \sqrt{A_i^2} \approx A_1$$

olduğundan ikinci harmonik distorsiyonu için

$$d_2 \hat{=} \frac{A_2}{A_1}$$

yazılır.  $A_1$  ve  $A_2$  nin eşitlikleri yerine konur ve paranteze alınırsa

$$d_2 \hat{=} \frac{1}{2} \frac{(a_2 + a_4 v_{gm}^2 + \frac{15}{16} a_6 v_{gm}^4 + \dots)}{(a_1 + a_3 v_{gm}^3 + \frac{5}{8} a_5 v_{gm}^5 + \frac{25}{32} a_7 v_{gm}^7 + \dots)} v_{gm} \quad (E.10)$$

elde edilir. Burada  $a_n$  ( $n=1, 2, 3, \dots$ ) katsayıları çalışma noktasına bağlı olarak

$$a_n = \frac{1}{n!} \frac{I_{BQ}}{V_T^n}$$

birimde hesaplanır. (E.10) ifadesinin pay ve paydasındaki terimlerin herbirinin bir öncekine göre ihmäl edilebilecek kadar küçük olması için  $v_{gm}$  nin alması gereken değer bulunabilir, öyle ki bu bulunan değer aynı zamanda yukarıda elde edilen  $v_{gm}/v_T < 1$  koşulunu da sağlamalıdır. O halde pay ve paydadaki terimlerle,

$$|a_2| \gg |a_4 v_{gm}^2| \gg |\frac{15}{16} a_6 v_{gm}^4| \dots$$

$$|a_1| \gg |\frac{3}{4} a_3 v_{gm}^2| \gg |\frac{5}{8} a_5 v_{gm}^4| \gg |\frac{25}{32} a_7 v_{gm}^7| \dots$$

eşitsizlikleri yazılıp herbir eşitsizliğe ilişkin  $v_{gm}$  değerleri hesaplanırsa,

$$|a_1| \gg |\frac{3}{4} a_3 v_{gm}^2| \quad \text{den} \quad v_{gm} \ll \sqrt{8} v_T \quad v_{gm} \ll 75.54 \text{ mV} \quad v_{gm} = 7,5 \text{ mV} \quad (a)$$

$$|a_2| \gg |a_4 v_{gm}^2| \quad \text{den} \quad v_{gm} \ll \sqrt{12} v_T \quad v_{gm} \ll 90.06 \text{ mV} \quad v_{gm} = 9 \text{ mV} \quad (b)$$

$$|\frac{3}{4} a_3 v_{gm}^3| \gg |\frac{5}{8} a_5 v_{gm}^5| \quad v_{gm} \ll \sqrt{24} V_T \quad v_{gm} \ll 127,37 \text{ mV} \quad v_{gm} = 13 \text{ mV} \quad (\text{c})$$

$$|a_4 v_{gm}^2| \gg |\frac{15}{16} a_6 v_{gm}^4| \quad v_{gm} \ll \sqrt{32} V_T \quad v_{gm} \ll 147 \text{ mV} \quad v_{gm} = 14 \text{ mV} \quad (\text{d})$$

$$|\frac{5}{8} a_5 v_{gm}^4| \gg |\frac{25}{32} a_7 v_{gm}^6| \quad v_{gm} \ll \sqrt{33.6} V_T \quad v_{gm} \ll 150 \text{ mV} \quad v_{gm} = 15 \text{ mV} \quad (\text{e})$$

.

.

.

elde edilir. Bu değerler incelenirse eşitsizlik takımının ortak çözümü (a) eşitsizliğine ilişkin  $v_{gm} = 7,5 \text{ mV}$  olduğu görülür. Çünkü bu değer diğer eşitsizliklerin sağlaması gereken en küçük değerlerin hepsinden daha küçüktür ve (a) eşitsizliğine ilişkin koşul olan  $v_{gm} \ll \sqrt{8} V_T$  yanında 10 misli küçük olmasına karşılık diğer eşitsizlikler için ise çok daha küçük olacağından dolayısıyle (E.10) ifadesinde her bir terim bir öncesine göre rahatlıkla ihmal edilerek

$$d_2 \approx \frac{1}{2} \frac{a_2}{a_1}$$

bulunur.  $v_{gm}$  ye verilen bu değer  $v_{gm}/V_T < 1$  koşulunu da sağlamaktadır. Tezde kullanılan devrede ise  $v_{gm} = 6,1 \text{ mV}$  da sabit tutulmak suretiyle yukarıdaki koşullar sağlanmıştır.

Öte yandan (3.13) kuvvet serisinde  $i_c = I_m \cos \omega t$  konduğunde benzer şekilde hareket edilerek çıkışta oluşan harmonikler arasında yazılan

$$|k_2| \gg |k_4 I_m^2|$$

$$|k_1| \gg |\frac{3}{4} k_3 I_m^2| \gg |\frac{5}{8} k_5 I_m^4|$$

eşitsizliklerinden

$$I_m \ll \sqrt{\frac{4}{3} \frac{k_1}{k_3}} \quad (\text{f})$$

$$I_m \ll \sqrt{\frac{k_2}{k_4}} \quad (\text{g})$$

$$I_m \ll \sqrt{\frac{6}{5} \frac{k_3}{k_5}} \quad (h)$$

⋮

elde edilir. (f) eşitsizliğinde  $k_1$  ve  $k_3$  katsayılarının değerleri yine konup gerekli hesaplamalar yapılrsa  $I_m \ll 27 \text{ mA}$  bulunur. Benzer düşüncenle  $I_m = 2,7 \text{ mA}$  değerinin eşitsizlik takımının ortak çözümü olduğu görülür. Deneyde ise  $I_m = 0,8 \text{ mA}$  de sabit tutulmuştur.

Düger taraftan (4.3) bağıntısı

$$d_2 \approx \frac{1}{2} \frac{(c_2 + c_4 V_{gm}^2 + \dots)}{(c_1 + \frac{3}{4} c_3 V_{gm}^2 + \dots)} V_{gm}$$

birimindedir. Yukarıda çıkarılan koşullar, aynı devre kullanıldığından bu bağıntı için de geçerlidir. Diğer deyişle  $V_{gm} (\ll \sqrt{8} V_T) = 7.5 \text{ mV}$  ve  $V_{gm}/V_T < 1$  koşulları altında,

$$|c_2| \gg |c_4 V_{gm}^2| \gg |c_6 V_{gm}^4| \dots$$

ve

$$|c_1| \gg |\frac{3}{4} c_3 V_{gm}^2| \gg |\frac{5}{8} c_5 V_{gm}^4| \dots$$

eşitsizlik takımları sağlandığından gerekli ihmaller yapılır ve böyledice (4.4) bağıntısı olan

$$d_2 \approx \frac{1}{2} \frac{c_2}{c_1} V_{gm}$$

elde edilir. O halde tezde kullanılmış olan bu formülün doğru sonuç vermesi için yine  $V_{gm} < V_T$  koşulu sağlanmalıdır.

## ÖZGEÇMİŞ

Sadri ÖZCAN 1949 yılında İstanbul'da doğdu. İlk ve Orta Öğrenimlerini İstanbul Rami Ortaokulunda, Lise öğrenimini İstanbul Pertevniyal Lisesinde yaptı.

1968 yılında girdiği İstanbul Teknik Üniversitesi Mühendislik-Mimarlık Fakültesi Elektrik bölümünü, 1971 yılında "İyi" derece ile bitirdiğinden aynı yıl aynı Üniversitenin Elektrik Fakültesinin Zayıf Akım bölümüne girmeğe hak kazandı. 1973 yılında İ.T.Ü.Elektrik Fakültesi Yüksek Frekans Tekniği Kürsüsü Yardımcı Asistanlığına atandı. 1974 yılında Zayıf Akım kolundan mezun oldu ve aynı yıl Mühendislik-Mimarlık Fakültesine Asistan olarak atandı. 1976 yılında askerlik hizmetini kısa dönem olarak Ankara'da Muhabere Okulunda yerine getirmek amacıyla izin aldı. 1980 yılında her iki fakültenin birleşmesi sonucu Elektrik Fakültesine Araştırma Görevlisi olarak atandı. Halen aynı yerde görevine devam etmektedir.

"Tranzistorlu Kuvvetlendiricilerde Distorsiyonun Azaltılması" ve "Mikroişlemciler" çalışma konuları arasındadır.